

MARCO ANTONIO SOARES DE PAIVA

***ESTUDO TEÓRICO E EXPERIMENTAL DO ESCOAMENTO
DE FLUIDOS REFRIGERANTES ATRAVÉS DE TUBOS CAPILARES
ADIABÁTICOS E NÃO ADIABÁTICOS***

LACRADO

Tese apresentada à Escola Politécnica da
Universidade de São Paulo para obtenção do
título de Doutor em Engenharia

São Paulo

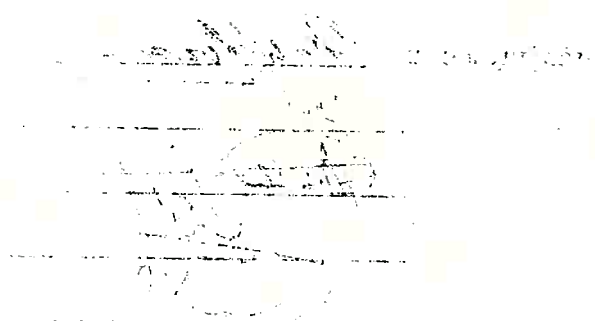
1997

VOLUME.2

APÊNDICE E

FIGURAS E TABELAS DO CAPÍTULO 5

1. **THE STATE**
2. **THE GOVERNMENT**
3. **THE CHIEF EXECUTIVE**
4. **THE LEGISLATURE**
5. **THE JUDICIAL SYSTEM**
6. **THE POLICE**
7. **THE ARMY**
8. **THE NAVY**
9. **THE AIR FORCE**
10. **THE BUREAUS**
11. **THE INDEPENDENT
AGENCIES**
12. **THE COMMISSIONS**
13. **THE EX-AGENCIES**
14. **THE EX-COMMISSIONS**
15. **THE INVESTIGATIVE
AGENCIES**
16. **THE POLITICAL PARTIES**
17. **THE CIVIL SERVICE**
18. **THE MILITARY**
19. **THE POLICE**
20. **THE POLITICAL PARTIES**



• 2013 年第 1 期 • 中国青年研究

1. *What are the main features of the new system?*

10. The following table shows the number of hours worked by each employee.

LISTA DE TABELAS - VOLUME 2

Tabela 5.1. Resumo dos resultados obtidos nos ensaios com tubo capilar adiabático usando HFC 134a.....	v.2 - 62
Tabela 5.2. Resumo dos resultados experimentais para tubo capilar adiabático com HFC 134a, agrupados por temperatura de condensação e subresfriamento, com destaque para a dispersão dos resultados experimentais.....	v.2 - 63
Tabela 5.3. Resultados experimentais e numéricos para todos os ensaios com tubo capilar não adiabático, CFC 12.....	v.2 - 64
Tabela 5.4. Resultados experimentais e numéricos agrupados por condição operacional de ensaio. Tubo capilar não adiabático, CFC 12.....	v.2 - 66
Tabela 5.5. Resultados experimentais e numéricos para todos os ensaios com tubo capilar não adiabático, HFC 134a.	v.2 - 67
Tabela 5.6. Resultados experimentais e numéricos agrupados por condição operacional de ensaio. Tubo capilar não adiabático, HFC 134a.....	v.2 - 69
Tabela 5.7. Parâmetros adotados para as condições de referência utilizadas nos estudos de sensibilidade.	v.2 - 70
Tabela 5.8. Exemplo de tabela de dados sobre o perfil de curvatura do tubo capilar. v.2 - 70	
Tabela 5.9. Valores calculados de comprimento para tubo reto e com encurvamentos de vários tipos.....	v.2 - 70
Tabela 5.10. Influência de algumas variáveis sobre o desempenho ou o comprimento necessário de tubo capilar.	v.2 - 71
Tabela 5.11. Comparação entre resultados da literatura com resultados obtidos através do programa desenvolvido.....	v.2 - 72
Tabela 5.12. Condições operacionais e parâmetros utilizados nos casos analisados na tabela 5.11.....	v2 - 74

LISTA DE FIGURAS - VOLUME 2

Figura 5.1. Evolução da pressão na entrada do tubo capilar ao longo do ensaio AD127.....	v.2 - 1
Figura 5.2. Evolução da pressão no reservatório de jusante do tubo capilar ao longo do ensaio AD127.....	v.2 - 1
Figura 5.3. Evolução da temperatura do fluido na entrada do tubo capilar ao longo do ensaio AD127.....	v.2 - 2
Figura 5.4. Evolução da vazão mássica através do tubo capilar ao longo do ensaio AD127.....	v.2 - 2
Figura 5.5. Perfil de temperatura ao longo do tubo capilar, caso AD127.....	v.2 - 3
Figura 5.6. Perfil de temperatura ao longo do tubo capilar, caso AD127.....	v.2 - 3
Figura 5.7. Perfil de temperatura ao longo do tubo capilar, caso AD127.....	v.2 - 4
Figura 5.8. Perfil de temperatura ao longo do tubo capilar, caso AD127.....	v.2 - 4
Figura 5.9. Comparação entre resultados experimentais e numéricos, sem considerar o atraso de vaporização nos cálculos numéricos.....	v.2 - 5
Figura 5.10. Comparação entre resultados experimentais e numéricos, considerando o atraso de vaporização nos cálculos numéricos.....	v.2 - 5
Figura 5.11. Histograma dos desvios dos resultados numéricos, considerando todos os desvios em valor absoluto, sem utilizar o atraso de vaporização no cálculo numérico HFC 134a, tubo capilar adiabático.....	v.2 - 6
Figura 5.12. Histograma dos desvios dos resultados numéricos, considerando apenas os casos com erro negativo, sem utilizar o atraso de vaporização no cálculo numérico HFC 134a, tubo capilar adiabático.....	v.2 - 6
Figura 5.13. Histograma dos desvios dos resultados numéricos considerando apenas os casos com desvio positivo, sem utilizar o atraso de vaporização no cálculo numérico HFC 134a, tubo capilar adiabático.....	v.2 - 7
Figura 5.14. Histograma dos desvios dos resultados numéricos considerando apenas os casos com desvio, utilizando o atraso de vaporização no cálculo numérico HFC 134a, tubo capilar adiabático.....	v.2 - 7
Figura 5.15. Histograma e freqüência acumulada da dispersão dos resultados experimentais em cada condição operacional, para CFC 12, tubo capilar não adiabático.....	v.2 - 8
Figura 5.16. Comparação gráfica entre resultados numéricos e experimentais, tubo capilar não adiabático, CFC 12	v.2 - 8

- Figura 5.17.** Histograma e freqüência acumulada do desvio dos resultados numéricos em valor absoluto, considerando a média dos resultados experimentais para cada condição geométrica para o caso de CFC 12, tubo capilar não adiabático. v.2 - 9
- Figura 5.18.** Histograma e freqüência acumulada do desvio absoluto dos resultados numéricos em relação aos experimentais, considerando a totalidade dos resultados experimentais, para CFC 12, tubo capilar não adiabático. v.2 - 9
- Figura 5.19.** Comparação entre resultados experimentais e numéricos para vários subresfriamentos. v.2 - 10
- Figura 5.20.** Comparação entre resultados experimentais e numéricos para vários subresfriamentos. v.2 - 10
- Figura 5.21.** Comparação entre resultados experimentais e numéricos para vários subresfriamentos. v.2 - 11
- Figura 5.22.** Comparação entre resultados experimentais e numéricos para vários subresfriamentos. v.2 - 11
- Figura 5.23.** Desvio dos resultados numéricos em relação aos experimentais em função do subresfriamento. v.2 - 12
- Figura 5.24.** Desvio dos resultados numéricos em relação aos experimentais em função do subresfriamento. v.2 - 12
- Figura 5.25.** Desvio dos resultados numéricos em relação aos experimentais em função do subresfriamento. v.2 - 13
- Figura 5.26.** Desvio dos resultados numéricos em relação aos experimentais em função do subresfriamento. v.2 - 13
- Figura 5.27.** Variação ao longo do ensaio da pressão absoluta na entrada do tubo capilar. Ensaio com tubo capilar não adiabático, CFC 12, ensaio NAD092. v.2 - 14
- Figura 5.28.** Variação ao longo do ensaio da pressão no reservatório de saída do tubo capilar. Ensaio com tubo capilar não adiabático, CFC 12, ensaio NAD092. v.2 - 14
- Figura 5.29.** Variação ao longo do ensaio da temperatura na entrada do tubo capilar. Ensaio com tubo capilar não adiabático, CFC 12, ensaio NAD092. v.2 - 15
- Figura 5.30.** Variação ao longo do ensaio da vazão mássica através do tubo capilar. Ensaio com tubo capilar não adiabático, CFC 12, ensaio NAD092. v.2 - 15
- Figura 5.31.** Gráfico ampliado da evolução da vazão ao longo do ensaio (tubo capilar adiabático, CFC 12, ensaio NAD092). Período de tempo considerado: transitório para obtenção do ponto com 9 °C de subresfriamento. v.2 - 16
- Figura 5.32.** Gráfico ampliado da evolução da vazão ao longo do ensaio (tubo capilar adiabático, CFC 12, ensaio NAD092). Período de tempo considerado: transitório para obtenção do ponto com 6 °C de subresfriamento. v.2 - 17

- Figura 5.33.** Gráfico ampliado da evolução da vazão ao longo do ensaio (tubo capilar adiabático, CFC 12, ensaio NAD092). Período de tempo considerado: transitório para obtenção do ponto com 3 °C de subresfriamento. v.2 - 18
- Figura 5.34.** Perfis de temperatura medidos e calculados para o tubo capilar e a linha de sucção. Tubo capilar não adiabático, CFC 12, subresfriamento de 12 °C, Tcond = 50 °C, ensaio NAD092. v.2 - 19
- Figura 5.35.** Perfis de temperatura medidas e de saturação do tubo capilar para duas condições de operação, uma com pequeno e outra com grande atraso de vaporização. v.2 - 19
- Figura 5.36.** Perfis de temperatura medidos e calculados para o tubo capilar e a linha de sucção. Tubo capilar não adiabático, CFC 12, subresfriamento de 12 °C, Tcond = 50 °C, ensaio NAD079. v.2 - 20
- Figura 5.37.** Perfis experimentais de temperatura obtidos no ensaio NAD092, para DTsub = 12 °C. v.2 - 21
- Figura 5.38.** Perfis experimentais de temperatura obtidos no ensaio NAD092, para DTsub = 9 °C. v.2 - 21
- Figura 5.39.** Perfis experimentais de temperatura obtidos no ensaio NAD092, para DTsub = 6 °C. v.2 - 22
- Figura 5.40.** Perfis experimentais de temperatura obtidos no ensaio NAD092, para DTsub = 3 °C. v.2 - 22
- Figura 5.41.** Perfis experimentais de temperatura obtidos no ensaio NAD079, para DTsub = 12 °C. v.2 - 23
- Figura 5.42.** Perfis experimentais de temperatura obtidos no ensaio NAD079, para DTsub = 9 °C. v.2 - 23
- Figura 5.43.** Perfis experimentais de temperatura obtidos no ensaio NAD079, para DTsub = 6 °C. v.2 - 24
- Figura 5.44.** Perfis experimentais de temperatura obtidos no ensaio NAD079, para DTsub = 3 °C. v.2 - 24
- Figura 5.45.** Histograma e freqüência acumulada da dispersão dos resultados experimentais para cada condição operacional, para HFC 134a, tubo capilar não adiabático. v.2 - 25
- Figura 5.46.** Comparação gráfica entre resultados numéricos e experimentais, tubo capilar não adiabático, HFC 134a. v.2 - 25
- Figura 5.47.** Histograma e freqüência acumulada do desvio dos resultados numéricos, considerando a média dos resultados experimentais para cada condição operacional para o caso de HFC 134a, tubo capilar não adiabático. v.2 - 26

- Figura 5.48.** Histograma e freqüência acumulada do desvio dos resultados numéricos, considerando a totalidade dos resultados experimentais, para HFC 134a, tubo capilar não adiabático..... v.2 - 26
- Figura 5.49.** Diferença percentual de vazão entre resultados experimentais e numéricos em função de ΔT_{sub} para HFC 134a, tubo capilar não adiabático, $T_{cond} = 40\text{ }^{\circ}\text{C}$ v.2 - 27
- Figura 5.50.** Diferença percentual de vazão entre resultados experimentais e numéricos em função de ΔT_{sub} para HFC 134a, tubo capilar não adiabático, $T_{cond} = 45\text{ }^{\circ}\text{C}$ v.2 - 27
- Figura 5.51.** Diferença percentual de vazão entre resultados experimentais e numéricos em função de ΔT_{sub} para HFC 134a, tubo capilar não adiabático, $T_{cond} = 50\text{ }^{\circ}\text{C}$ v.2 - 28
- Figura 5.52.** Diferença percentual de vazão entre resultados experimentais e numéricos em função de ΔT_{sub} para HFC 134a, tubo capilar não adiabático, $T_{cond} = 55\text{ }^{\circ}\text{C}$ v.2 - 28
- Figura 5.53.** Gráfico da evolução da vazão ao longo do ensaio (tubo capilar não adiabático, HFC-134a, ensaio NAD140)..... v.2 - 29
- Figura 5.54.** Gráfico ampliado da evolução da vazão ao longo do ensaio (tubo capilar não adiabático, HFC-134a, ensaio NAD140). Período de tempo considerado: transitório para obtenção do ponto com $9\text{ }^{\circ}\text{C}$ de subresfriamento..... v.2 - 30
- Figura 5.55.** Gráfico ampliado da evolução da vazão ao longo do ensaio (tubo capilar não adiabático, HFC-134a, ensaio NAD140). Período de tempo considerado: transitório para obtenção do ponto com $6\text{ }^{\circ}\text{C}$ de subresfriamento..... v.2 - 31
- Figura 5.56.** Gráfico ampliado da evolução da vazão ao longo do ensaio (tubo capilar não adiabático, HFC-134a, ensaio NAD140). Período de tempo considerado: transitório para obtenção do ponto com $3\text{ }^{\circ}\text{C}$ de subresfriamento..... v.2 - 32
- Figura 5.57.** Gráfico da evolução da vazão ao longo do ensaio (tubo capilar não adiabático, HFC-134a, ensaio NAD155)..... v.2 - 33
- Figura 5.58.** Gráfico ampliado da evolução da vazão ao longo do ensaio (tubo capilar não adiabático, HFC-134a, ensaio NAD155). Período de tempo considerado: transitório para obtenção do ponto com $9\text{ }^{\circ}\text{C}$ de subresfriamento..... v.2 - 34
- Figura 5.59.** Gráfico ampliado da evolução da vazão ao longo do ensaio (tubo capilar não adiabático, HFC-134a, ensaio NAD155). Período de tempo considerado: transitório para obtenção do ponto com $6\text{ }^{\circ}\text{C}$ de subresfriamento..... v.2 - 35
- Figura 5.60.** Gráfico ampliado da evolução da vazão ao longo do ensaio (tubo capilar não adiabático, HFC-134a, ensaio NAD155). Período de tempo considerado: transitório para obtenção do ponto com $3\text{ }^{\circ}\text{C}$ de subresfriamento..... v.2 - 36
- Figura 5.61.** Gráfico da evolução da vazão ao longo do ensaio (tubo capilar não adiabático, HFC-134a, ensaio NAD159)..... v.2 - 37

Figura 5.62. Gráfico ampliado da evolução da vazão ao longo do ensaio (tubo capilar não adiabático, HFC-134a, ensaio NAD159). Período de tempo considerado: transitório para obtenção do ponto com 9 °C de subresfriamento.....	v.2 - 38
Figura 5.63. Gráfico ampliado da evolução da vazão ao longo do ensaio (tubo capilar não adiabático, HFC-134a, ensaio NAD159). Período de tempo considerado: transitório para obtenção do ponto com 6 °C de subresfriamento.....	v.2 - 39
Figura 5.64. Gráfico ampliado da evolução da vazão ao longo do ensaio (tubo capilar não adiabático, HFC-134a, ensaio NAD159). Período de tempo considerado: transitório para obtenção do ponto com 3 °C de subresfriamento.....	v.2 - 40
Figura 5.65. Gráfico da evolução da vazão ao longo do ensaio (tubo capilar não adiabático, HFC 134a, ensaio NAD162).....	v.2 - 41
Figura 5.66. Gráfico ampliado da evolução da vazão ao longo do ensaio (tubo capilar não adiabático, HFC 134a, ensaio NAD162). Período de tempo considerado: transitório para obtenção do ponto com 9 °C de subresfriamento	v.2 - 42
Figura 5.67. Gráfico ampliado da evolução da vazão ao longo do ensaio (tubo capilar não adiabático, HFC 134a, ensaio NAD162). Período de tempo considerado: transitório para obtenção do ponto com 6 °C de subresfriamento	v.2 - 43
Figura 5.68. Gráfico ampliado da evolução da vazão ao longo do ensaio (tubo capilar não adiabático, HFC 134a, ensaio NAD162). Período de tempo considerado: transitório para obtenção do ponto com 3 °C de subresfriamento	v.2 - 44
Figura 5.69. Perfis medidos de temperatura	v.2 - 45
Figura 5.70. Perfis medidos de temperatura	v.2 - 45
Figura 5.71. Perfis medidos de temperatura	v.2 - 46
Figura 5.72. Perfis medidos de temperatura	v.2 - 46
Figura 5.73. Perfis medidos de temperatura	v.2 - 47
Figura 5.74. Perfis medidos de temperatura	v.2 - 47
Figura 5.75. Perfis medidos de temperatura	v.2 - 48
Figura 5.76. Perfis medidos de temperatura	v.2 - 48
Figura 5.77. Perfis medidos de temperatura	v.2 - 49
Figura 5.78. Perfis medidos de temperatura	v.2 - 49
Figura 5.79. Perfis medidos de temperatura	v.2 - 50
Figura 5.80. Perfis medidos de temperatura	v.2 - 50
Figura 5.81. Perfis medidos de temperatura	v.2 - 51

Figura 5.82. Perfis medidos de temperatura dos ensaio NAD176 e NAD168 para $\Delta T_{sub} = 12 \text{ }^{\circ}\text{C}$	v.2 - 51
Figura 5.83. Perfis medidos e calculados de temperatura para o ensaio NAD140. Tubo capilar não adiabático, HFC-134a, $\Delta T_{sub} = 12 \text{ }^{\circ}\text{C}$	v.2 - 52
Figura 5.84. Perfis medidos e calculados de temperatura para o ensaio NAD140. Tubo capilar não adiabático, HFC-134a, $\Delta T_{sub} = 30\text{C}$	v.2 - 52
Figura 5.85. Perfis típicos de temperatura ao longo de tubo capilar adiabático.	v.2 - 53
Figura 5.86. Circuito proposto com trocador de calor linha de líquido - linha de sucção e tubo capilar adiabático independente.....	v.2 - 53
Figura 5.87. Efeito da temperatura de condensação sobre a vazão mássica no tubo capilar, condição não adiabática.	v.2 - 54
Figura 5.88. Aumento da vazão numérica do HFC-134a em relação ao CFC-12 para o tubo capilar da seção principal de testes, condição não adiabática.	v.2 - 54
Figura 5.89. Efeito do subresfriamento sobre a vazão através do tubo capilar, condição não adiabática.	v.2 - 55
Figura 5.90. Influência de D_{sub} sobre a vazão mássica para trocador de calor tubos laterais, trocador de calor de tubos concêntrico e TC adiabático (CFC-12).	v.2 - 55
Figura 5.91. Influência da temperatura de evaporação na vazão mássica, condição não adiabática.	v.2 - 56
Figura 5.92. Efeito da temperatura de entrada na LS sobre a vazão, condição não adiabática.	v.2 - 56
Figura 5.93. Efeito do diâmetro do TC na vazão mássica, condição não adiabática. ..	v.2 - 57
Figura 5.94. Efeito da posição e comprimento do trocador de calor na vazão mássica. v.2 - 57	
Figura 5.95. Influência da rugosidade na vazão mássica, condição não adiabática.....	v.2 - 58
Figura 5.96. Influência do coeficiente de transferência de calor da linha de sucção do trocador de calor de tubos concêntricos sobre a vazão.	v.2 - 58
Figura 5.97. Influência da excentricidade do tubo capilar em relação à linha de sucção sobre o coeficiente de transferência de calor na linha de sucção na superfície interna, com superfície externa isolada, de acordo com os dados de Snyder (Apud Rohsenow e Hartnett, 1973). v.2 - 59	
Figura 5.98. Influência da temperatura ambiente sobre a vazão através do tubo capilar, no caso de tubo sem isolamento, condição não adiabática. Caso com 60 % à temperatura ambiente e 40 % dentro do refrigerador.	v.2 - 59

Figura 5.99. Desenho esquemático de um tubo capilar, com trechos retilíneos e trechos com curvatura..... v.2 - 60

Figura 5.100. Desenho esquemático de um tubo capilar com configuração geométrica típica, utilizado no estudo da influência do encurvamento sobre o comprimento requerido para produzir uma vazão fixada..... v.2 - 60

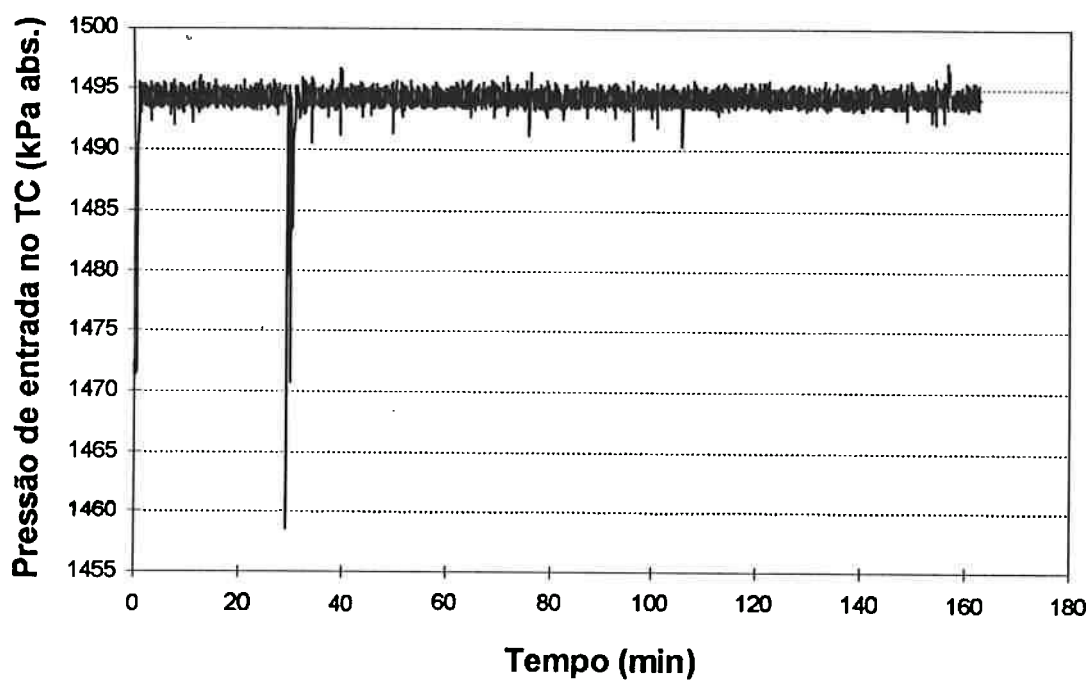


Figura 5.1. Evolução da pressão na entrada do tubo capilar ao longo do ensaio AD127.

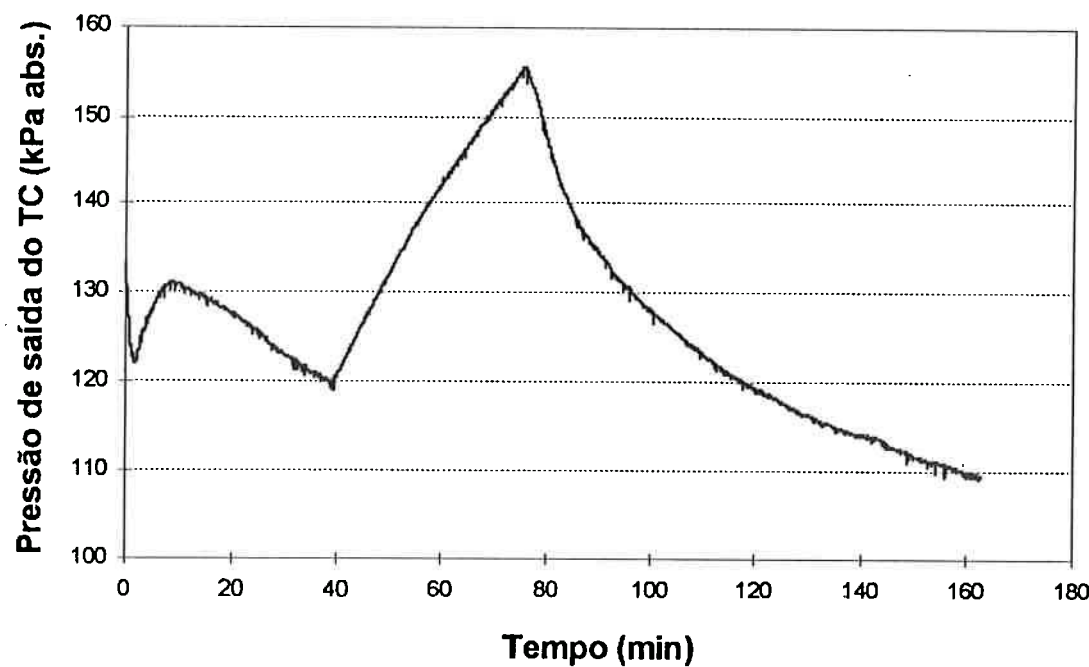


Figura 5.2. Evolução da pressão no reservatório de jusante do tubo capilar ao longo do ensaio AD127.

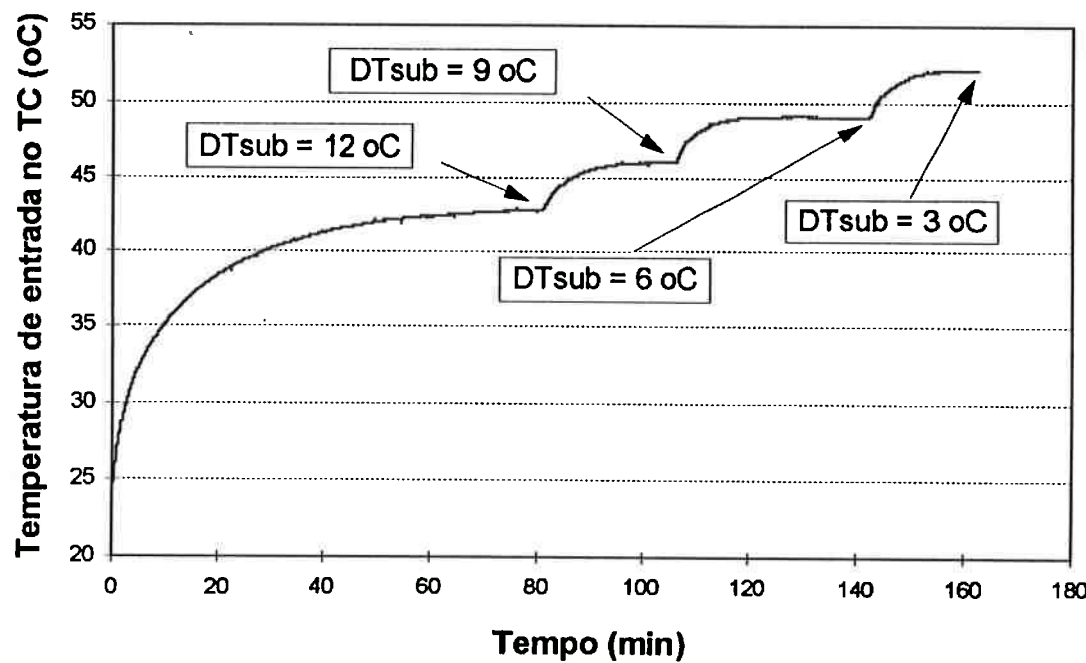


Figura 5.3. Evolução da temperatura do fluido na entrada do tubo capilar ao longo do ensaio AD127.

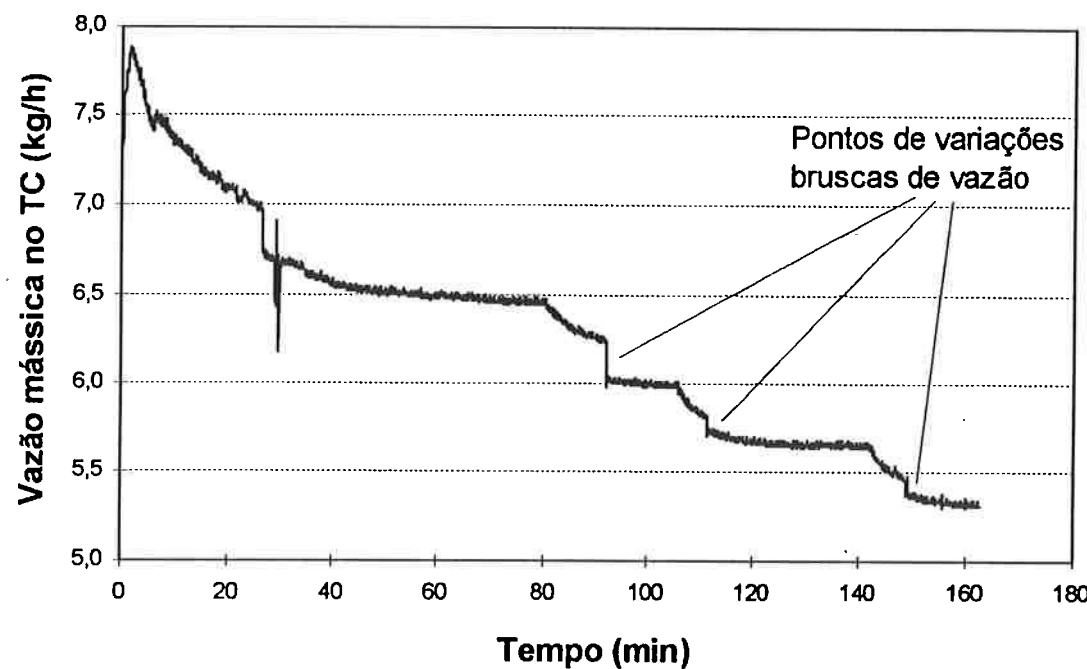


Figura 5.4. Evolução da vazão mássica através do tubo capilar ao longo do ensaio AD127.

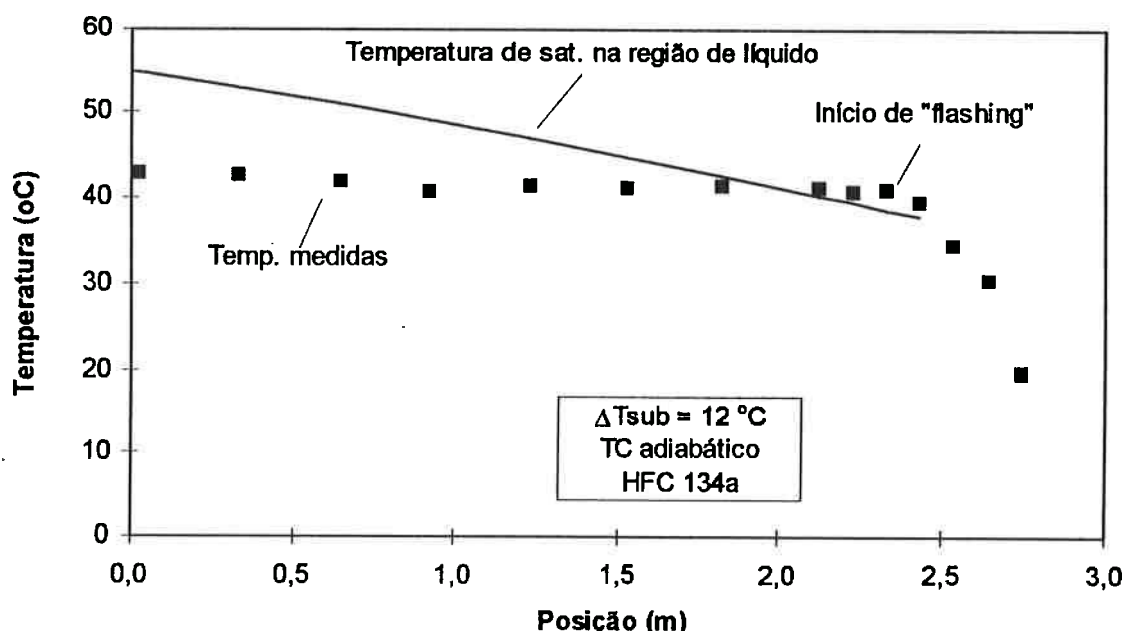


Figura 5.5. Perfil de temperatura ao longo do tubo capilar, caso AD127.

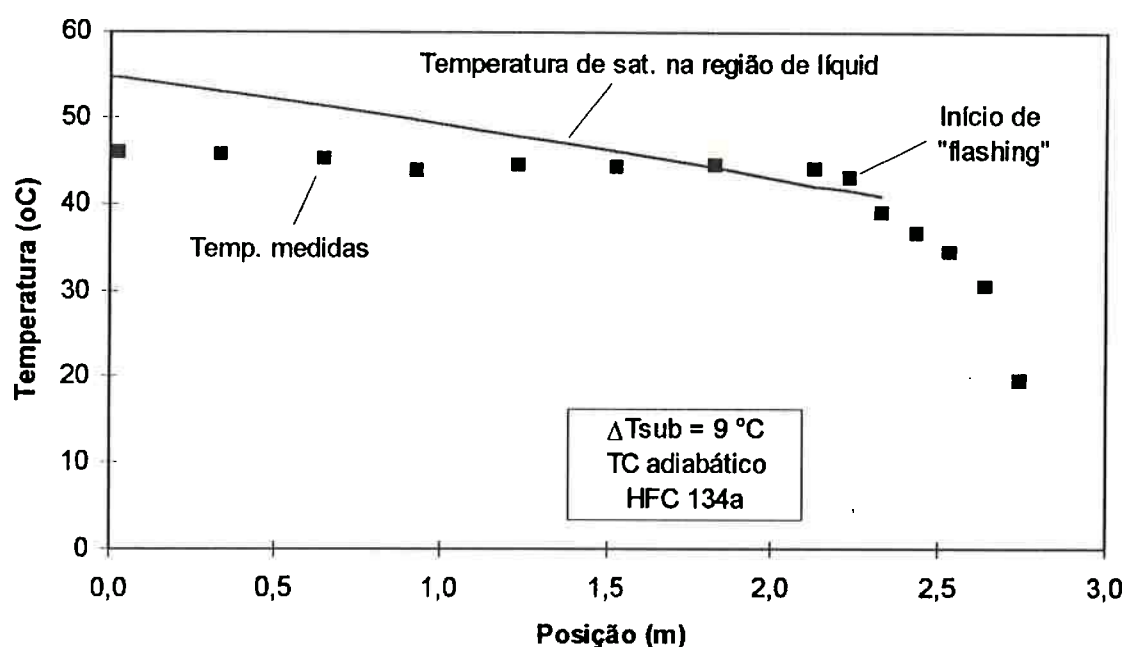


Figura 5.6. Perfil de temperatura ao longo do tubo capilar, caso AD127.

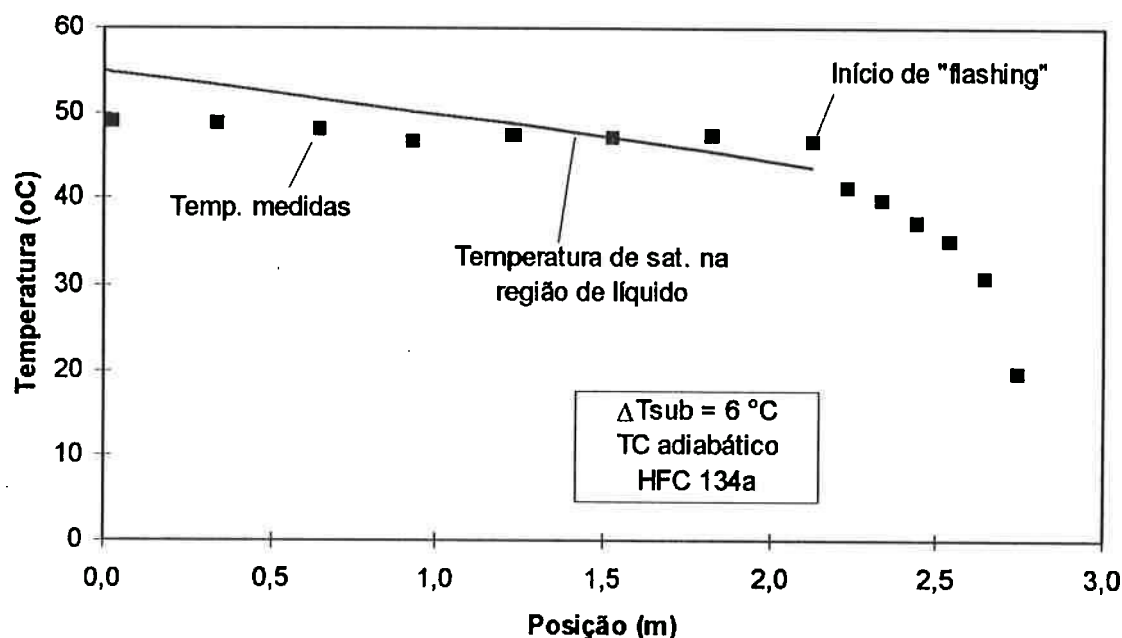


Figura 5.7. Perfil de temperatura ao longo do tubo capilar, caso AD127.

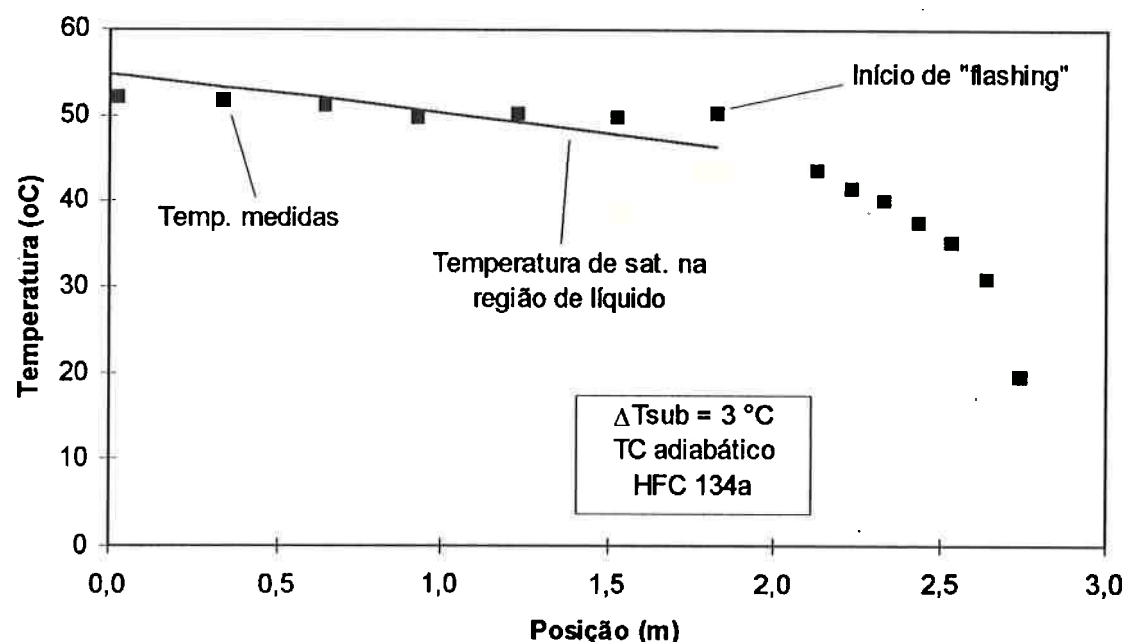


Figura 5.8. Perfil de temperatura ao longo do tubo capilar, caso AD127.

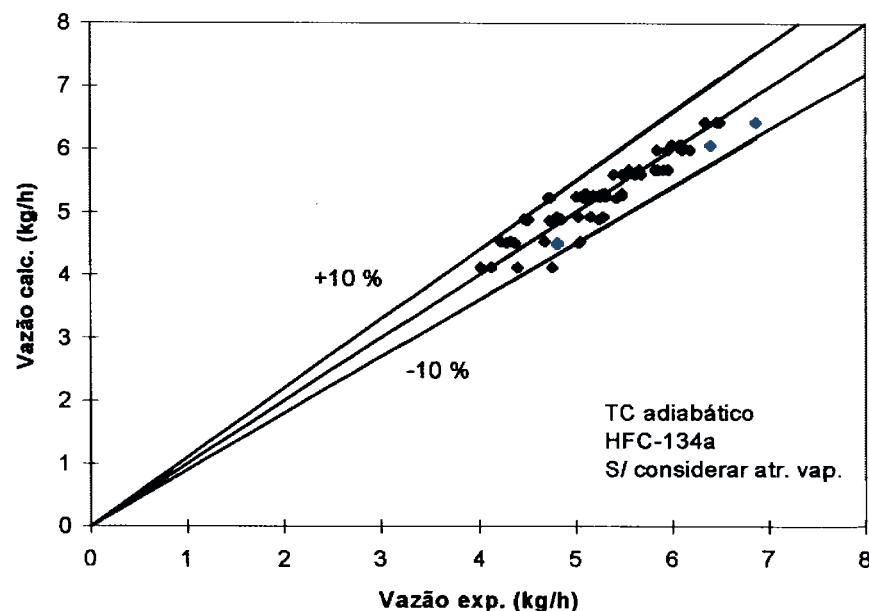


Figura 5.9. Comparação entre resultados experimentais e numéricos, sem considerar o atraso de vaporização nos cálculos numéricos.

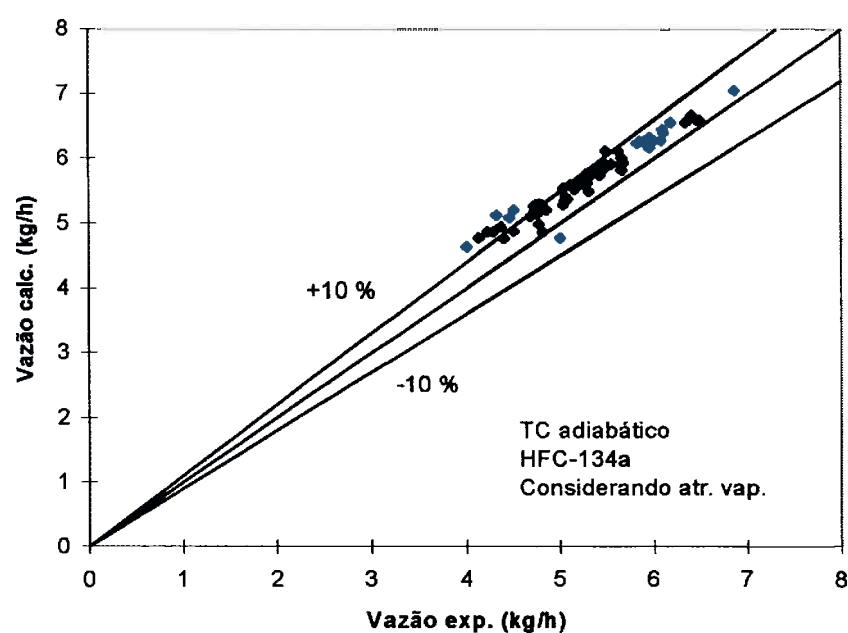


Figura 5.10. Comparação entre resultados experimentais e numéricos, considerando o atraso de vaporização nos cálculos numéricos.

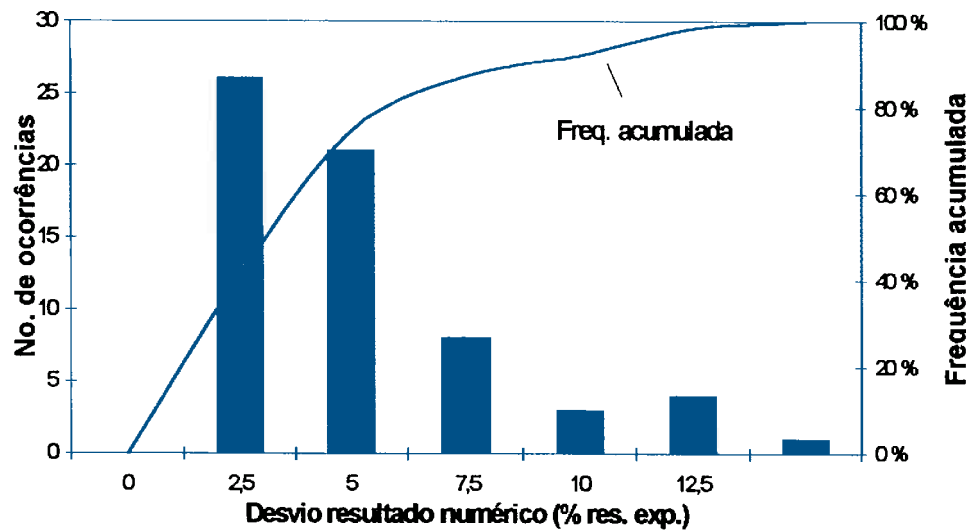


Figura 5.11. Histograma dos desvios dos resultados numéricos, considerando todos os desvios em valor absoluto, sem utilizar o atraso de vaporização no cálculo numérico HFC 134a, tubo capilar adiabático.

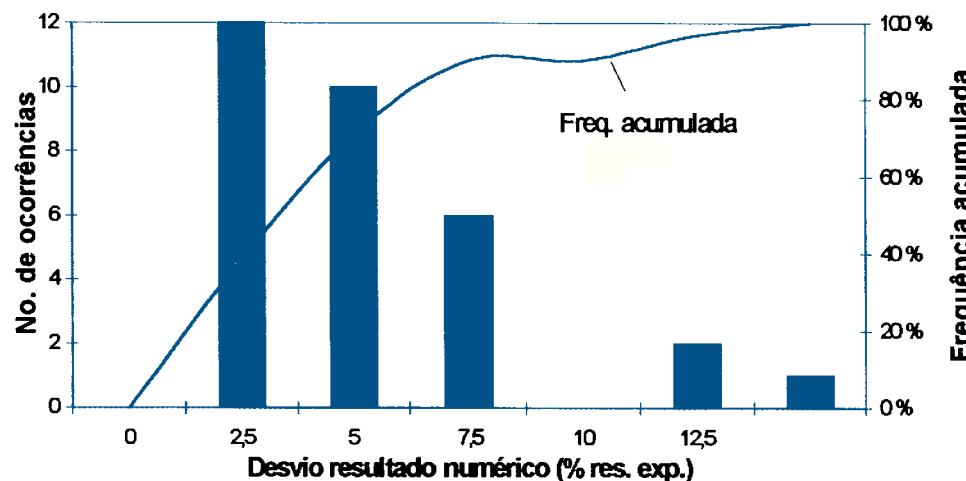


Figura 5.12. Histograma dos desvios dos resultados numéricos, considerando apenas os casos com erro negativo, sem utilizar o atraso de vaporização no cálculo numérico. HFC 134a, tubo capilar adiabático.

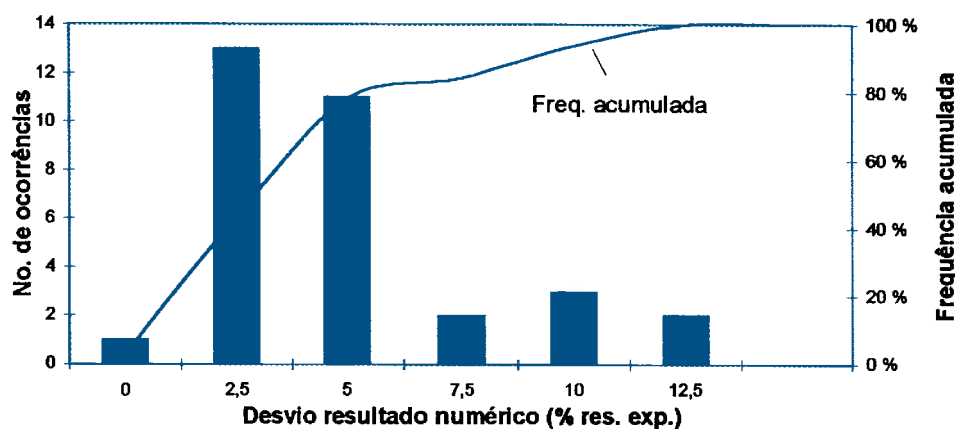


Figura 5.13. Histograma dos desvios dos resultados numéricos considerando apenas os casos com desvio positivo, sem utilizar o atraso de vaporização no cálculo numérico HFC 134a, tubo capilar adiabático.

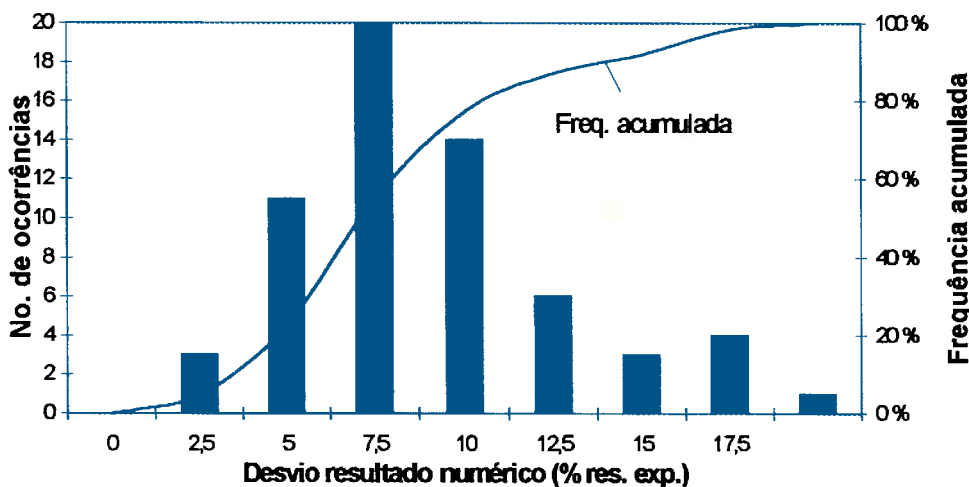


Figura 5.14. Histograma dos desvios dos resultados numéricos considerando apenas os casos com desvio, utilizando o atraso de vaporização no cálculo numérico. HFC 134a, tubo capilar adiabático.

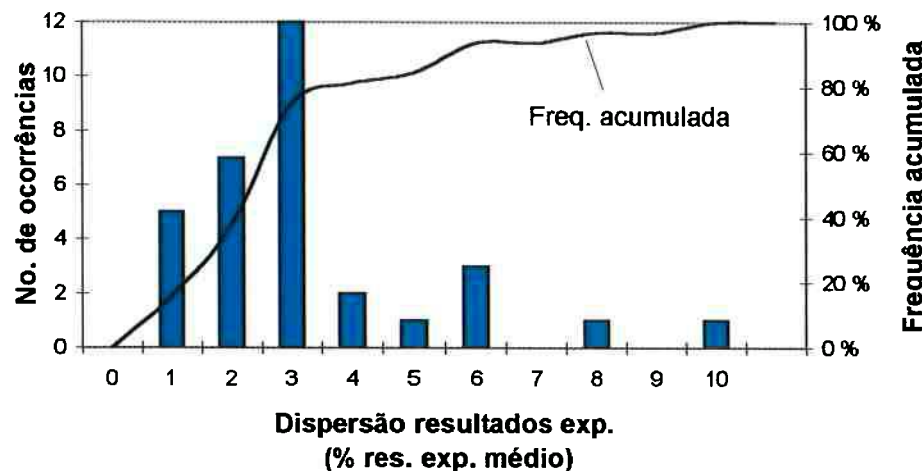


Figura 5.15. Histograma e freqüência acumulada da dispersão dos resultados experimentais em cada condição operacional, para CFC 12, tubo capilar não adiabático.

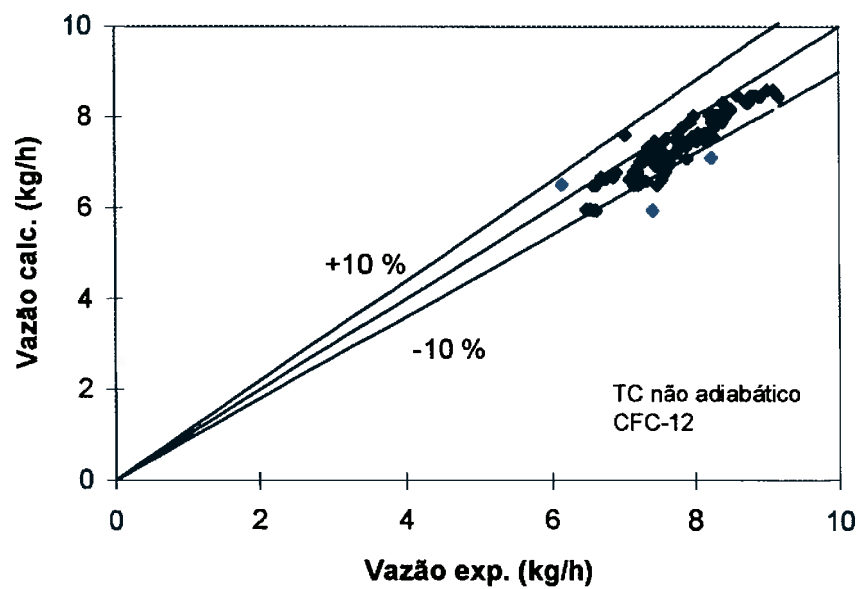


Figura 5.16. Comparação gráfica entre resultados numéricos e experimentais, tubo capilar não adiabático, CFC-12

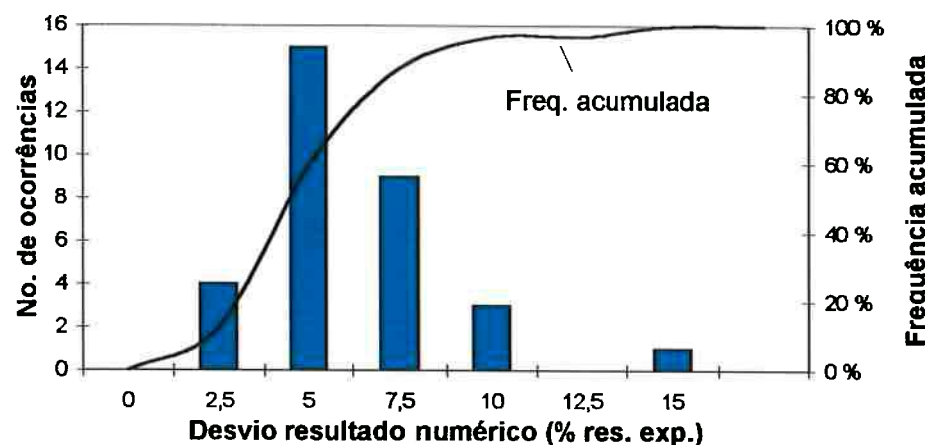


Figura 5.17. Histograma e freqüência acumulada do desvio dos resultados numéricos em valor absoluto, considerando a média dos resultados experimentais para cada condição geométrica para o caso de CFC 12, tubo capilar não adiabático.

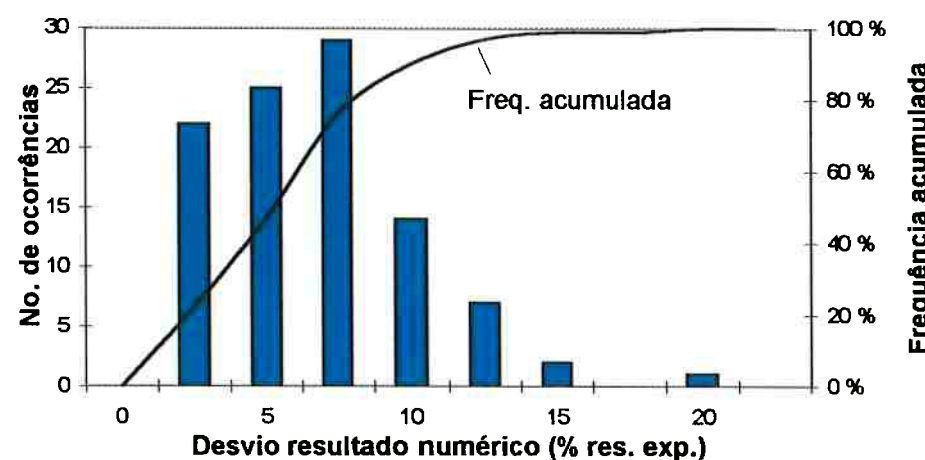


Figura 5.18. Histograma e freqüência acumulada do desvio absoluto dos resultados numéricos em relação aos experimentais, considerando a totalidade dos resultados experimentais, para CFC 12, tubo capilar não adiabático.

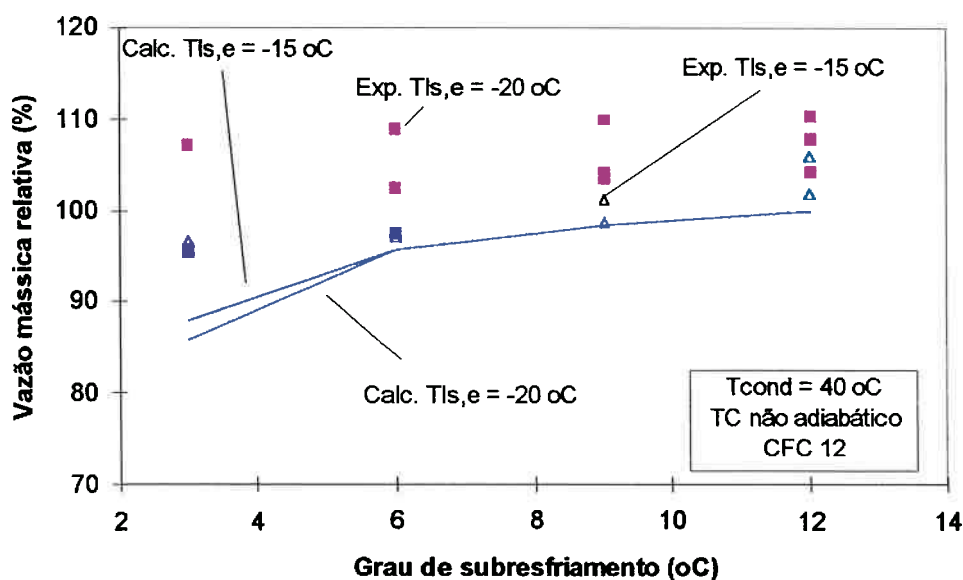


Figura 5.19. Comparação entre resultados experimentais e numéricos para vários subresfriamentos.

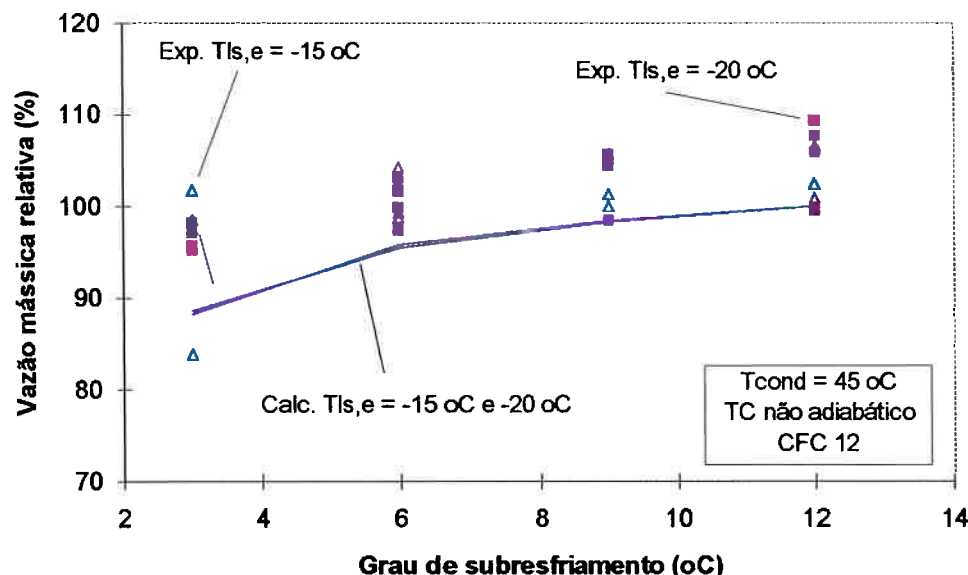


Figura 5.20. Comparação entre resultados experimentais e numéricos para vários subresfriamentos.

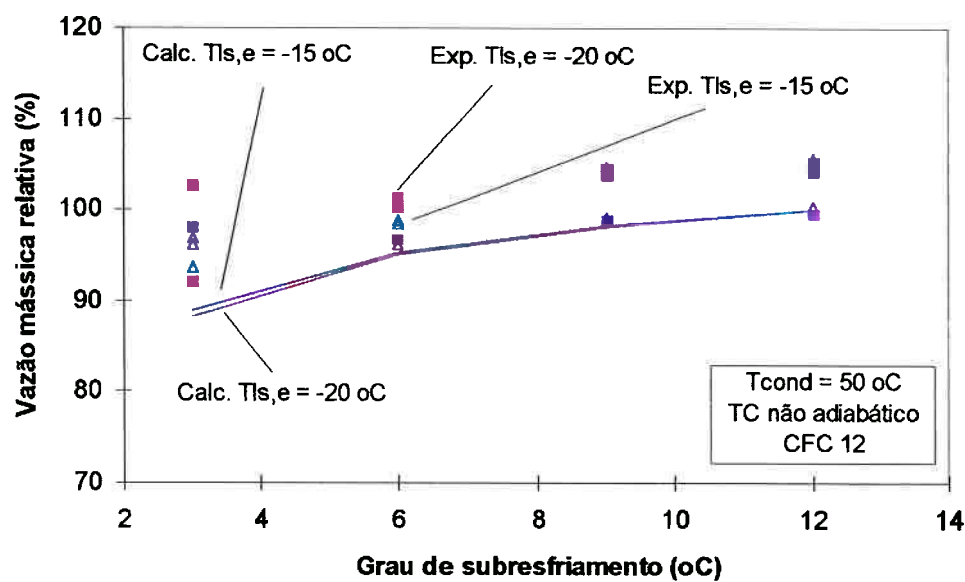


Figura 5.21. Comparação entre resultados experimentais e numéricos para vários subresfriamentos.

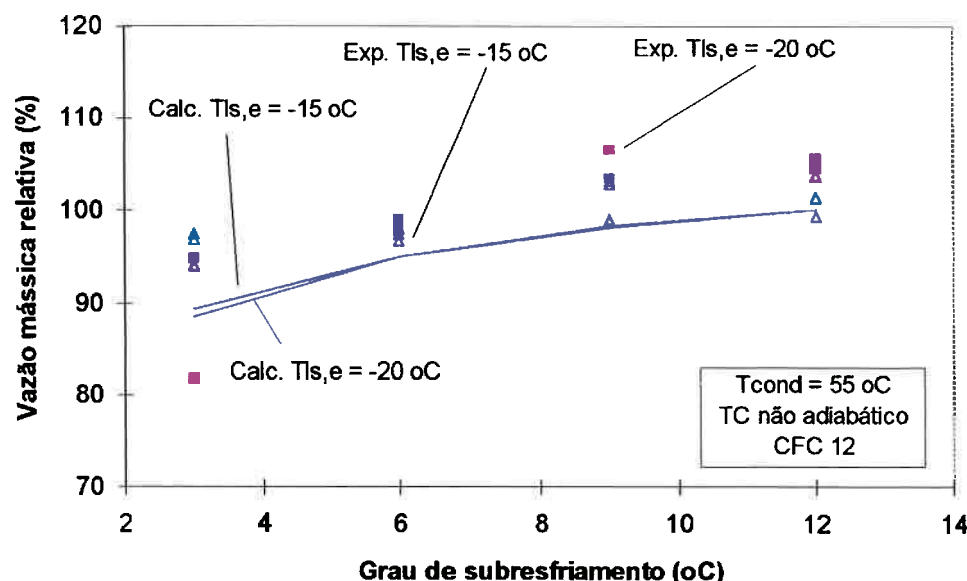


Figura 5.22. Comparação entre resultados experimentais e numéricos para vários subresfriamentos.

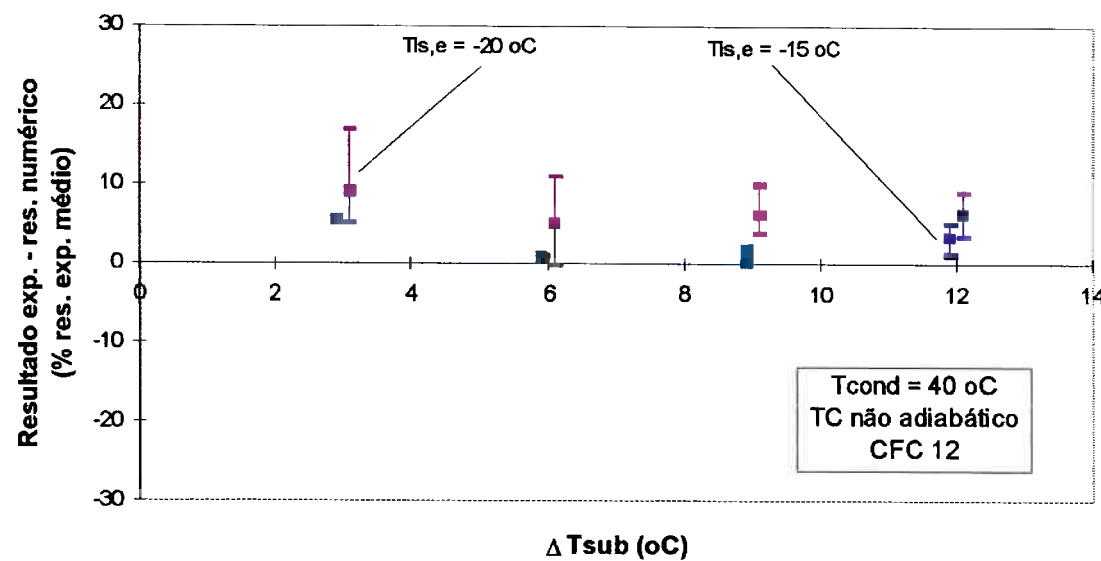
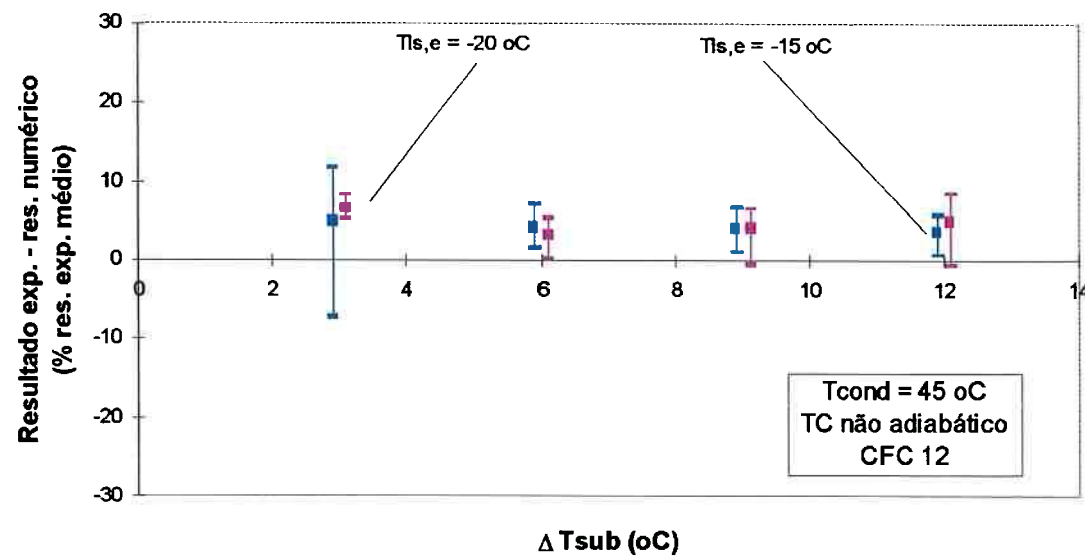
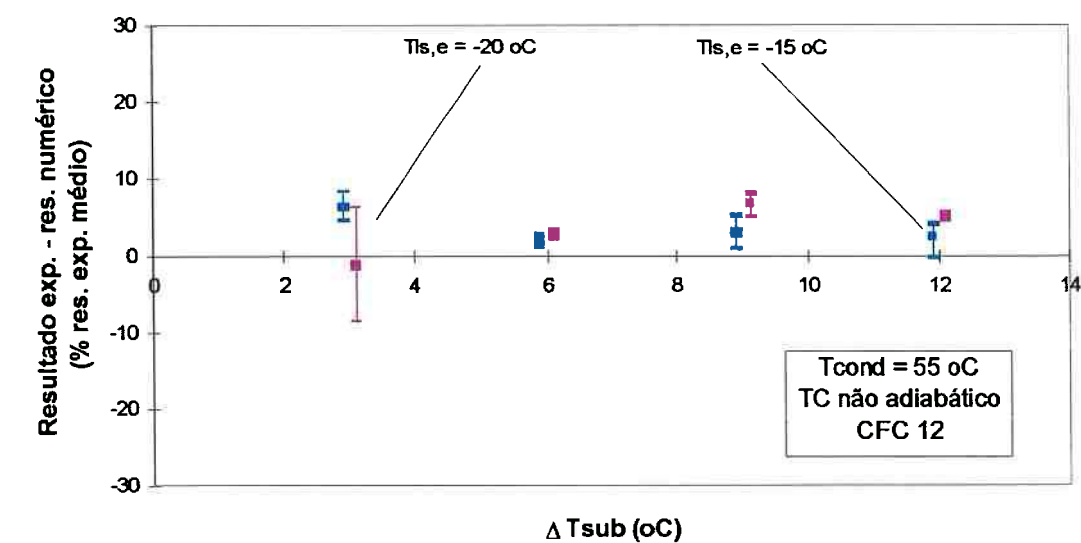
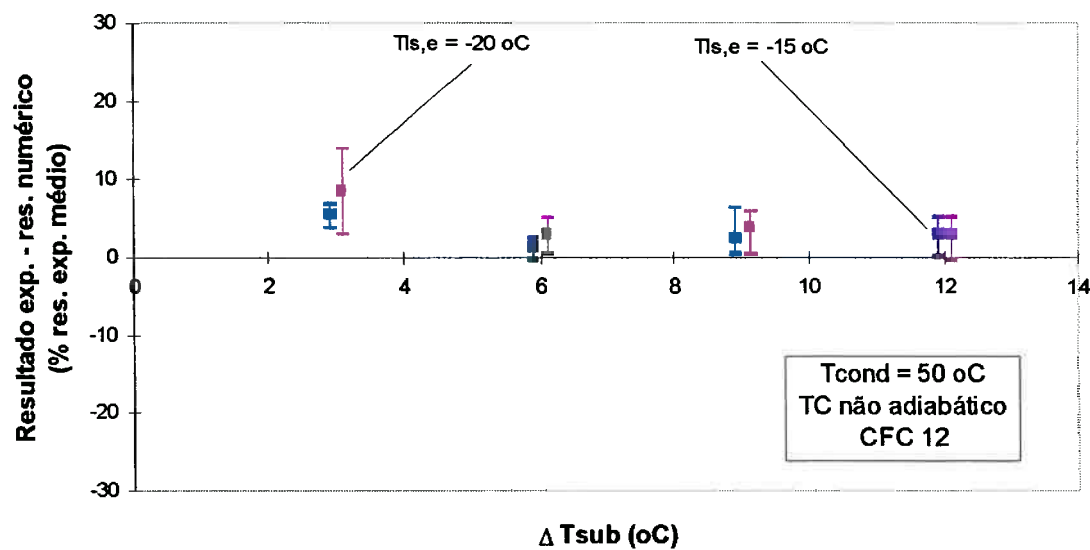
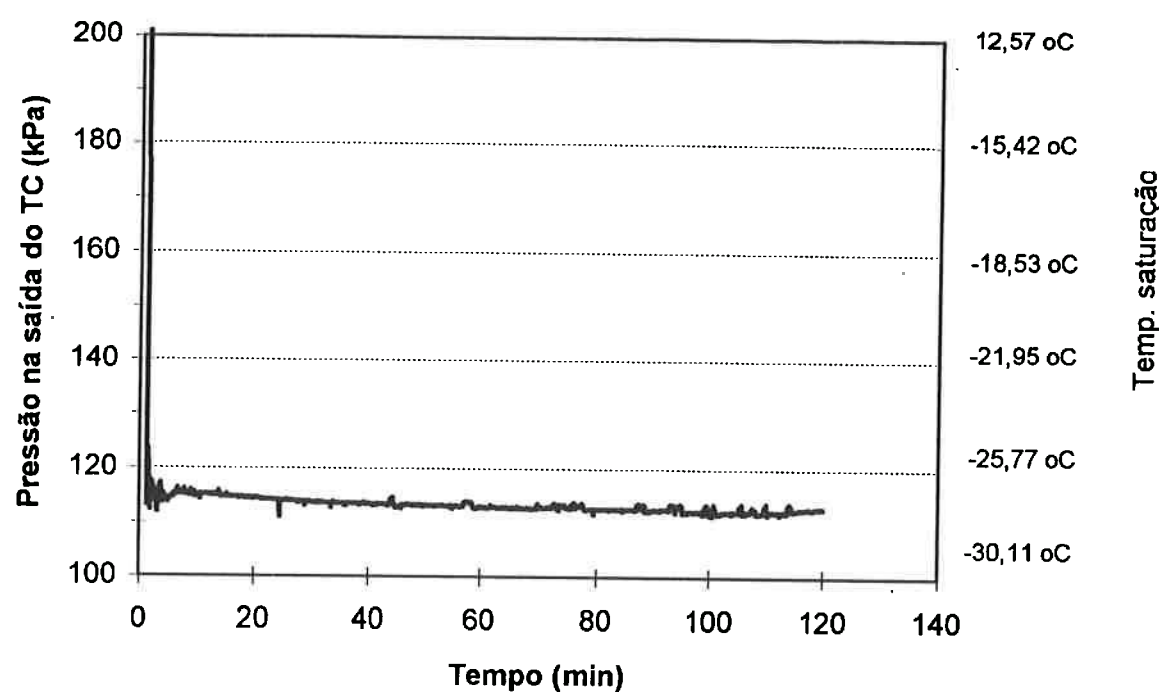
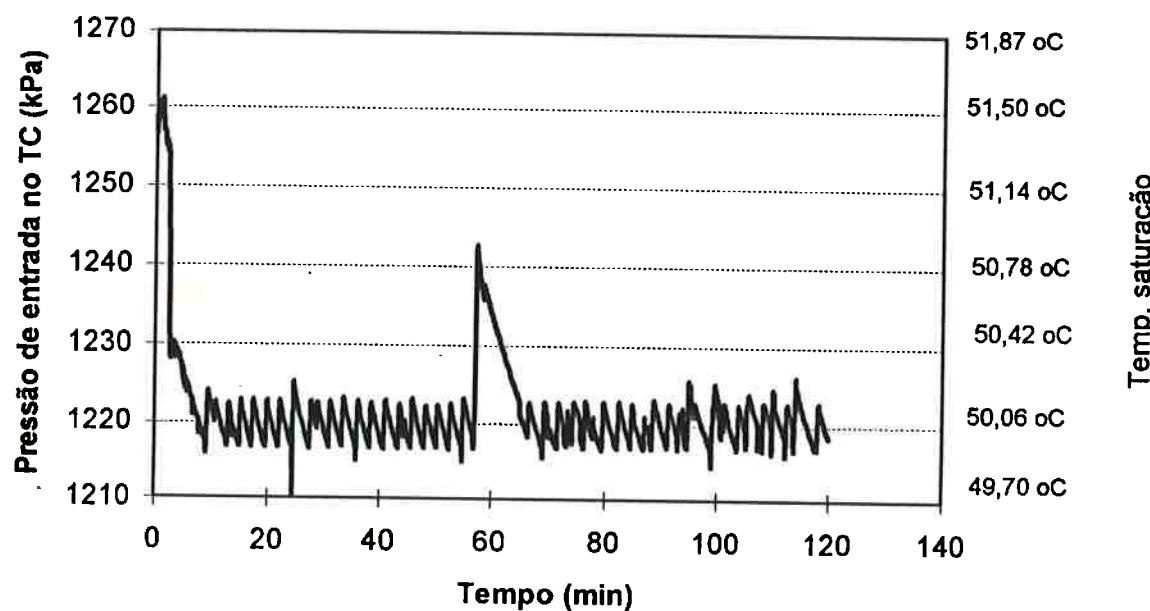


Figura 5.23. Desvio dos resultados numéricos em relação aos experimentais em função do subresfriamento.







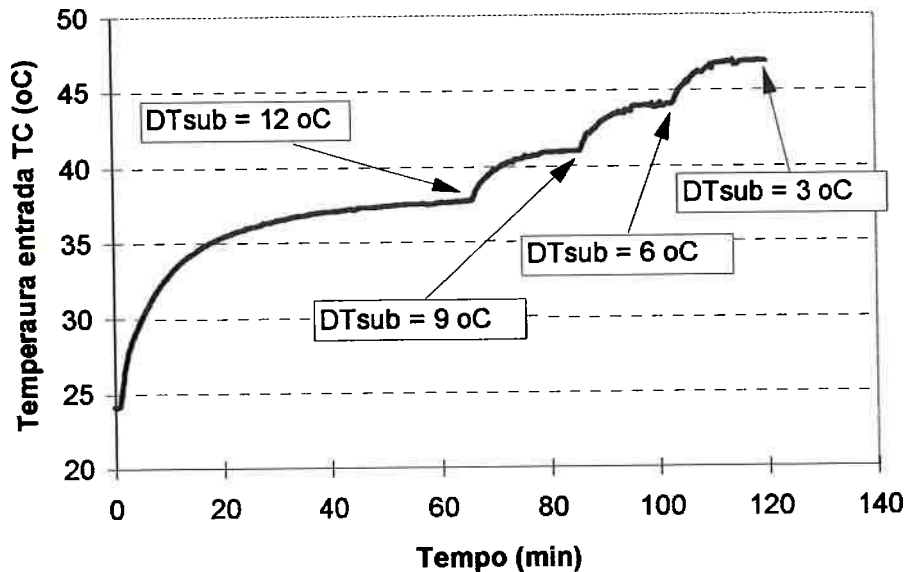


Figura 5.29. Variação ao longo do ensaio da temperatura na entrada do tubo capilar. Ensaio com tubo capilar não adiabático, CFC 12, ensaio NAD092.

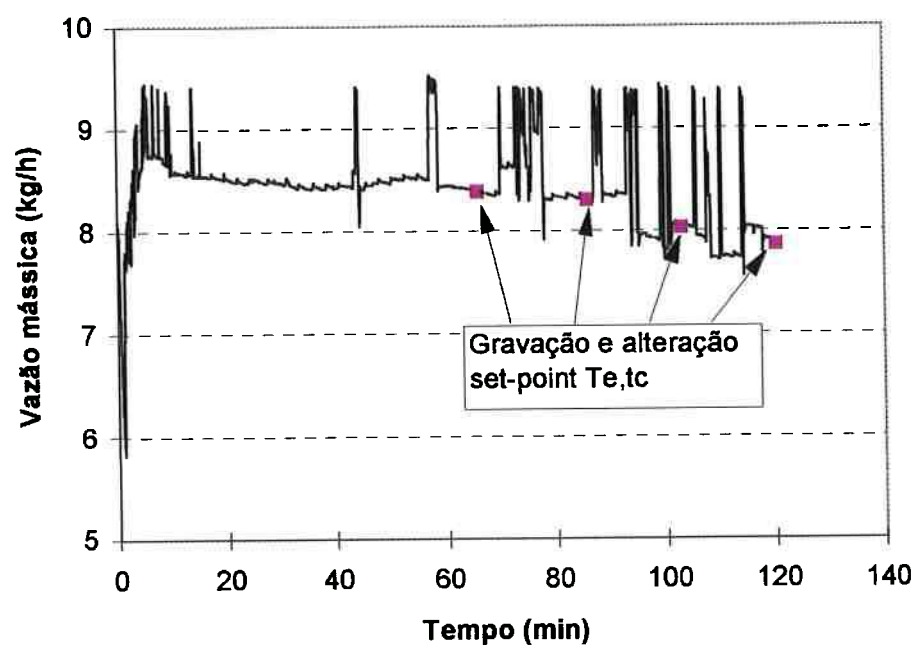


Figura 5.30. Variação ao longo do ensaio da vazão mássica através do tubo capilar. Ensaio com tubo capilar não adiabático, CFC 12, ensaio NAD092.

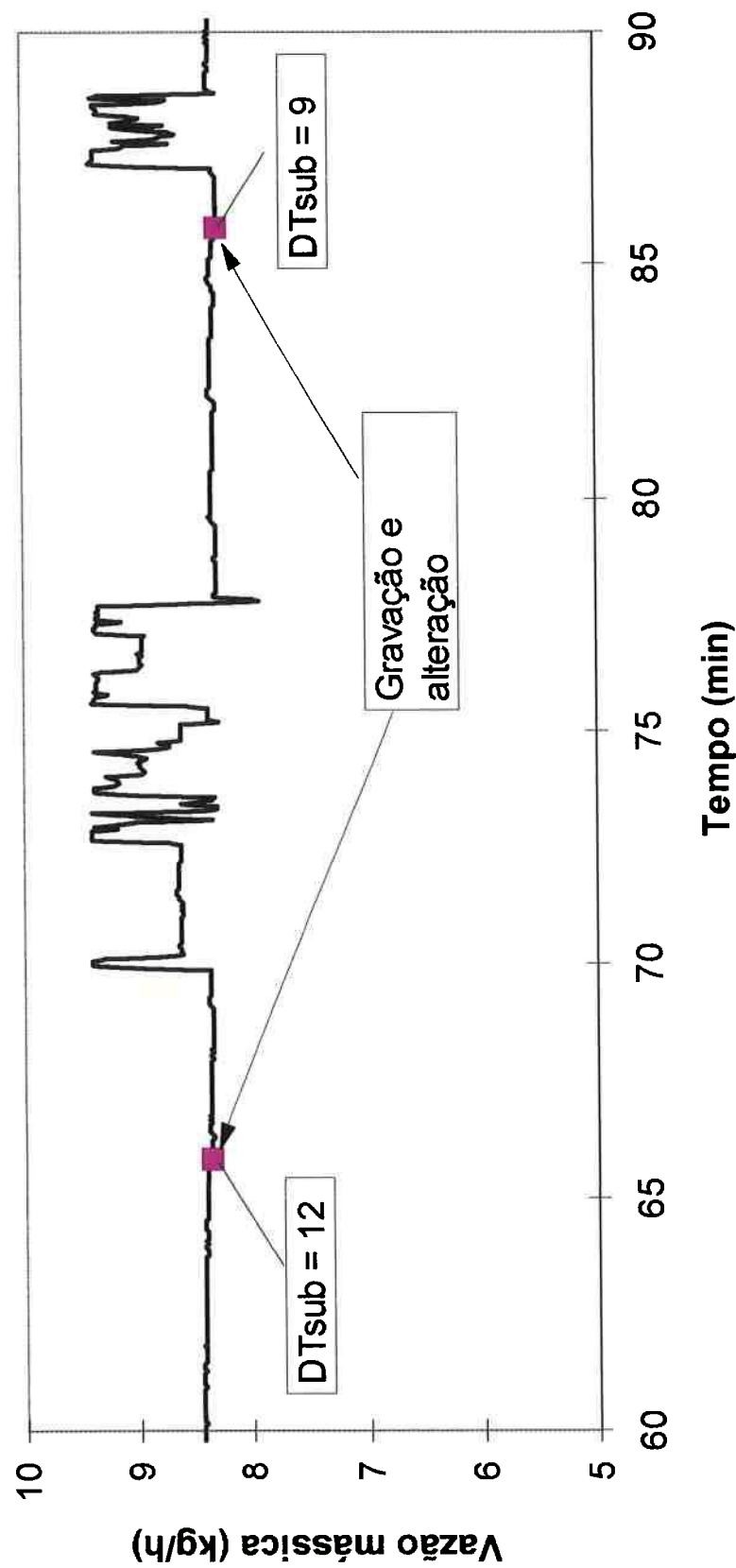


Figura 5.31. Gráfico ampliado da evolução da vazão ao longo do ensaio (tubo capilar adiabático, CFC 12, ensaio NAD092). Período de tempo considerado: transitório para obtenção do ponto com 9 °C de subresfriamento.

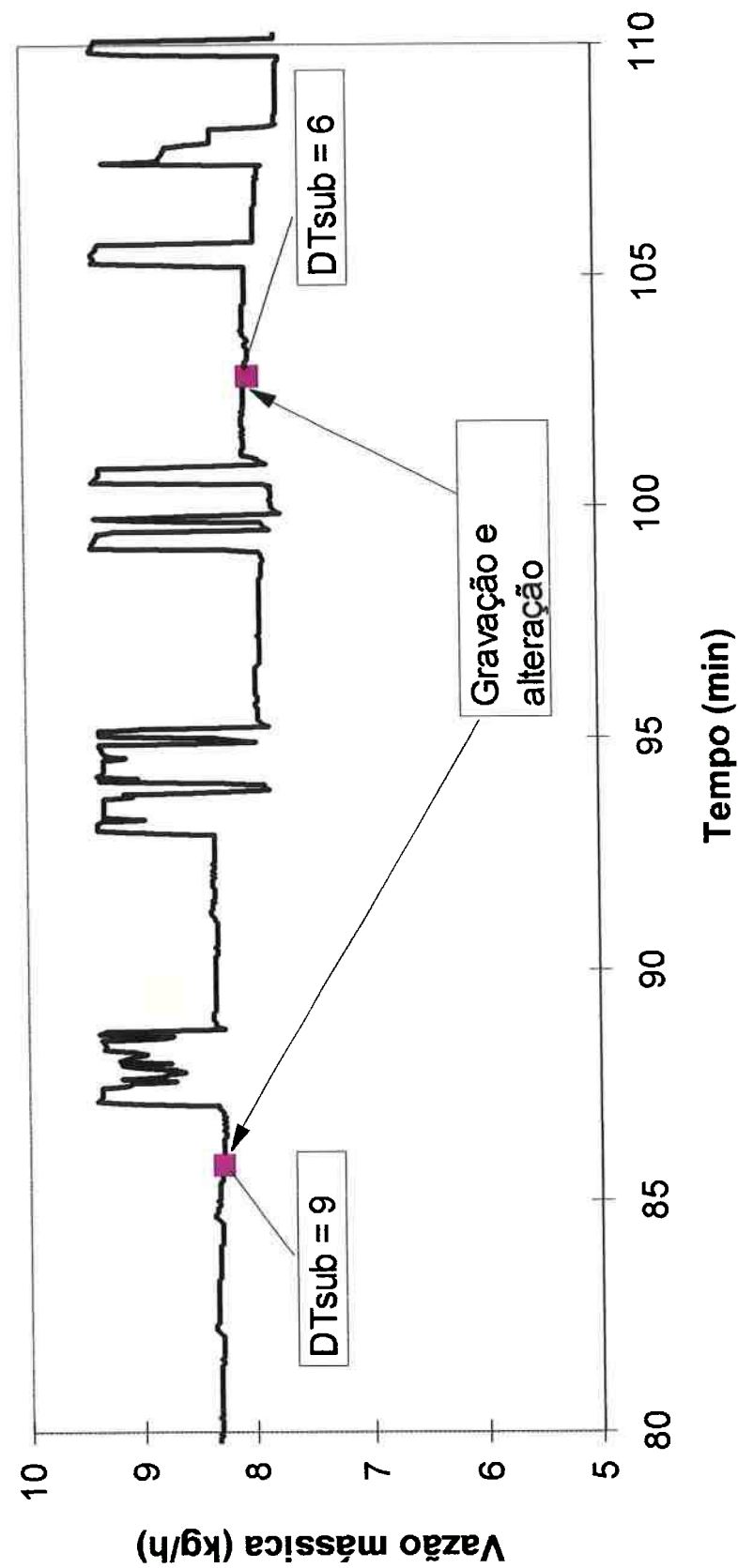


Figura 5.32. Gráfico ampliado da evolução da vazão ao longo do ensaio (tubo capilar adiabático, CFC 12, ensaio NAD092). Período de tempo considerado: transitório para obtenção do ponto com 6 °C de subresfriamento.

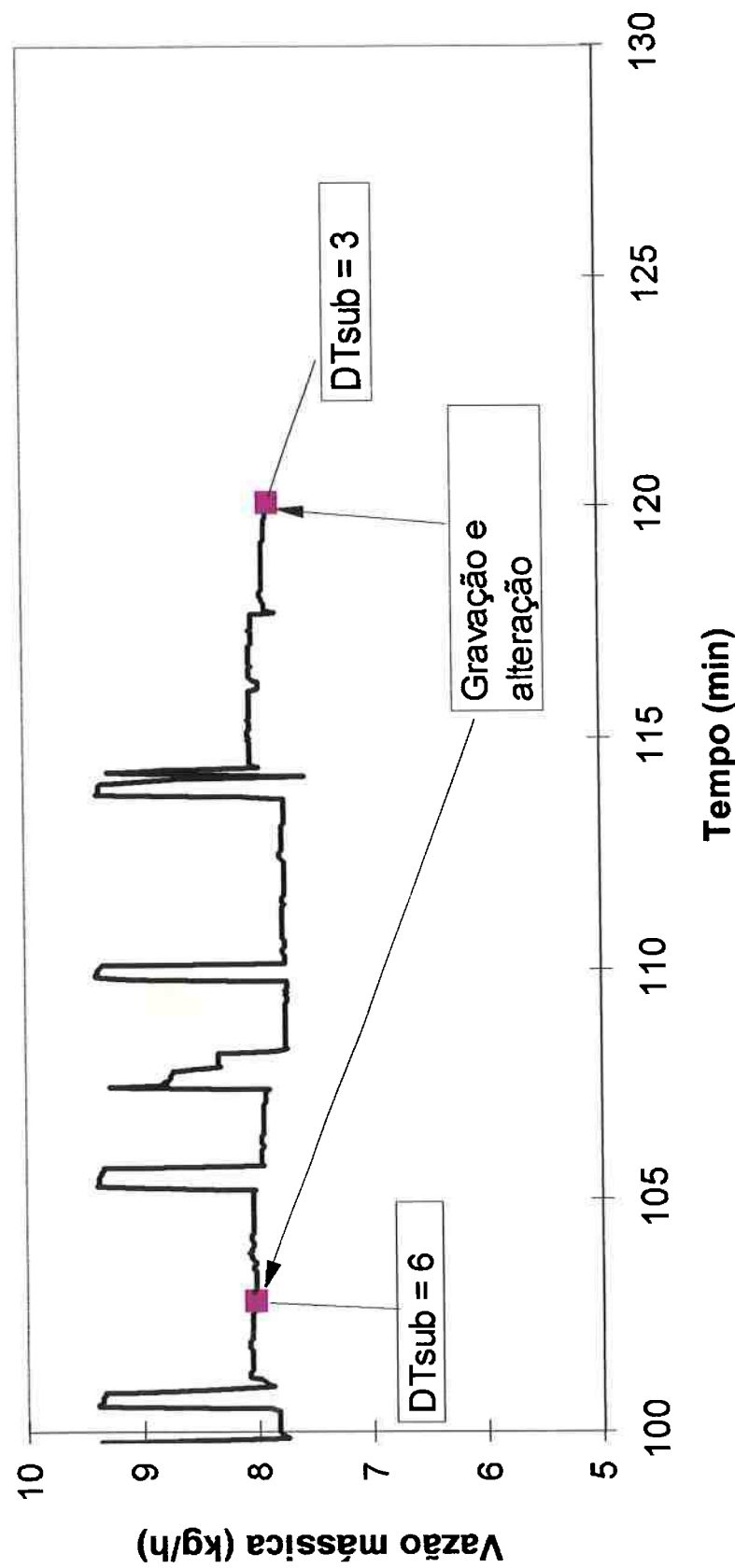


Figura 5.33. Gráfico ampliado da evolução da vazão ao longo do ensaio (tubo capilar adiabático, CFC 12, ensaio NAD092). Período de tempo considerado: transitório para obtenção do ponto com 3 °C de subresfriamento.

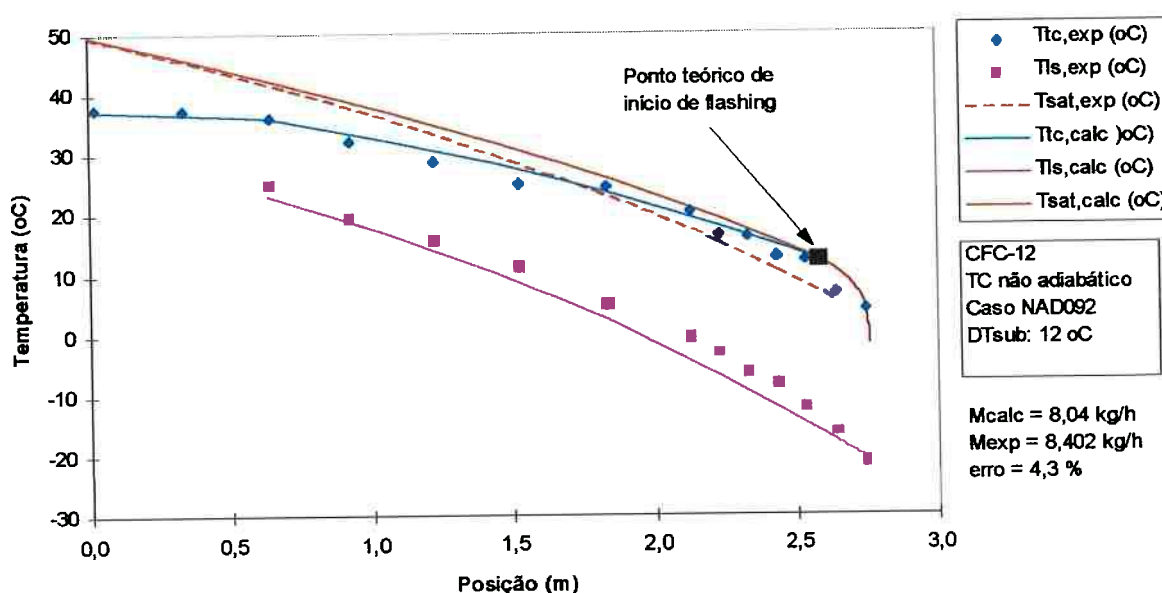


Figura 5.34. Perfis de temperatura medidos e calculados para o tubo capilar e a linha de sucção. Tubo capilar não adiabático, CFC 12, subresfriamento de 12 °C, $T_{cond} = 50$ °C, ensaio NAD092.

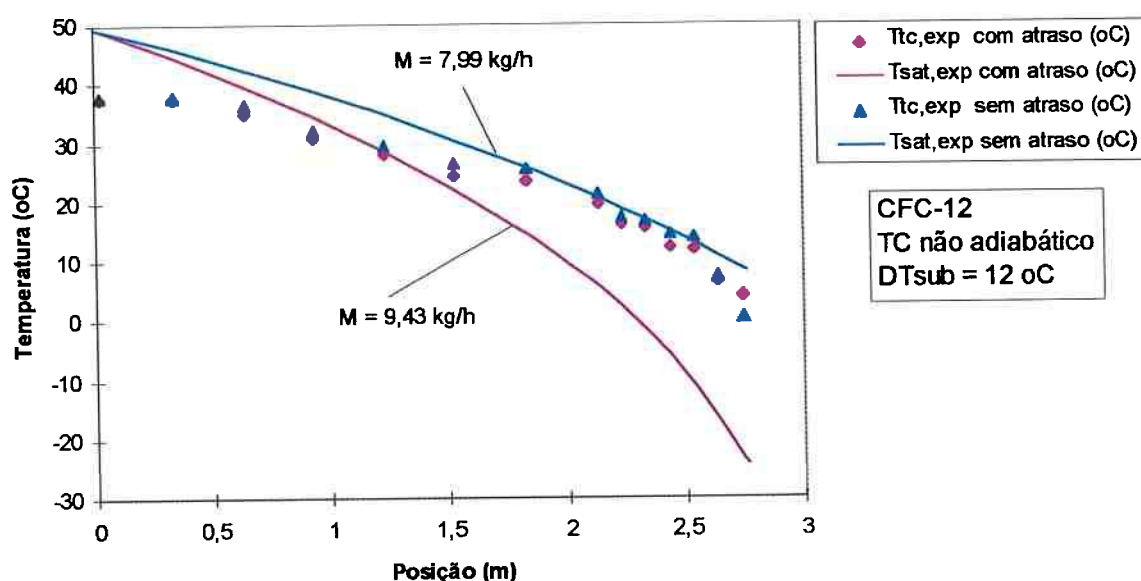
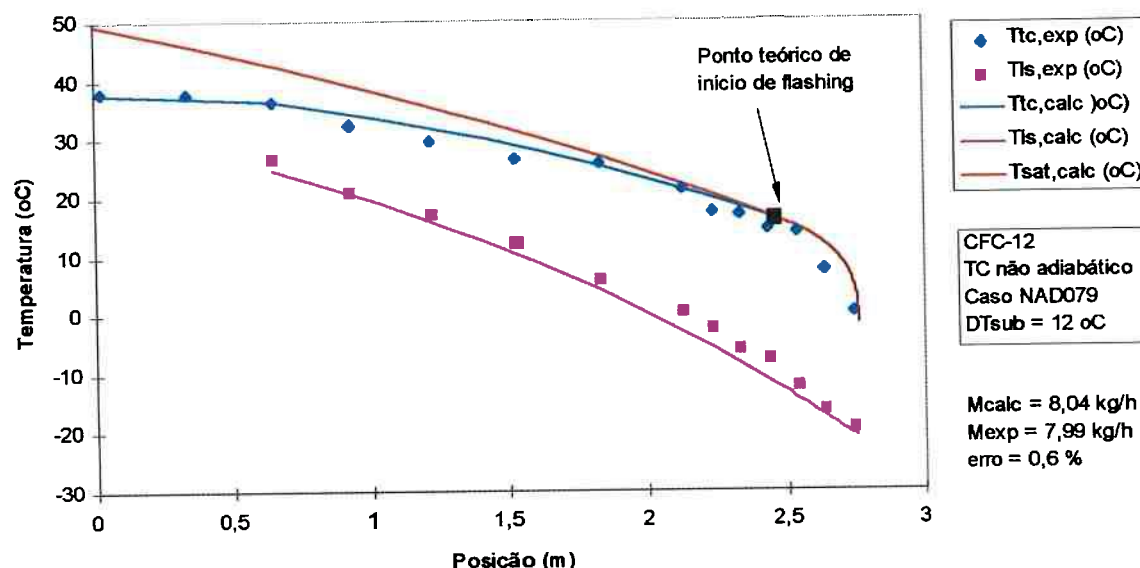


Figura 5.35. Perfis de temperatura medidas e de saturação do tubo capilar para duas condições de operação, uma com pequeno e outra com grande atraso de vaporização.



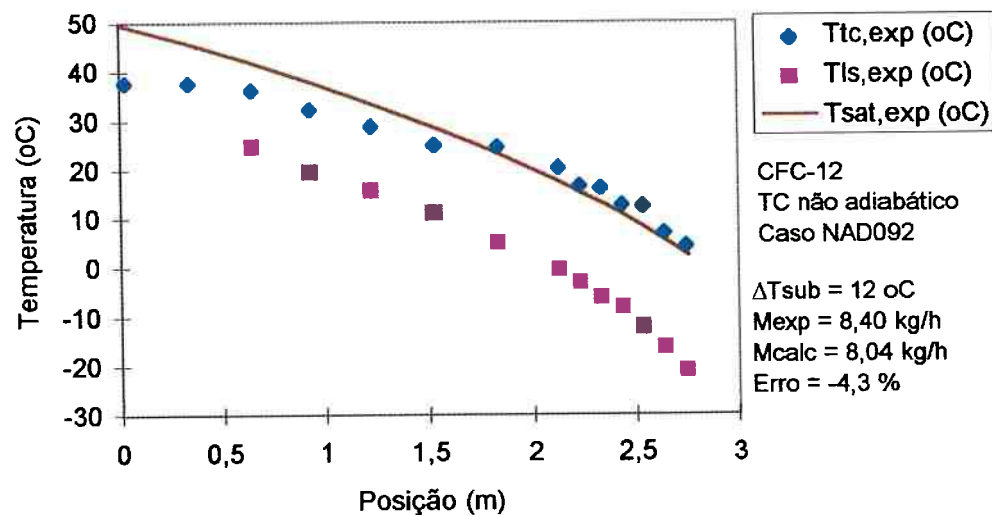


Figura 5.37. Perfis experimentais de temperatura obtidos no ensaio NAD092, para $\Delta T_{sub} = 12$ °C.

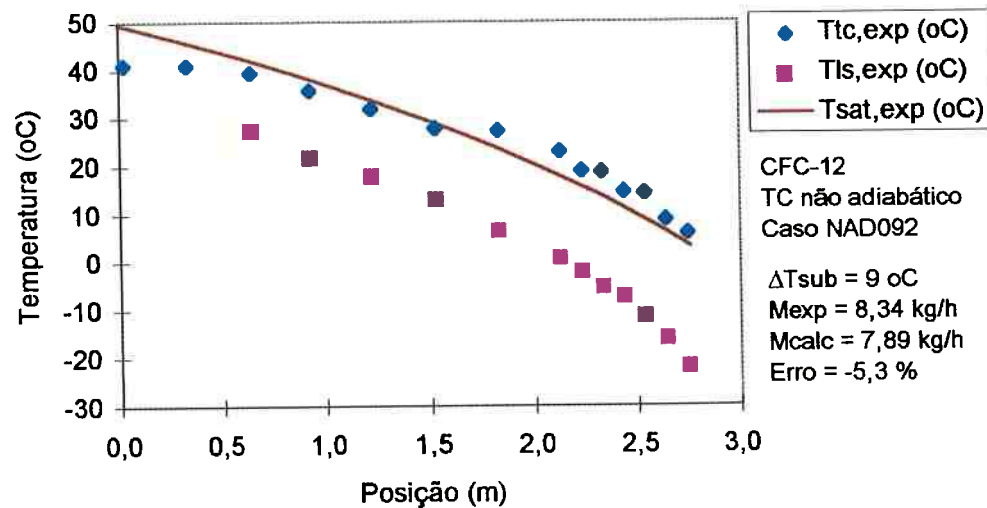


Figura 5.38. Perfis experimentais de temperatura obtidos no ensaio NAD092, para $\Delta T_{sub} = 9$ °C.

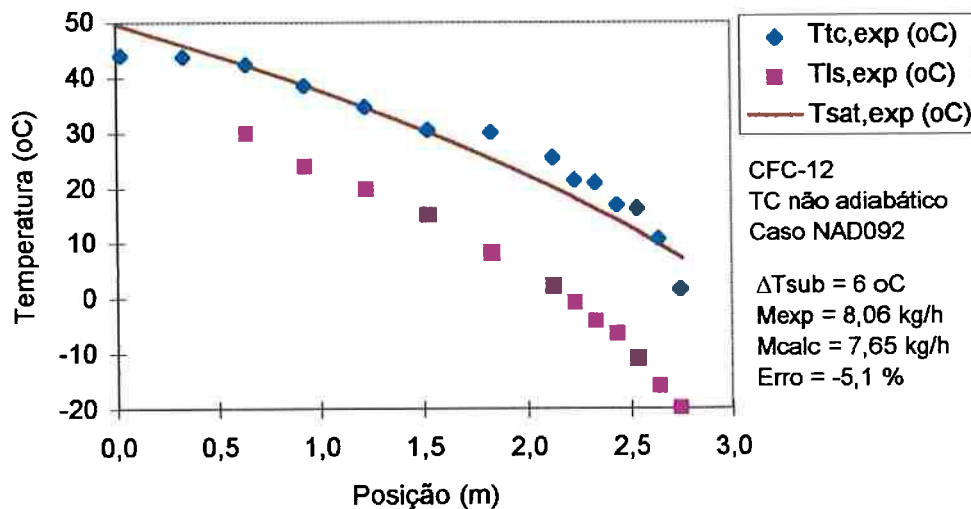


Figura 5.39. Perfis experimentais de temperatura obtidos no ensaio NAD092, para $\Delta T_{sub} = 6$ °C.

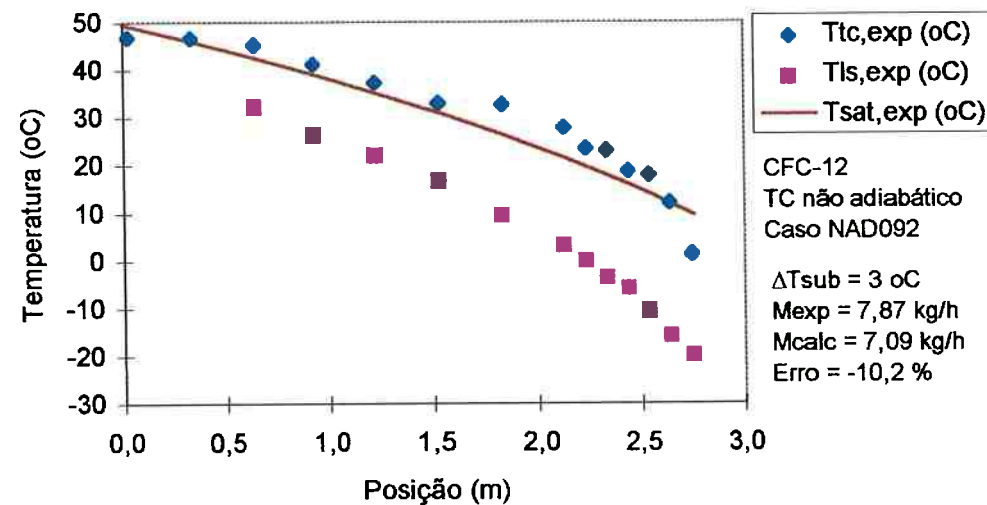


Figura 5.40. Perfis experimentais de temperatura obtidos no ensaio NAD092, para $\Delta T_{sub} = 3$ °C.

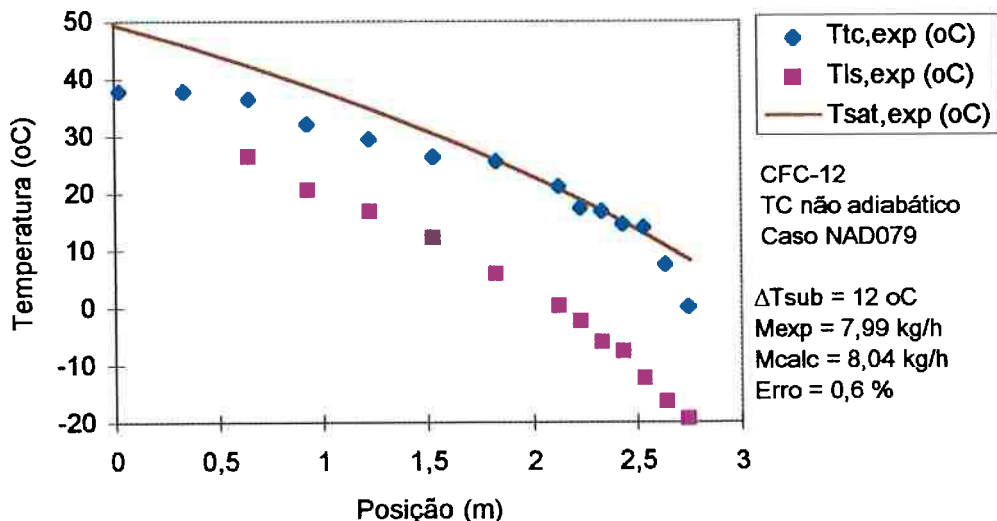


Figura 5.41. Perfis experimentais de temperatura obtidos no ensaio NAD079, para $\Delta T_{sub} = 12$ °C.

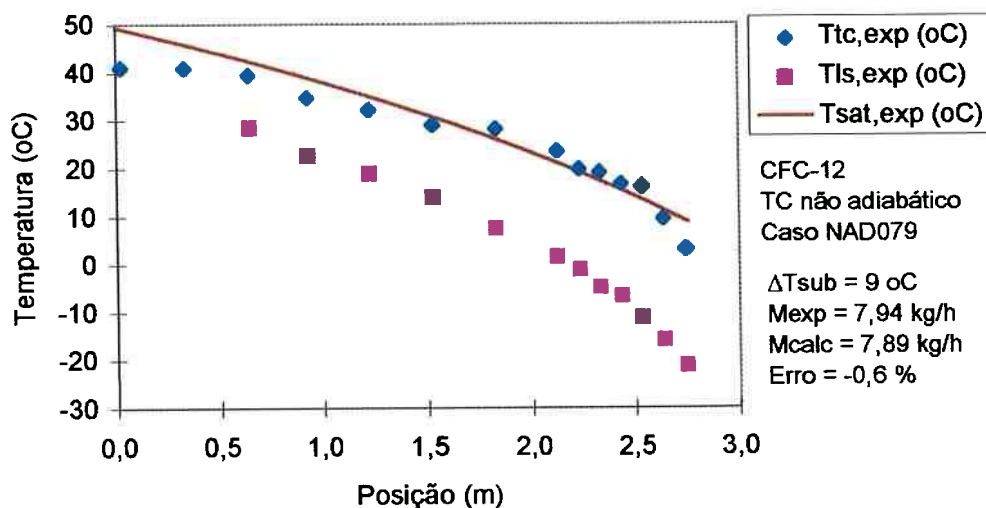


Figura 5.42. Perfis experimentais de temperatura obtidos no ensaio NAD079, para $\Delta T_{sub} = 9$ °C.

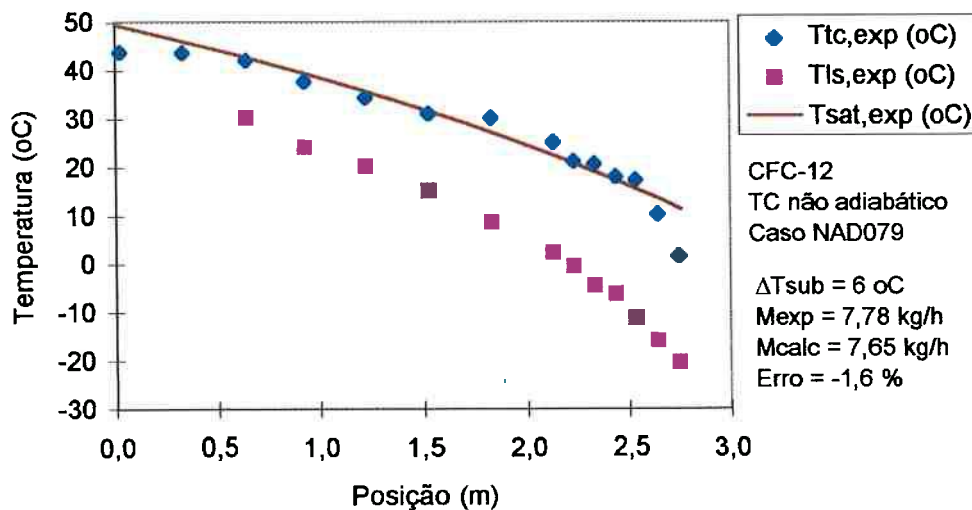


Figura 5.43. Perfis experimentais de temperatura obtidos no ensaio NAD079, para $\Delta T_{\text{sub}} = 6 \text{ }^{\circ}\text{C}$.

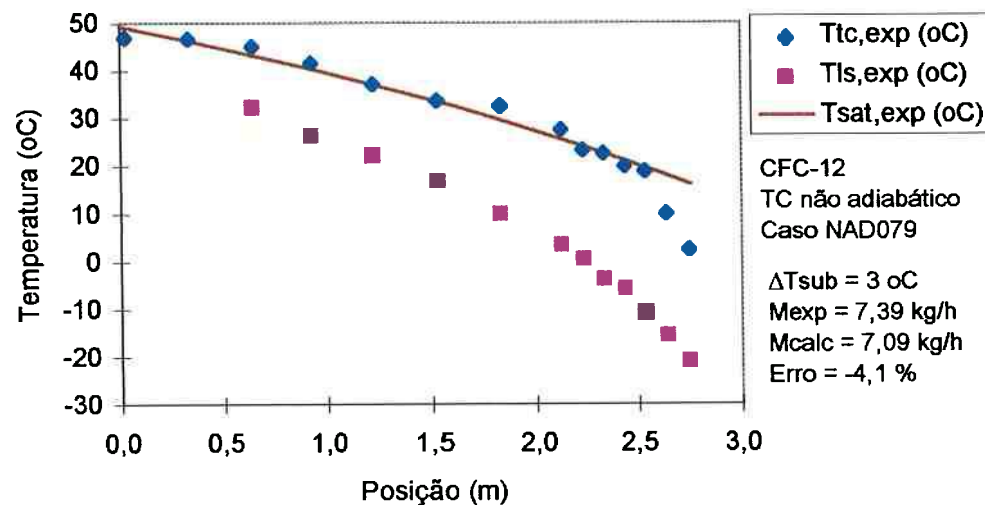


Figura 5.44. Perfis experimentais de temperatura obtidos no ensaio NAD079, para $\Delta T_{\text{sub}} = 3 \text{ }^{\circ}\text{C}$.

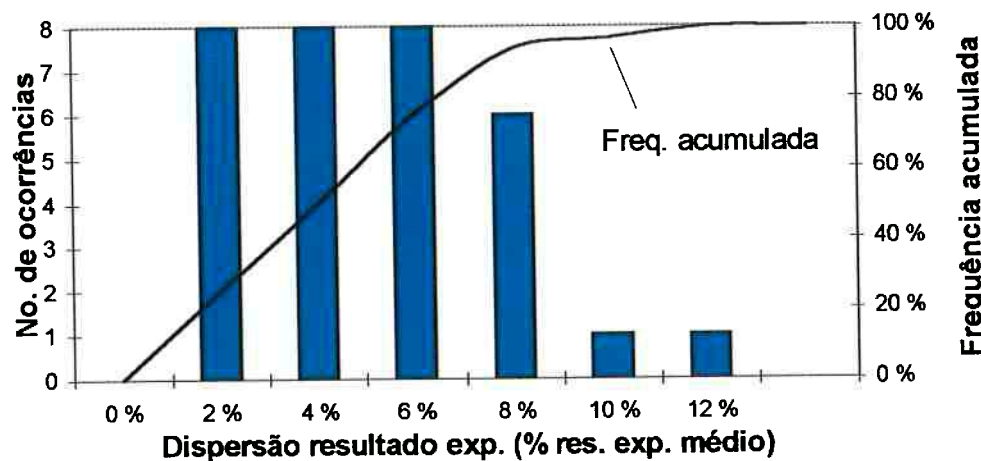


Figura 5.45. Histograma e freqüência acumulada da dispersão dos resultados experimentais para cada condição operacional, para HFC 134a, tubo capilar não adiabático.

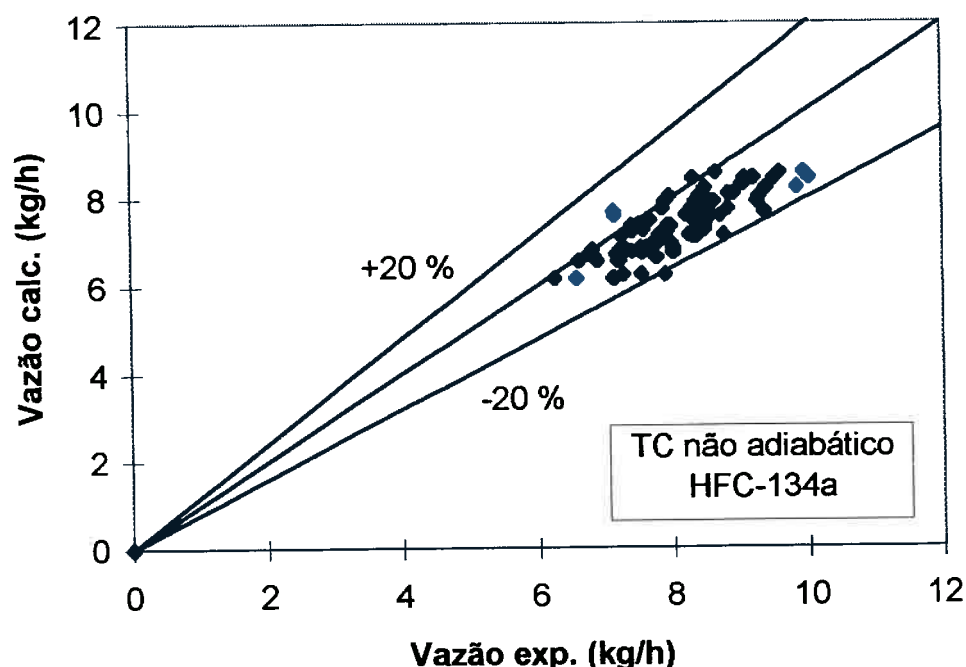


Figura 5.46. Comparação gráfica entre resultados numéricos e experimentais, tubo capilar não adiabático, HFC 134a.

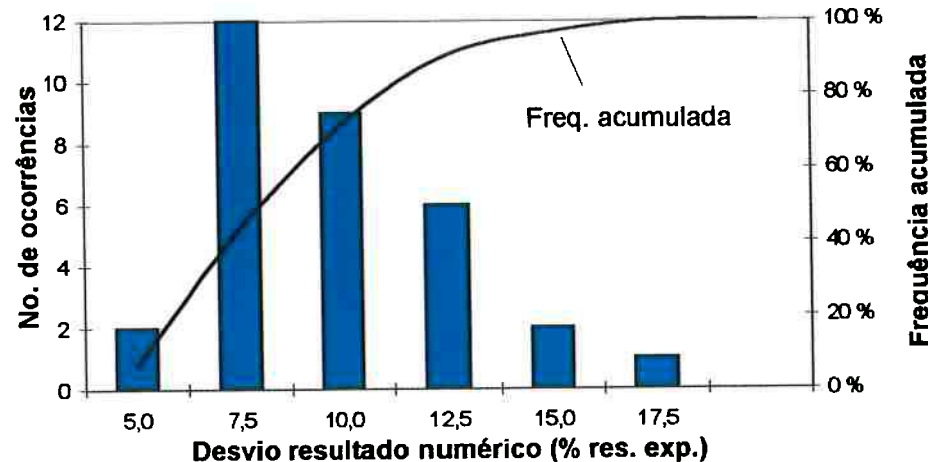


Figura 5.47. Histograma e frequência acumulada do desvio dos resultados numéricos, considerando a média dos resultados experimentais para cada condição operacional para o caso de HFC 134a, tubo capilar não adiabático.

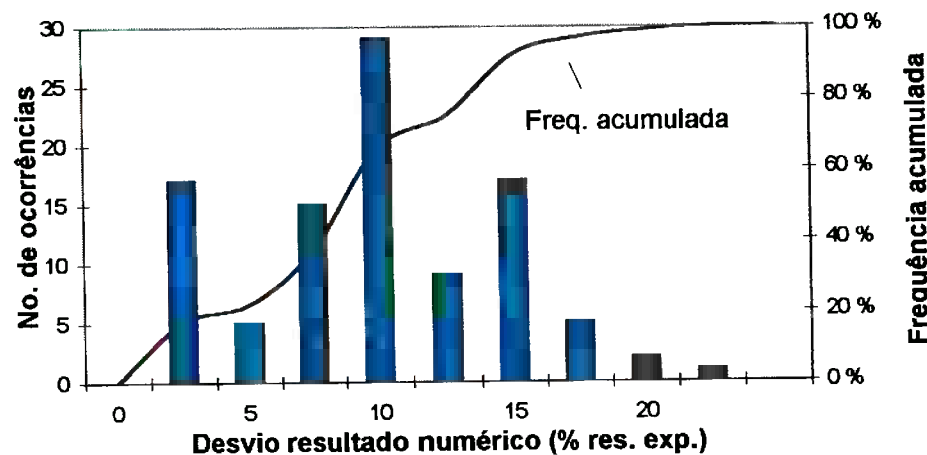


Figura 5.48. Histograma e frequência acumulada do desvio dos resultados numéricos, considerando a totalidade dos resultados experimentais, para HFC 134a, tubo capilar não adiabático.

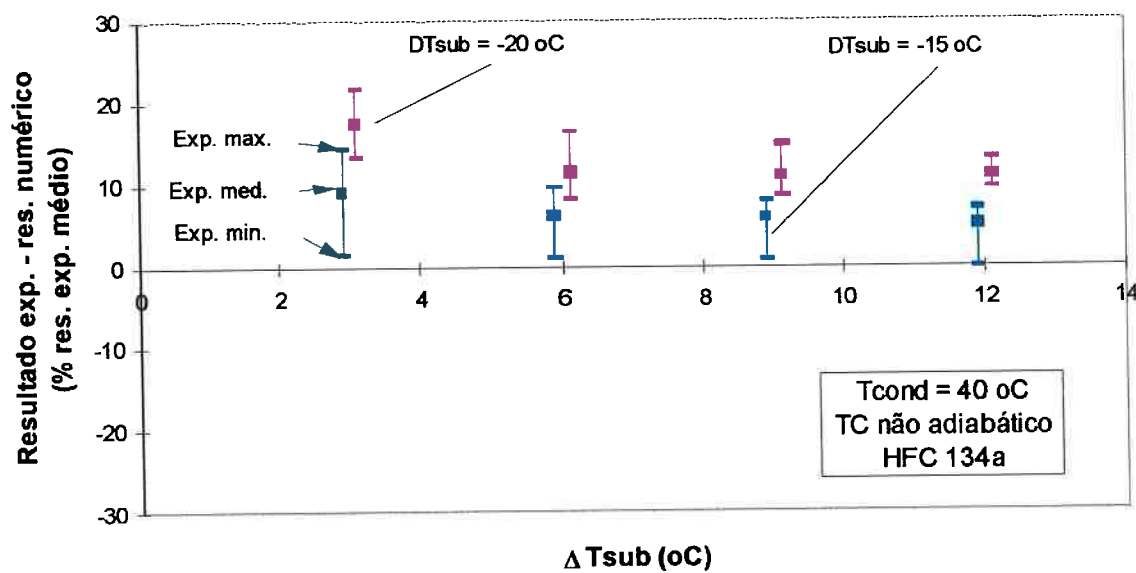


Figura 5.49. Diferença percentual de vazão entre resultados experimentais e numéricos em função de ΔT_{sub} para HFC 134a, tubo capilar não adiabático, $T_{\text{cond}} = 40$ °C.

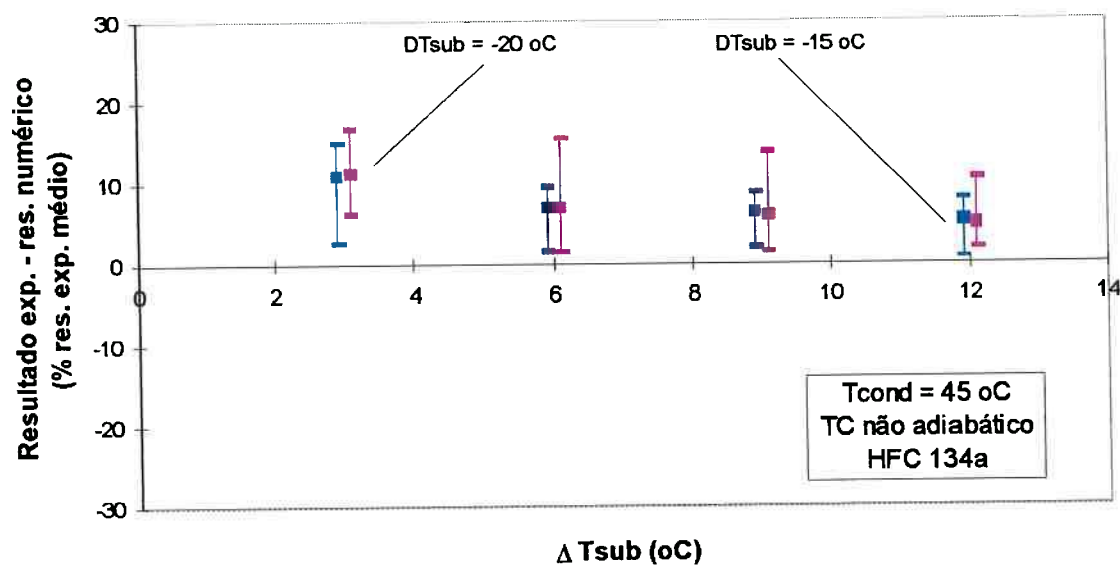


Figura 5.50. Diferença percentual de vazão entre resultados experimentais e numéricos em função de ΔT_{sub} para HFC 134a, tubo capilar não adiabático, $T_{\text{cond}} = 45$ °C.

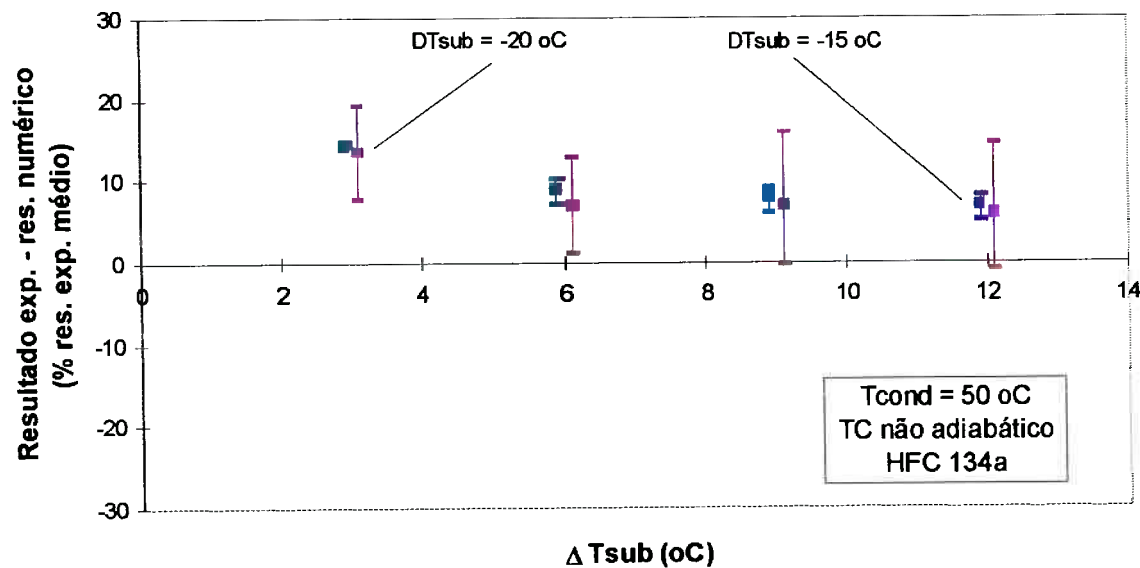


Figura 5.51. Diferença percentual de vazão entre resultados experimentais e numéricos em função de ΔT_{sub} para HFC 134a, tubo capilar não adiabático, $T_{cond} = 50$ °C.

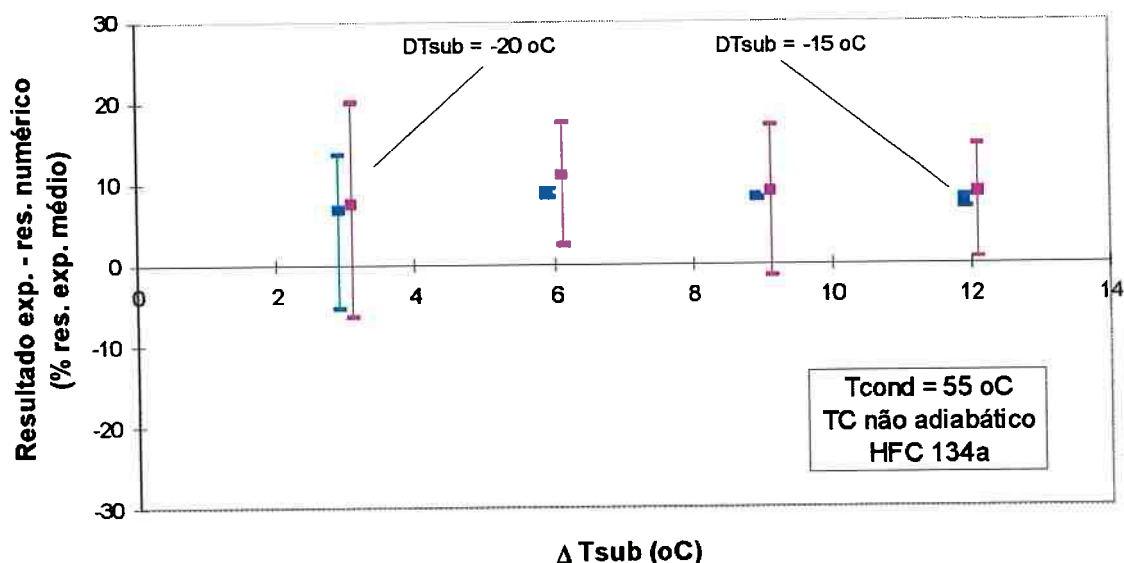


Figura 5.52. Diferença percentual de vazão entre resultados experimentais e numéricos em função de ΔT_{sub} para HFC 134a, tubo capilar não adiabático, $T_{cond} = 55$ °C.

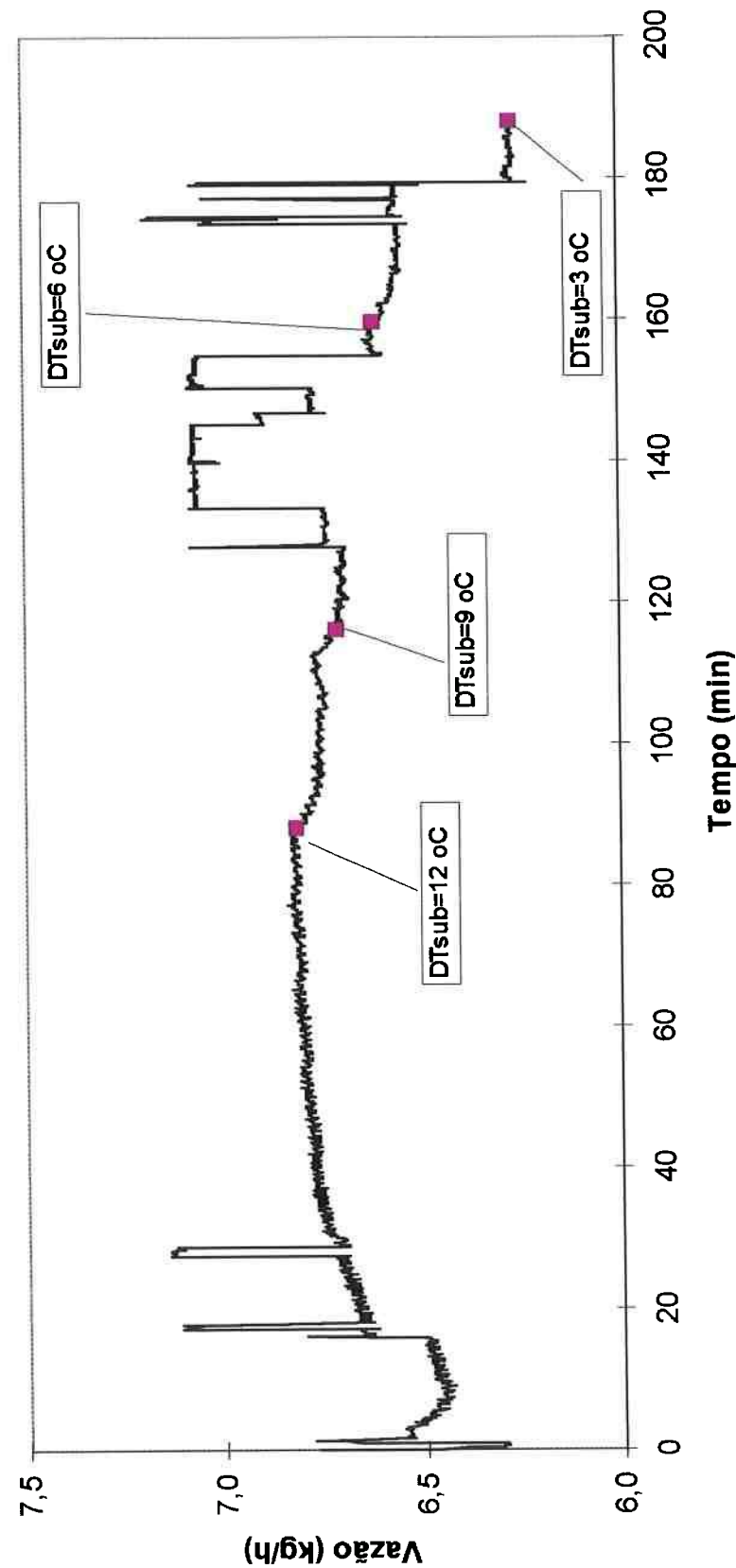


Figura 5.53. Gráfico da evolução da vazão ao longo do ensaio (tubo capilar não adiabático, HFC-134a, ensaio NAD140).

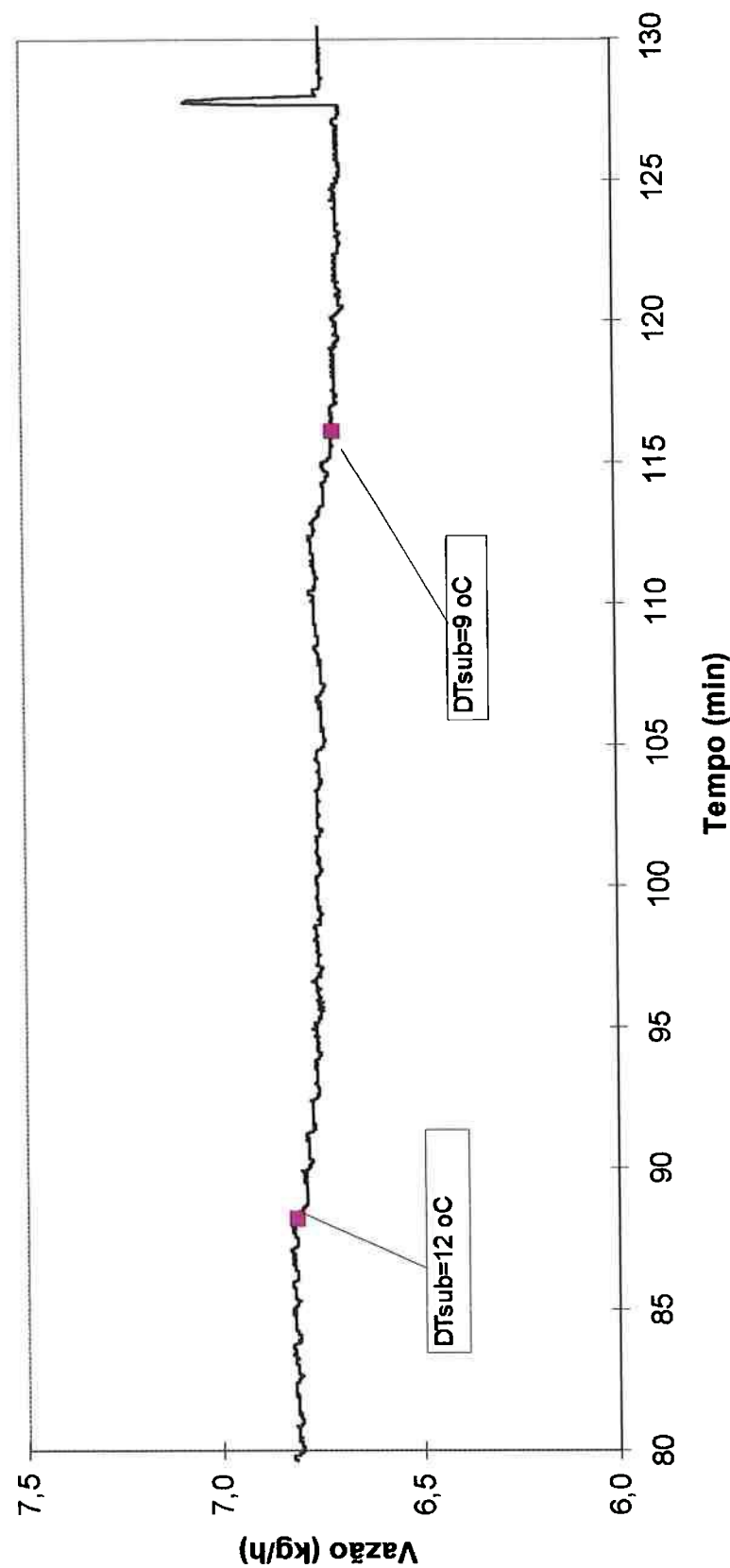


Figura 5.54. Gráfico ampliado da evolução da vazão ao longo do ensaio (tubo capilar não adiabático, HFC-134a, ensaio NAD140). Período de tempo considerado: transitório para obtenção do ponto com 9 °C de subresfriamento.

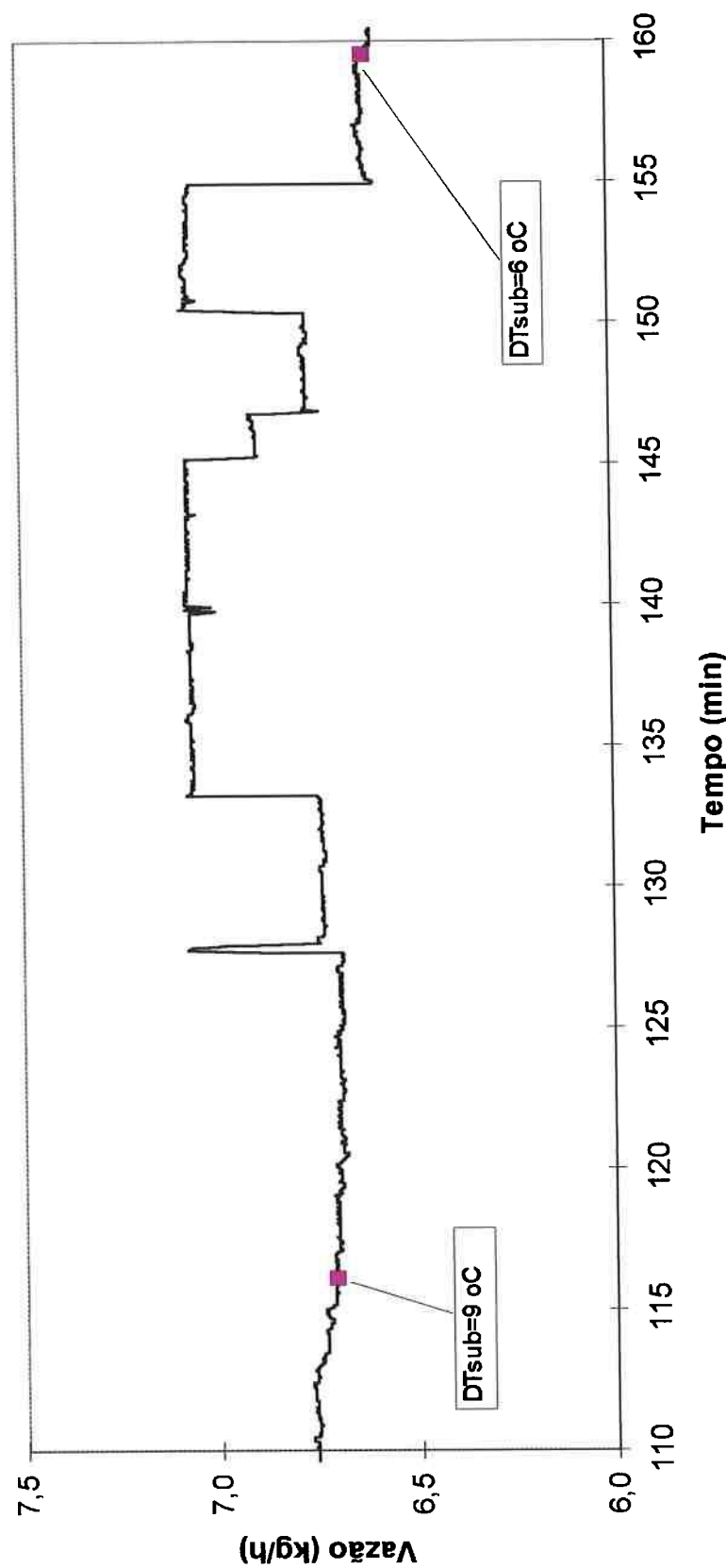


Figura 5.55. Gráfico ampliado da evolução da vazão ao longo do ensaio (tubo capilar não adiabático, HFC-134a, ensaio NAD140). Período de tempo considerado: transitorio para obtenção do ponto com 6°C de subresfriamento.

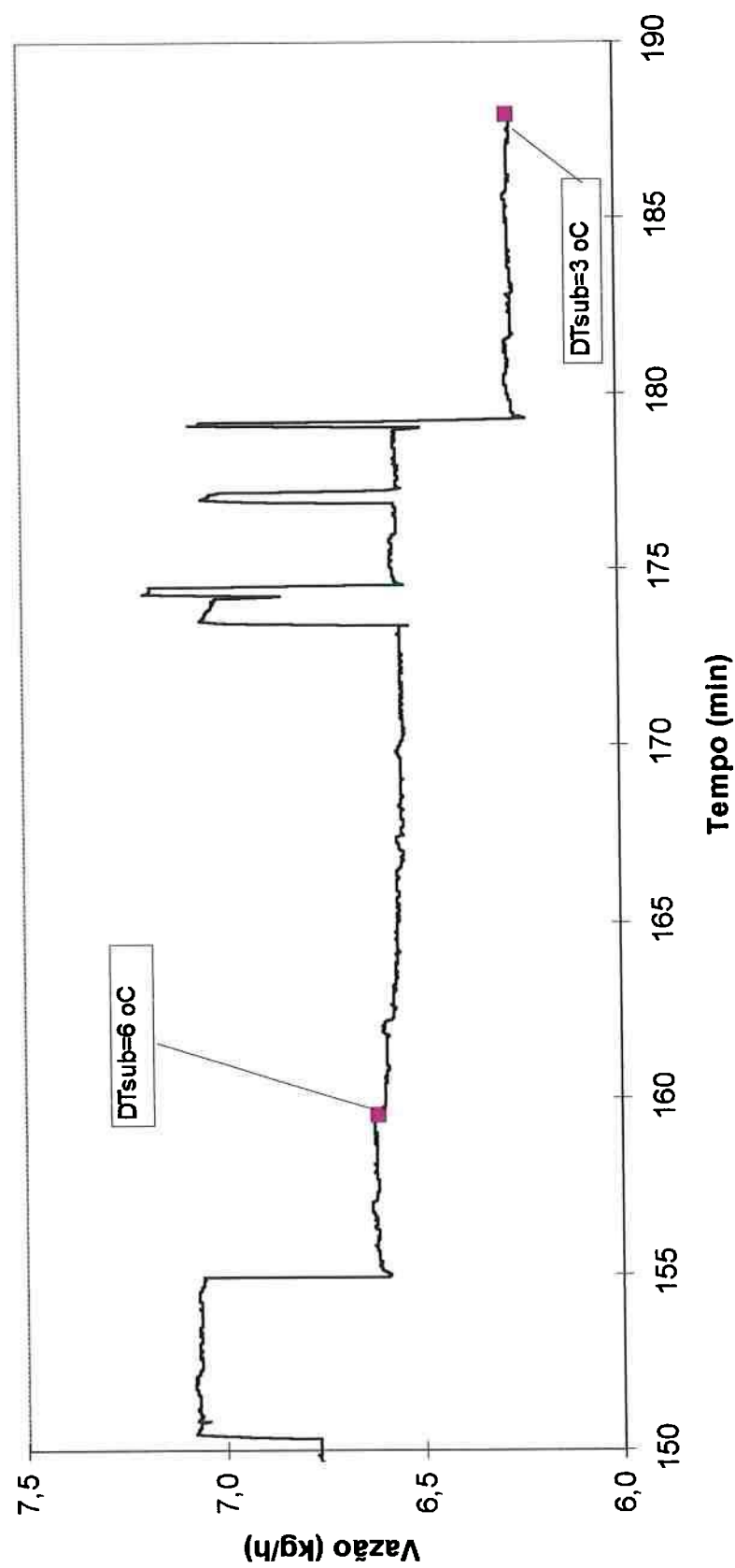


Figura 5.56. Gráfico ampliado da evolução da vazão ao longo do ensaio (tubo capilar não adiabático, HFC-134a, ensaio NAD140). Período de tempo considerado: transitorio para obtenção do ponto com 3 °C de subresfriamento.

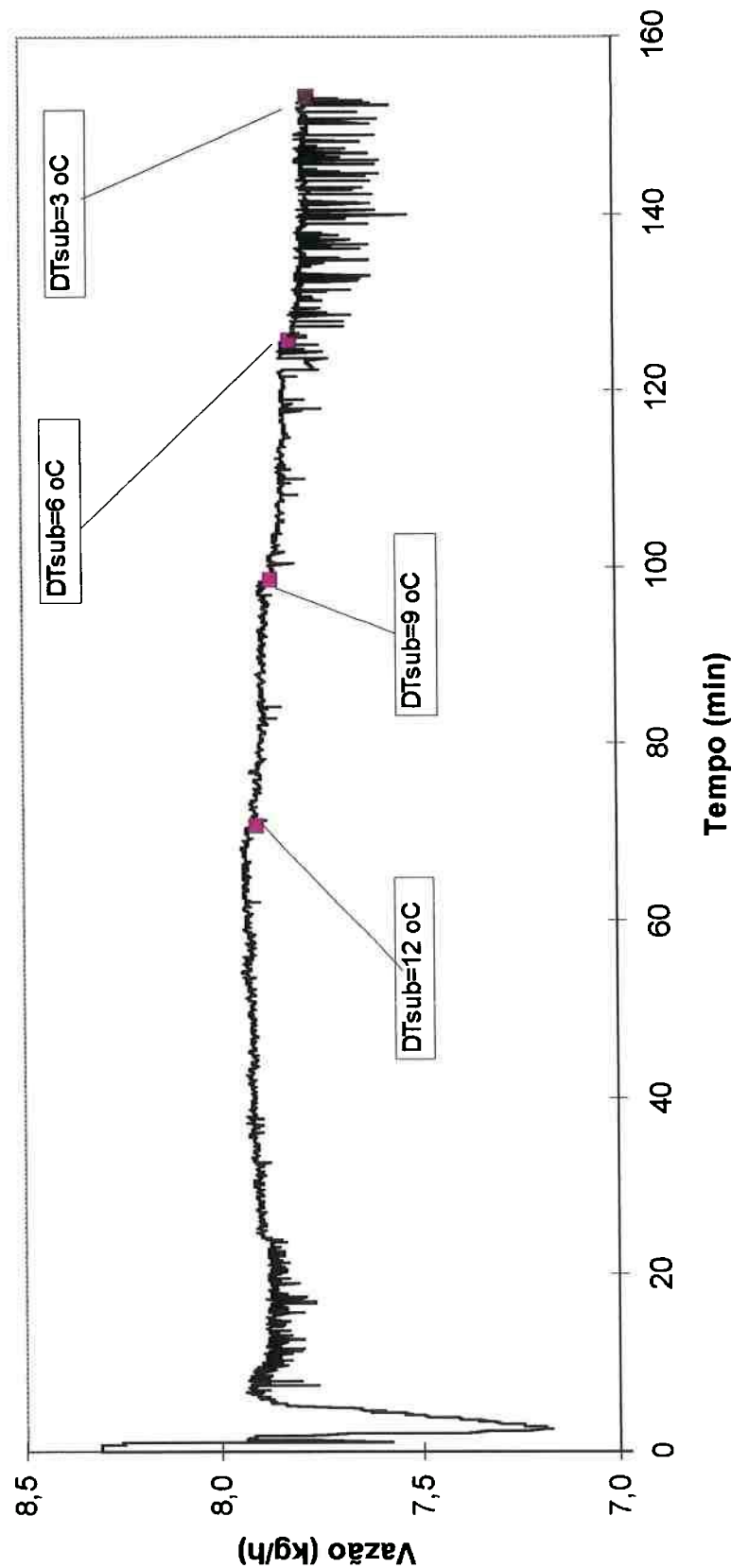


Figura 5.57. Gráfico da evolução da vazão ao longo do ensaio (tubo capilar não adiabático, HFC-134a, ensaio NAD155).

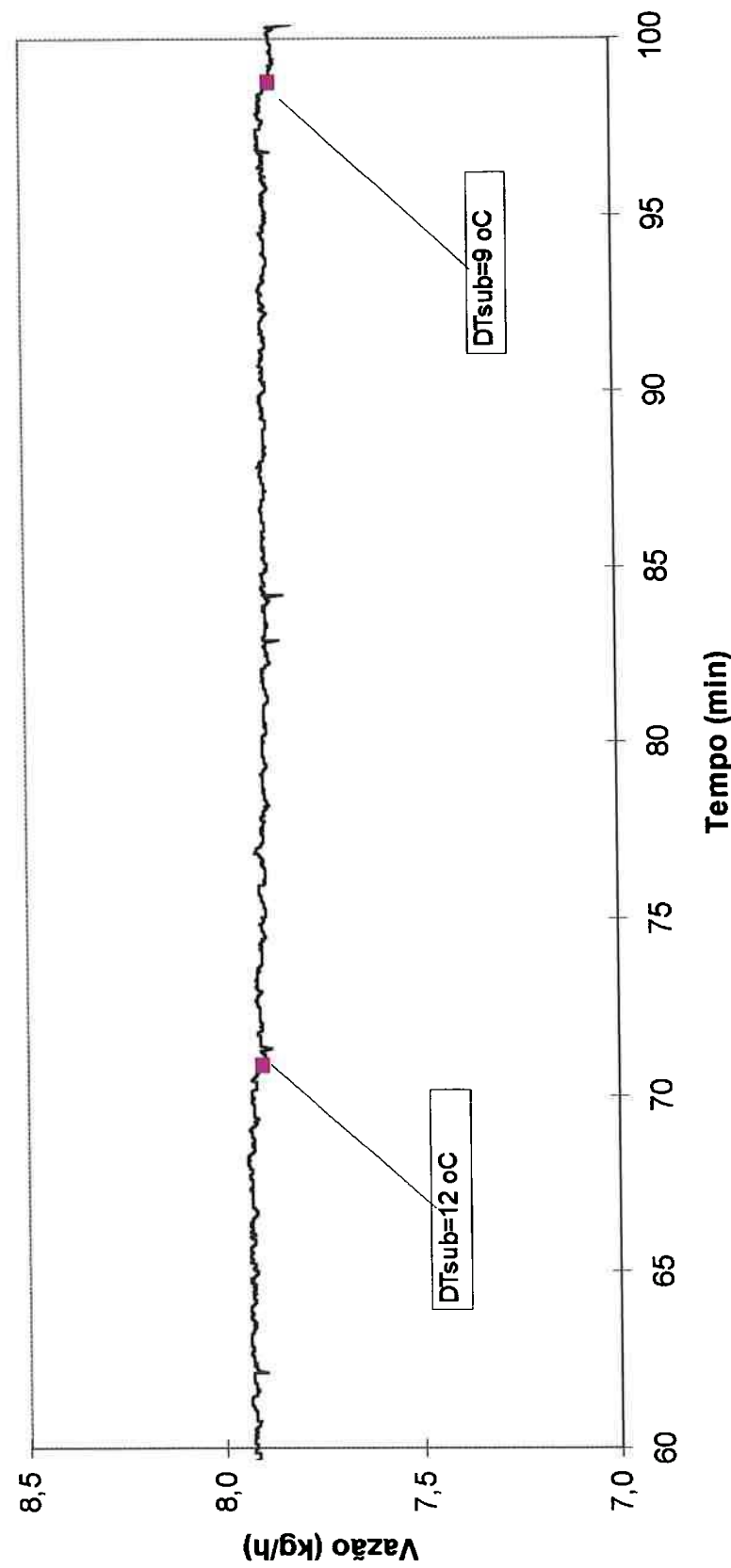


Figura 5.58. Gráfico ampliado da evolução da vazão ao longo do ensaio (tubo capilar não adiabático, HFC-134a, ensaio NAD155). Período de tempo considerado: transitorio para obtenção do ponto com 9°C de subresfriamento.

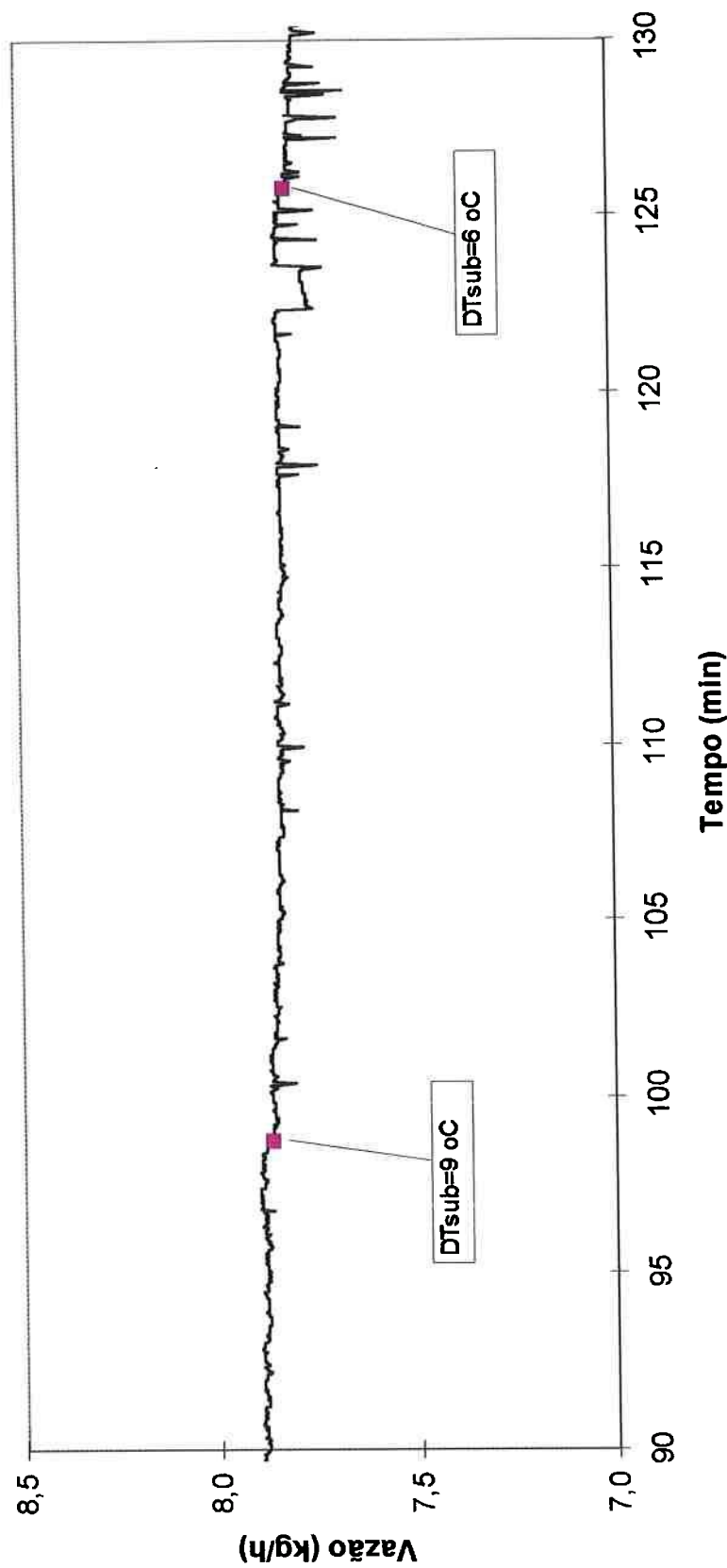


Figura 5.59. Gráfico ampliado da evolução da vazão ao longo do ensaio (tubo capilar não adiábitico, HFC-134a, ensaio NAD155). Período de tempo considerado: transitório para obtenção do ponto com 6°C de subresfriamento.

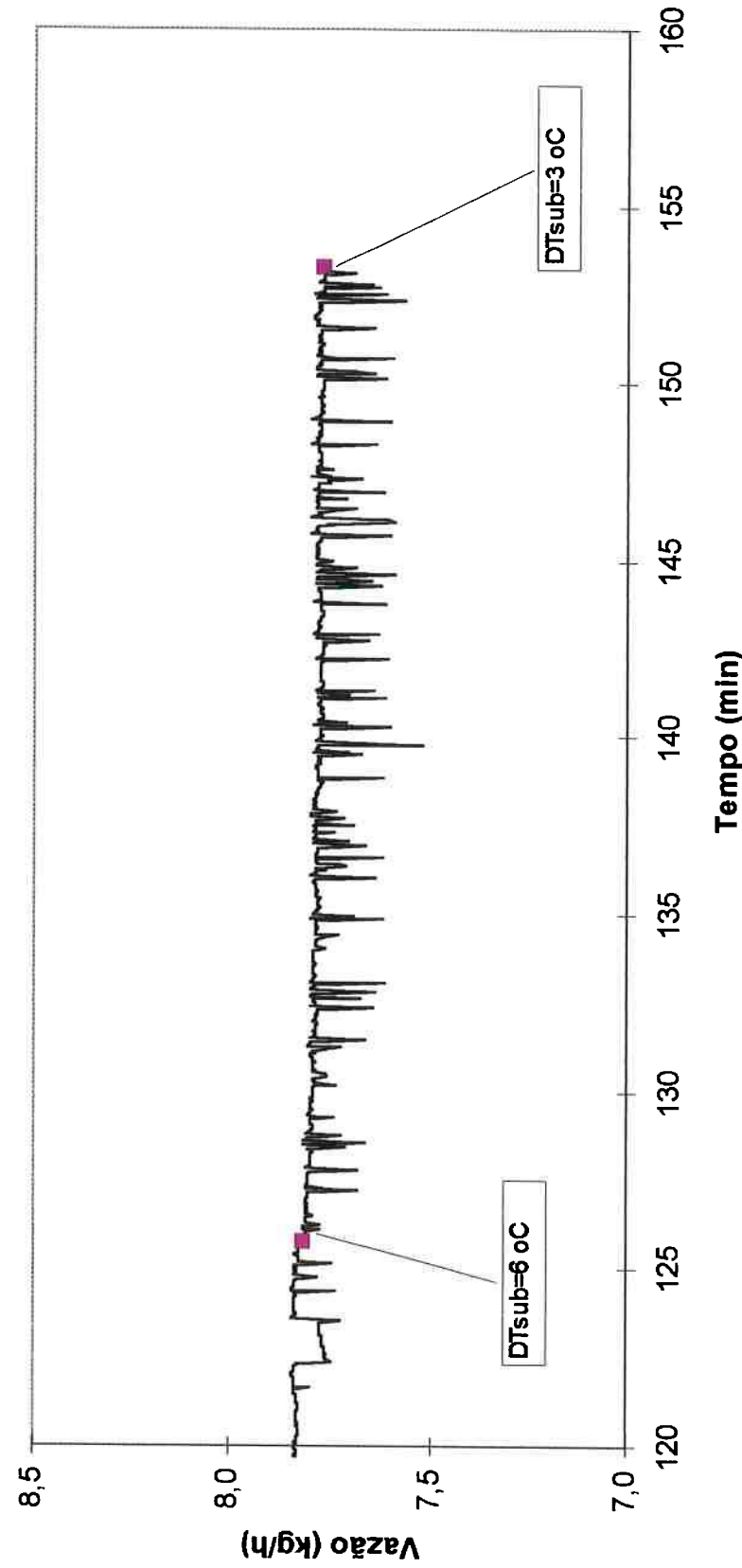


Figura 5.60. Gráfico ampliado da evolução da vazão ao longo do ensaio (tubo capilar não adiabático, HFC-134a, ensaio NAD155). Período de tempo considerado: transitório para obtenção do ponto com 3°C de subresfriamento.

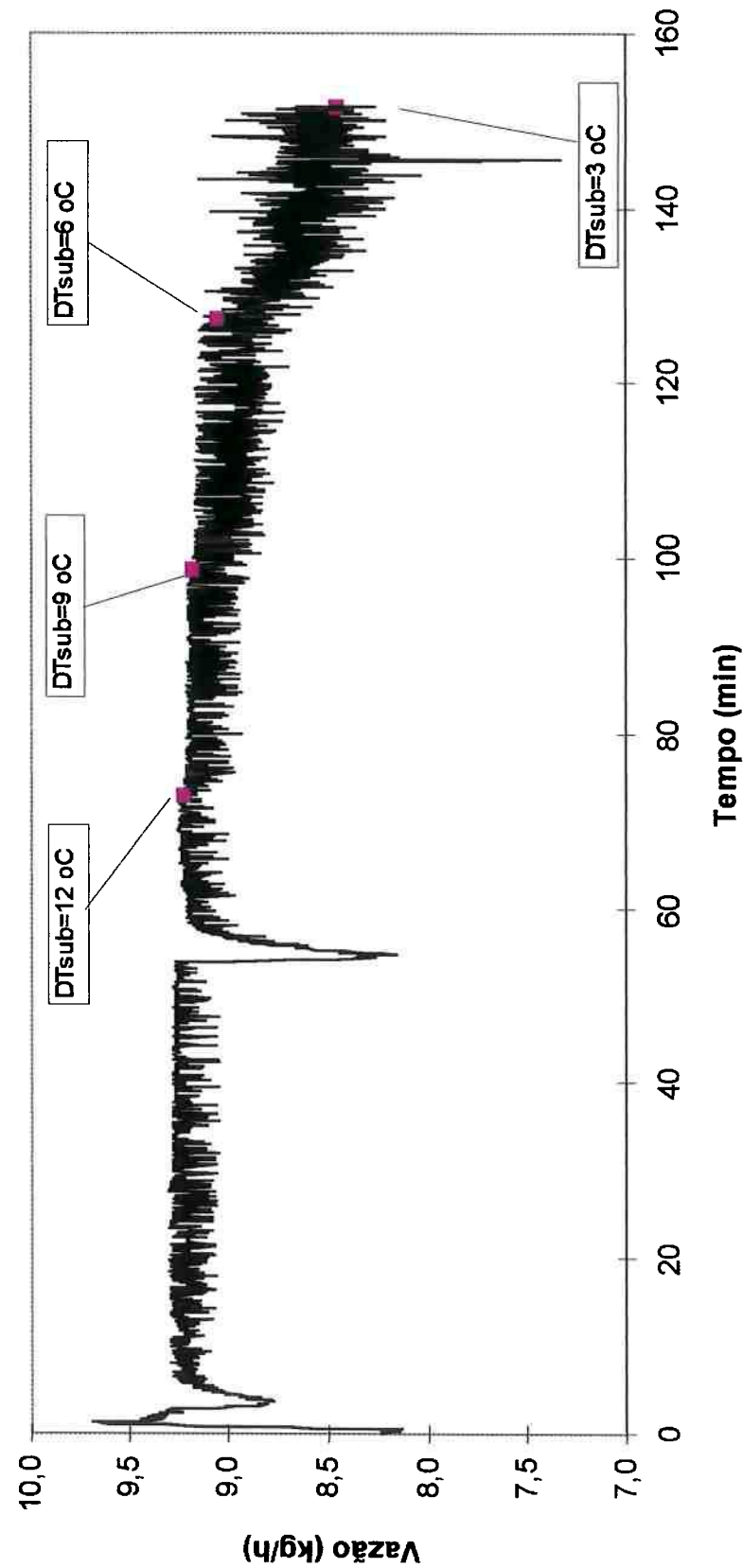


Figura 5.61. Gráfico da evolução da vazão ao longo do ensaio (tubo capilar não adiabático, HFC-134a, ensaio NAD159).

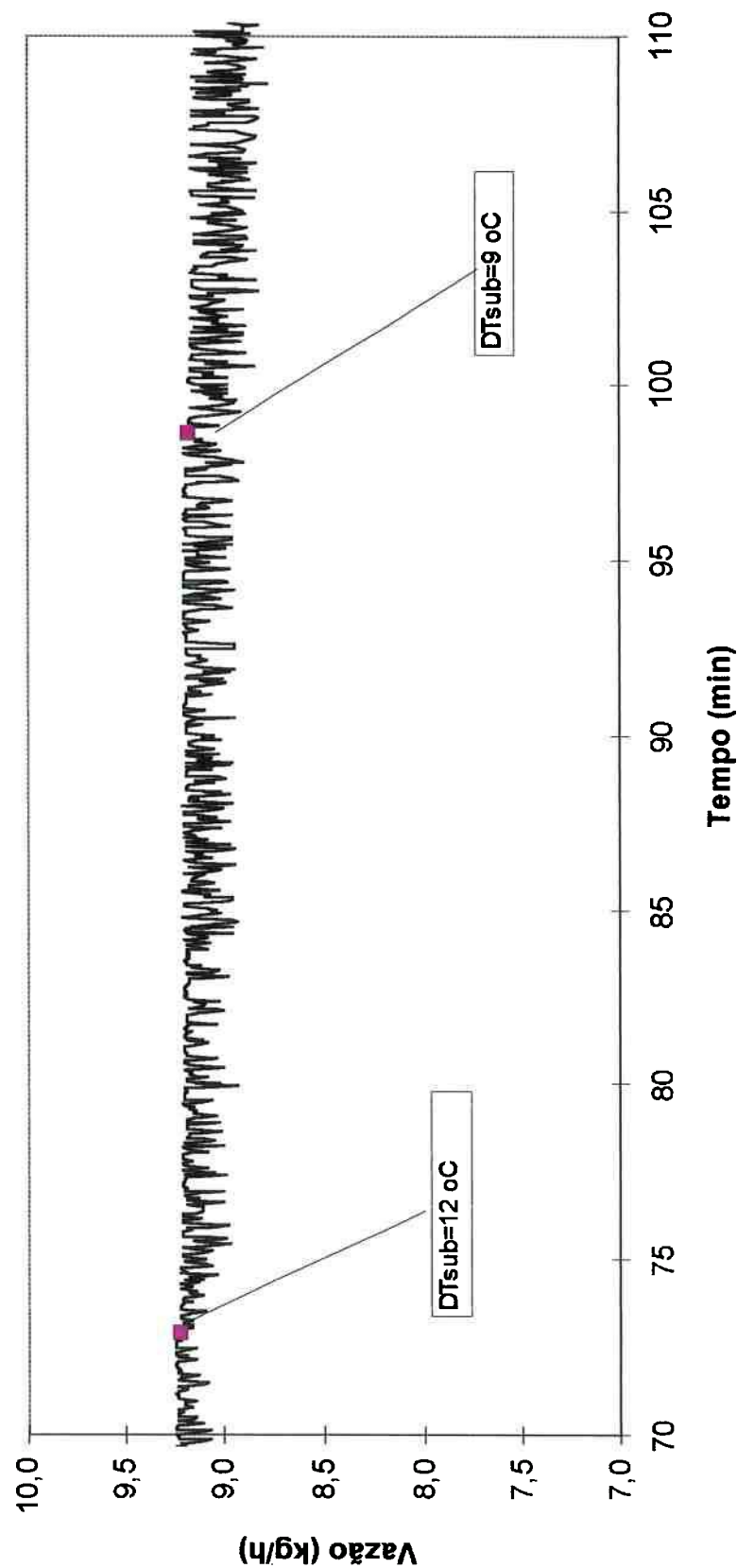


Figura 5.62. Gráfico ampliado da evolução da vazão ao longo do ensaio (tubo capilar não adiabático, HFC-134a, ensaio NADI159). Período de tempo considerado: transitório para obtenção do ponto com 9°C de subresfriamento.

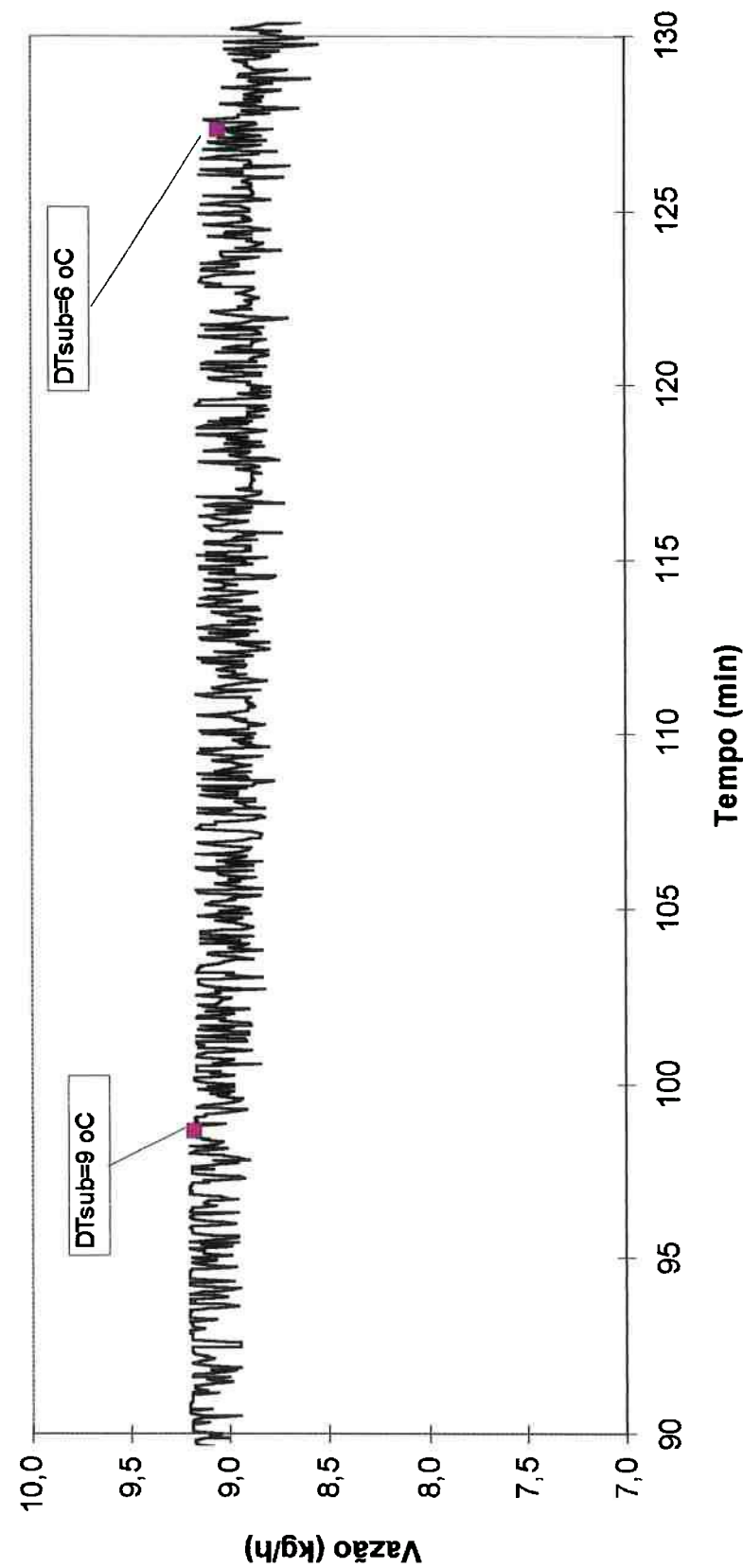


Figura 5.63. Gráfico ampliado da evolução da vazão ao longo do ensaio (tubo capilar não adiabático, HFC-134a, ensaio NAD159). Período de tempo considerado: transitorio para obtenção do ponto com 6°C de subresfriamento.

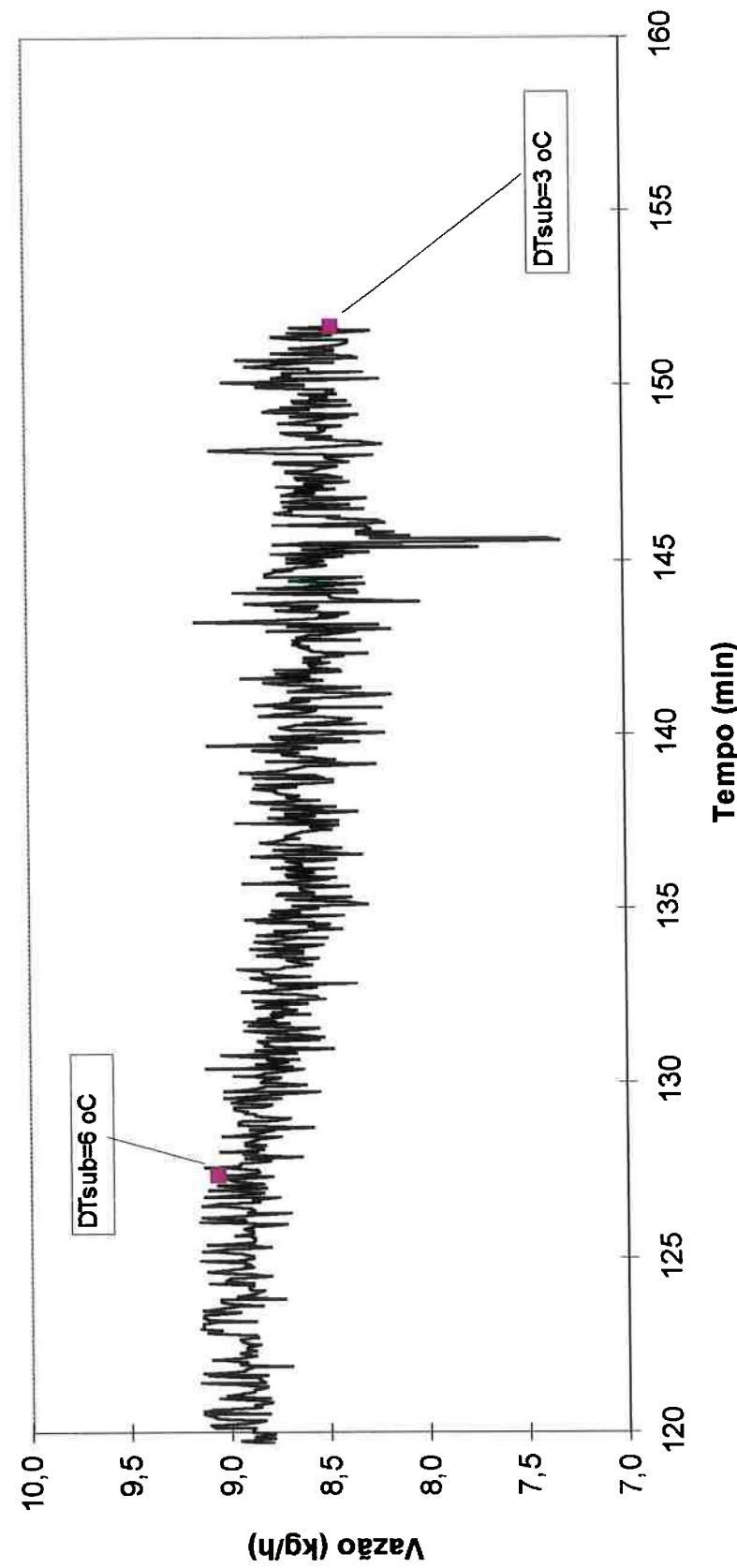


Figura 5.64. Gráfico ampliado da evolução da vazão ao longo do ensaio (tubo capilar não adiabático, HFC-134a, ensaio NAD159). Período de tempo considerado: transitório para obtenção do ponto com 3°C de subresfriamento.

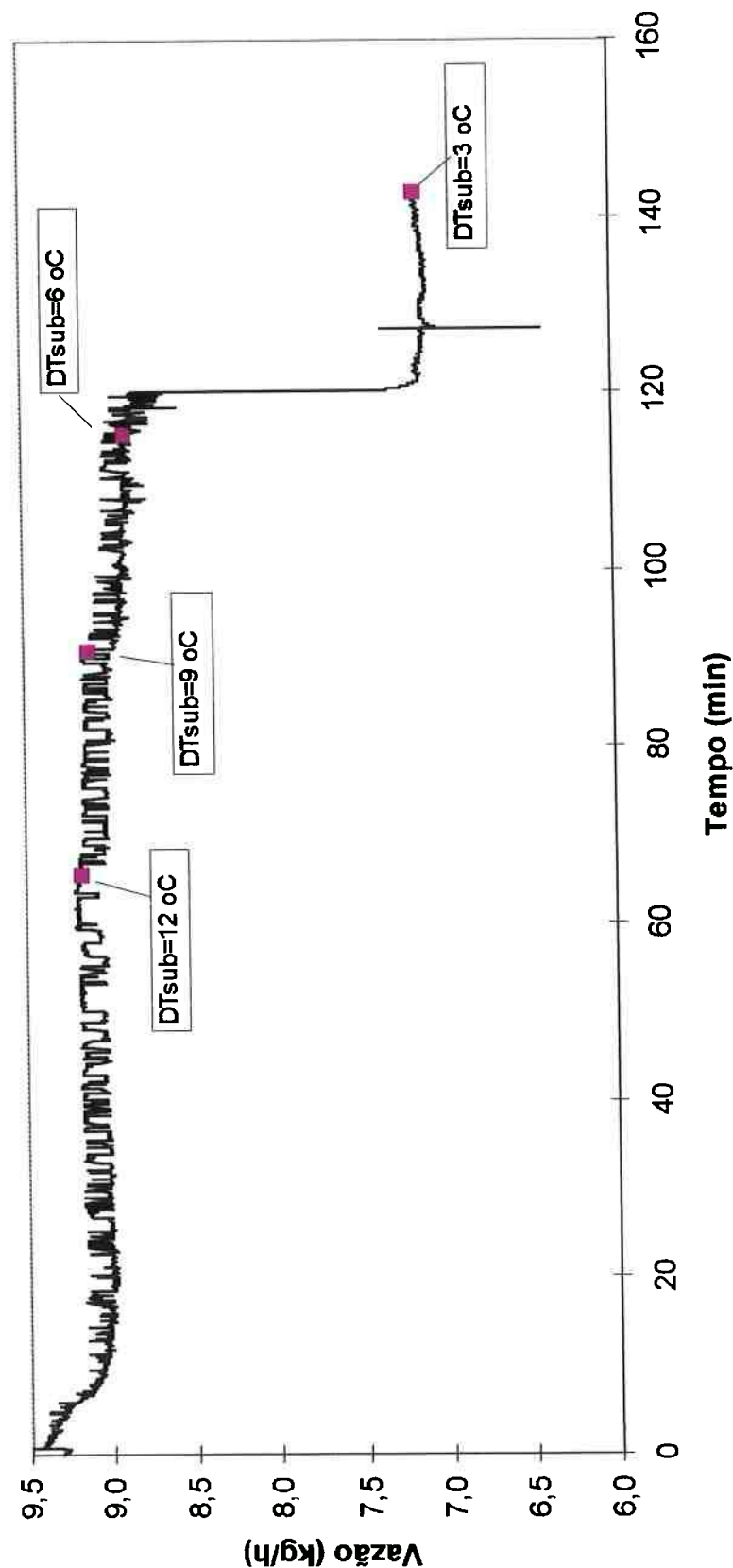


Figura 5.65. Gráfico da evolução da vazão ao longo do ensaio (tubo capilar não adiabático, HFC 134a, ensaio NAD162).

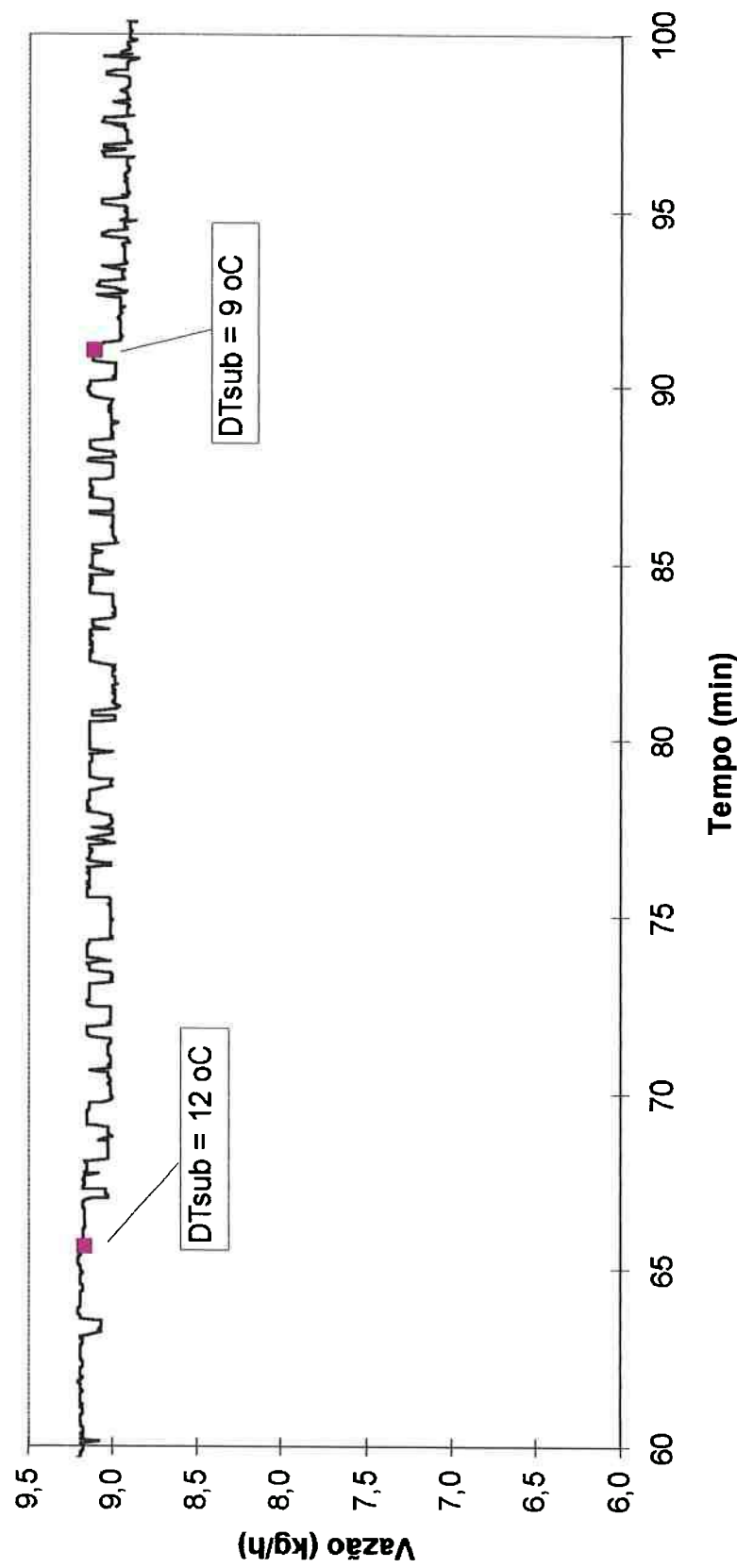


Figura 5.66. Gráfico ampliado da evolução da vazão ao longo do ensaio (tubo capilar não adiabático, HFC 134a, ensaio NAD162). Período de tempo considerado: transitório para obtenção do ponto com 9 °C de subresfriamento.

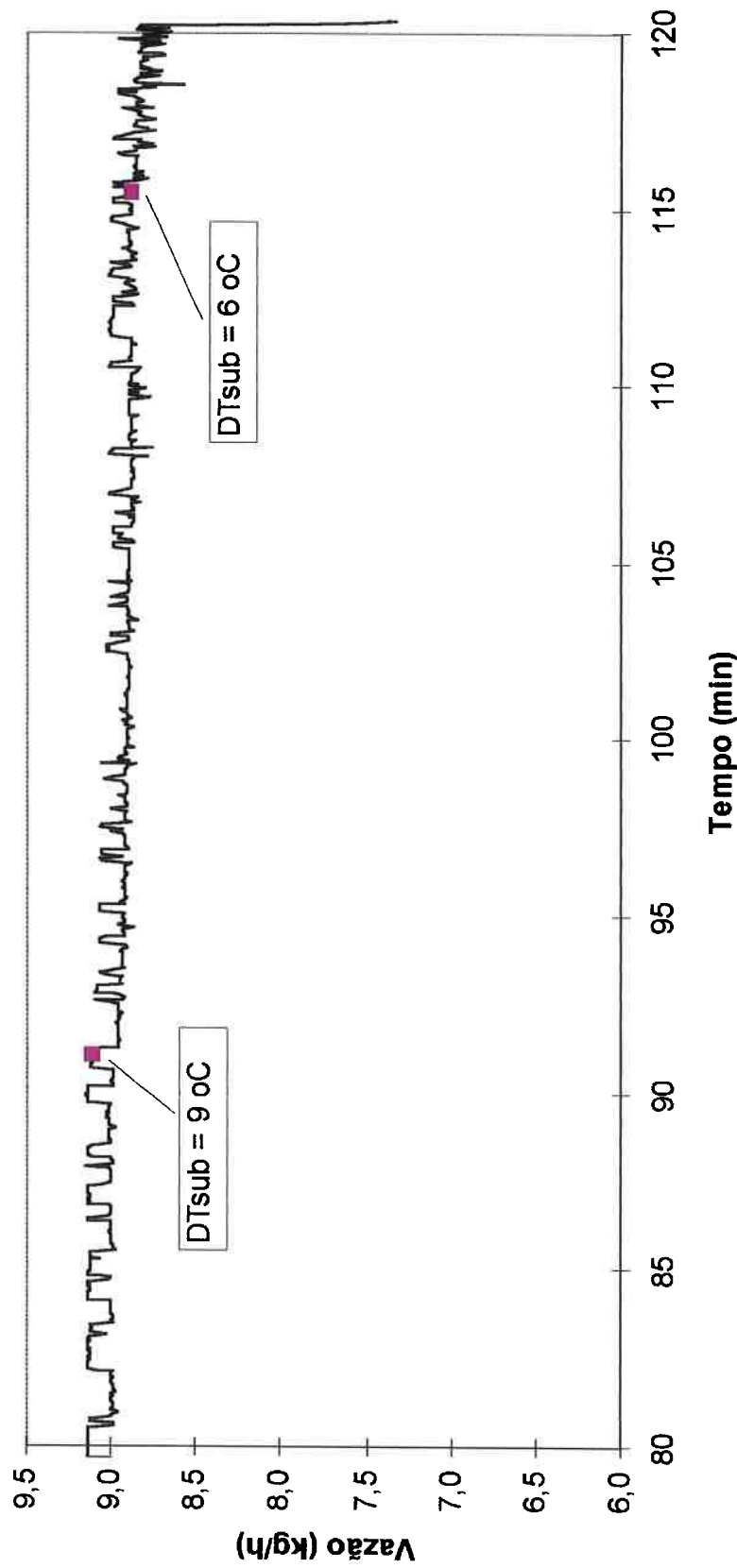


Figura 5.67. Gráfico ampliado da evolução da vazão ao longo do ensaio (tubo capilar não adiabático, HFC 134a, ensaio NAD162). Período de tempo considerado: transitório para obtenção do ponto com 6 °C de subresfriamento.

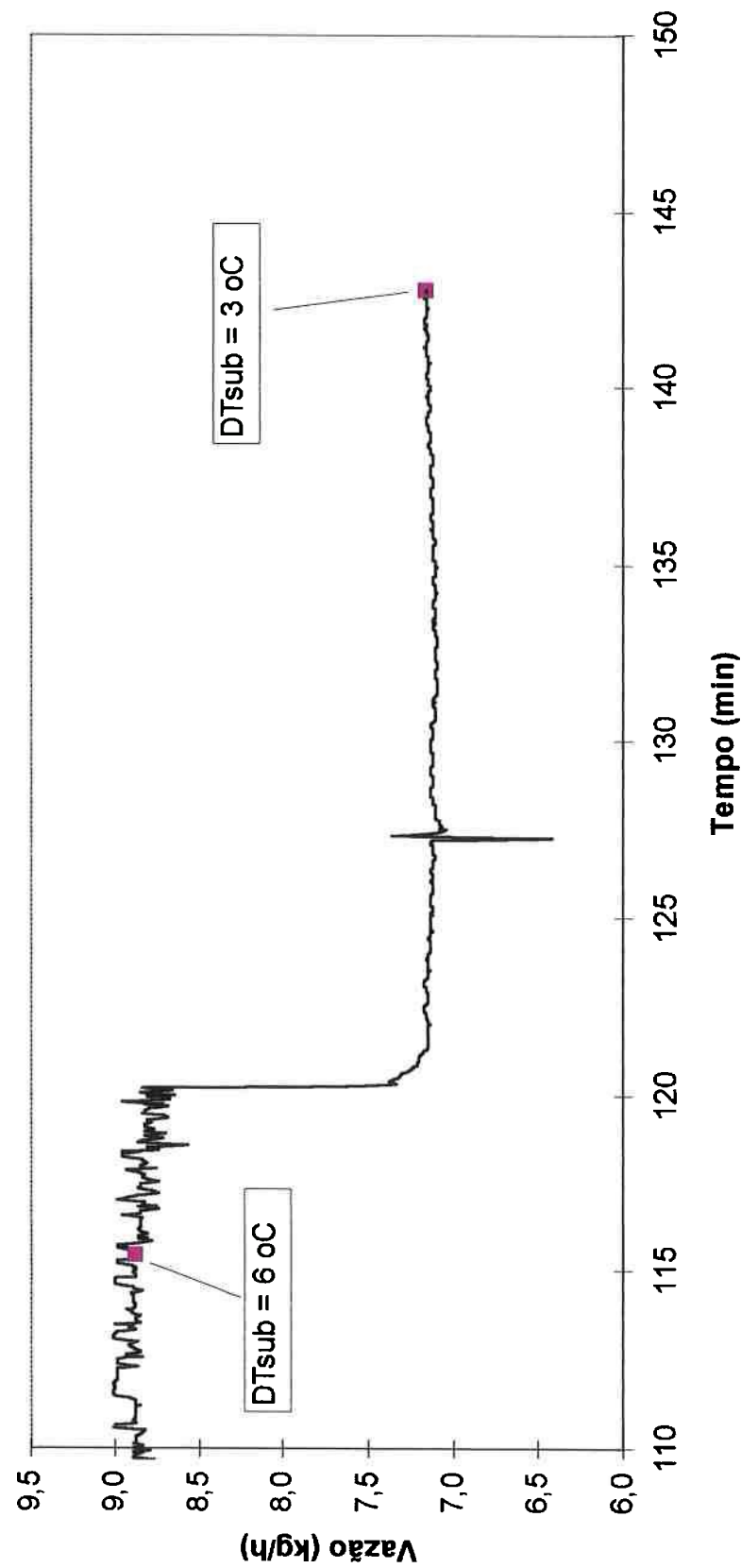
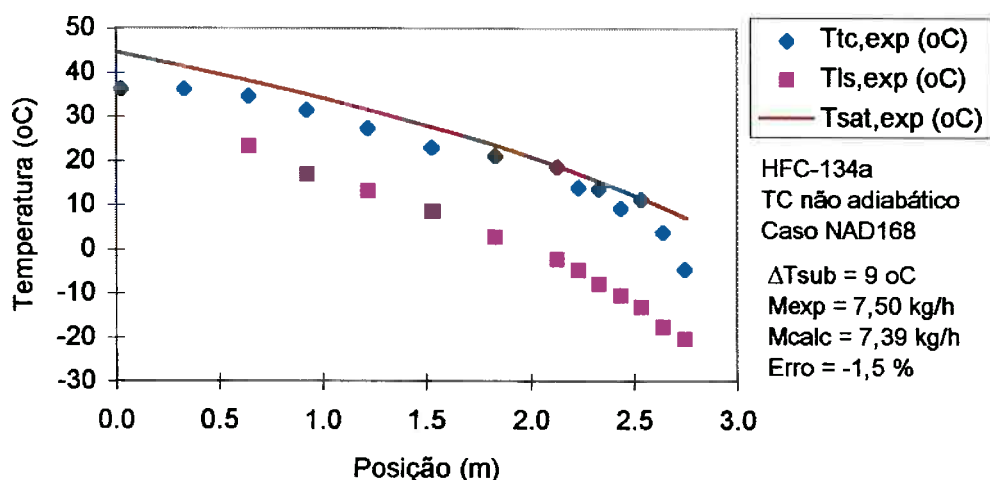
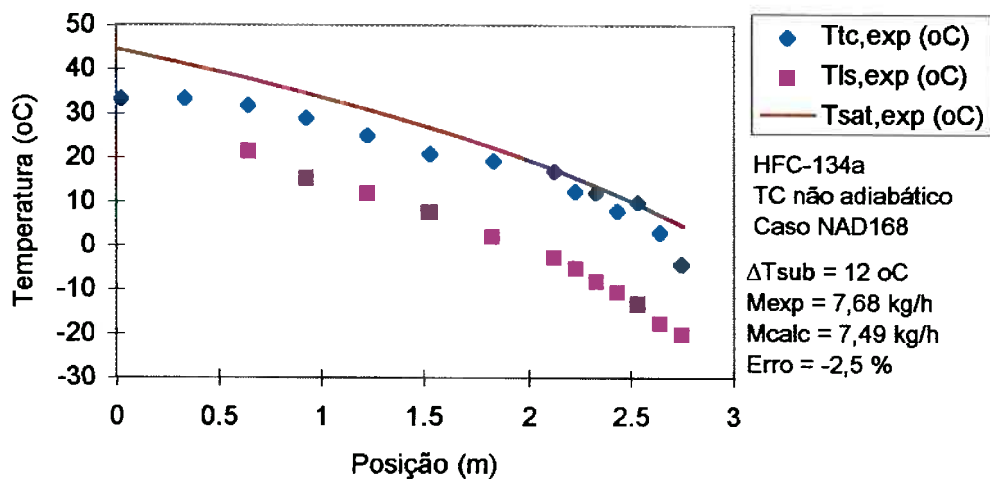


Figura 5.68. Gráfico ampliado da evolução da vazão ao longo do ensaio (tubo capilar não adiabático, HFC 134a, ensaio NAD162). Período de tempo considerado: transitório para obtenção do ponto com 3°C de subresfriamento.



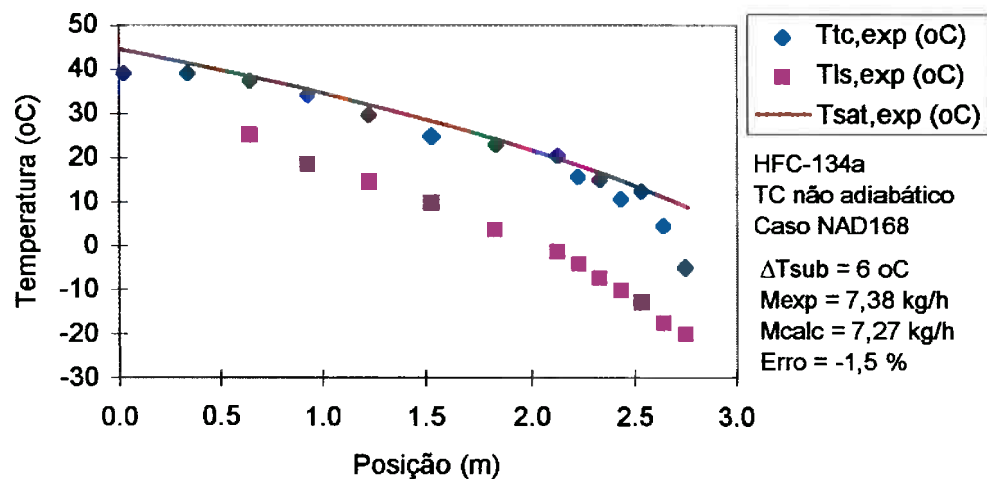


Figura 5.71. Perfis medidos de temperatura

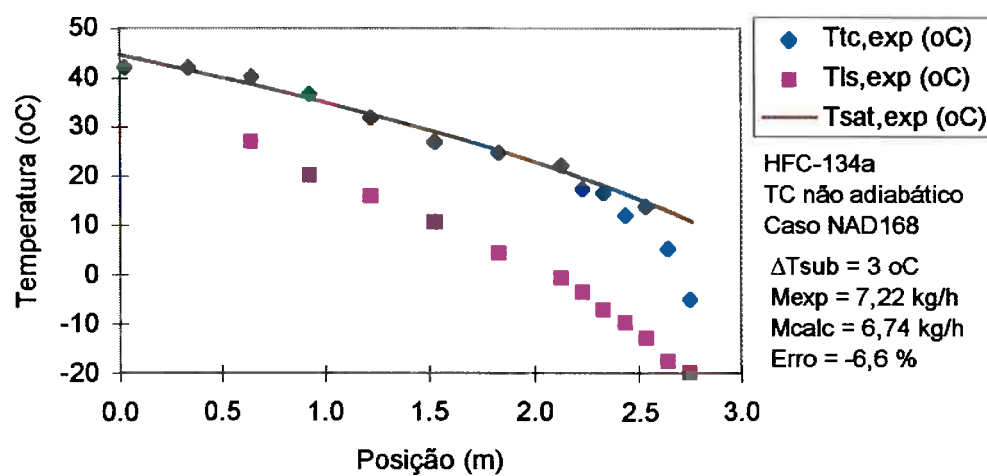


Figura 5.72. Perfis medidos de temperatura

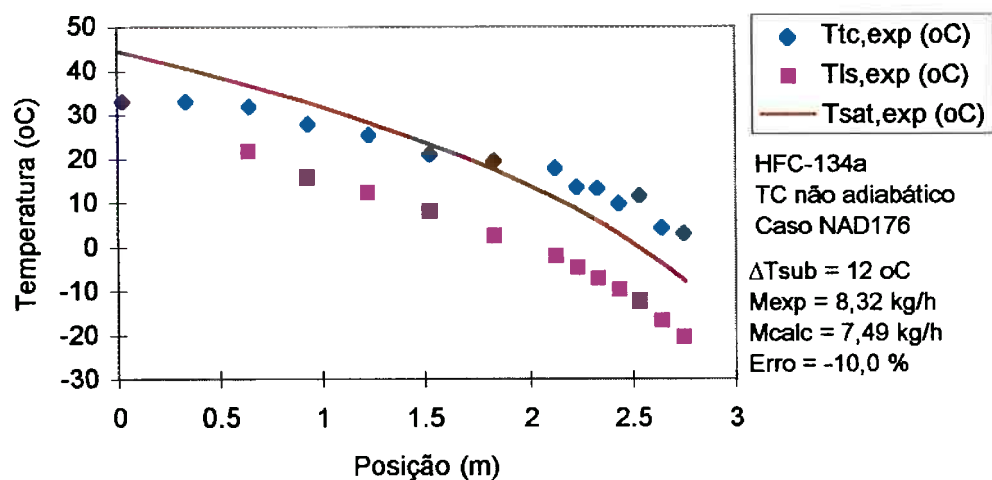


Figura 5.73. Perfis medidos de temperatura

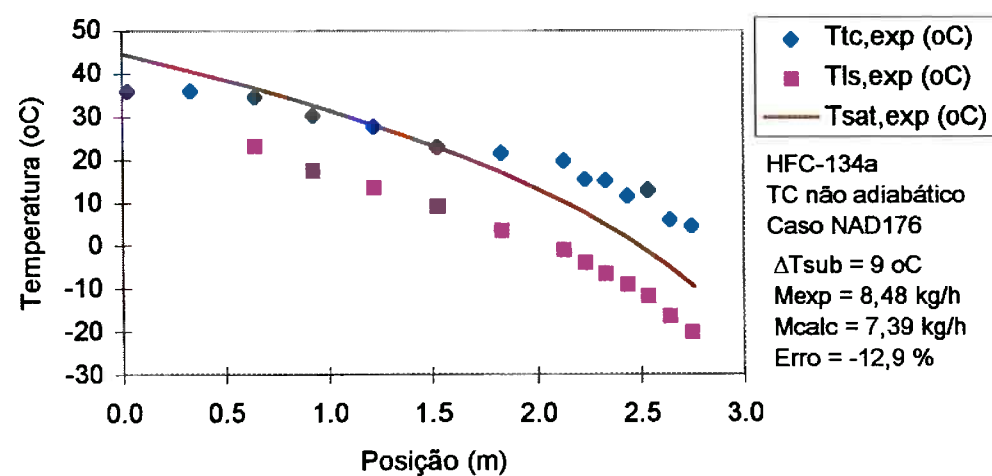


Figura 5.74. Perfis medidos de temperatura

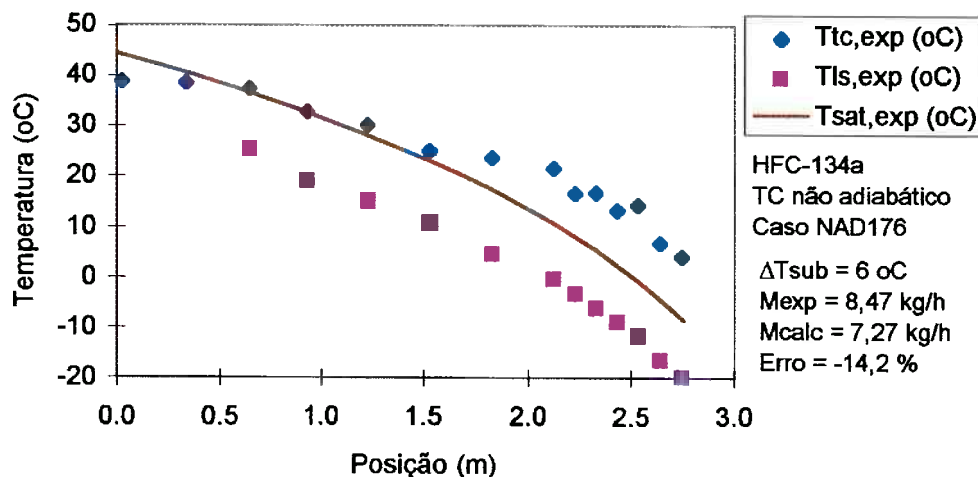


Figura 5.75. Perfis medidos de temperatura

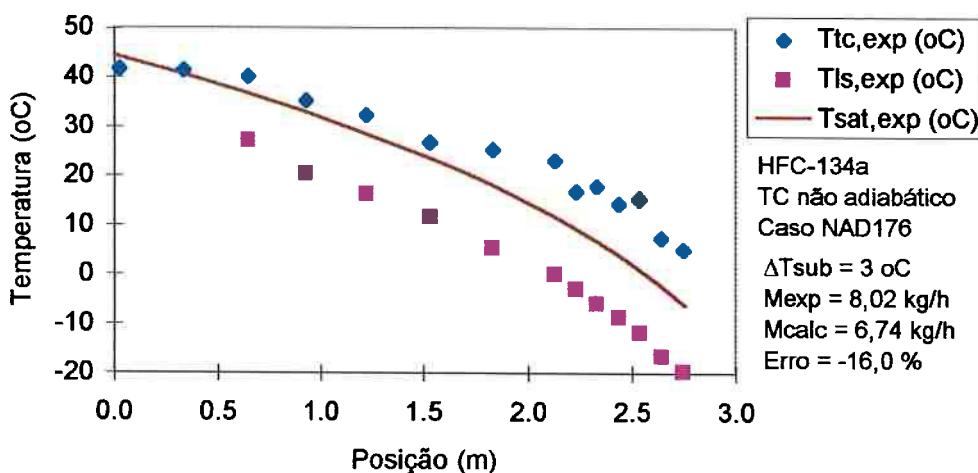
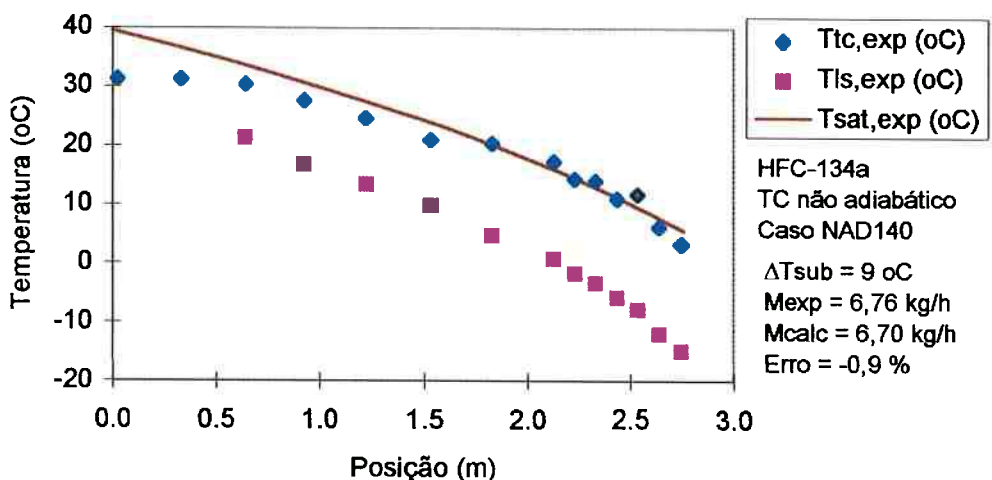
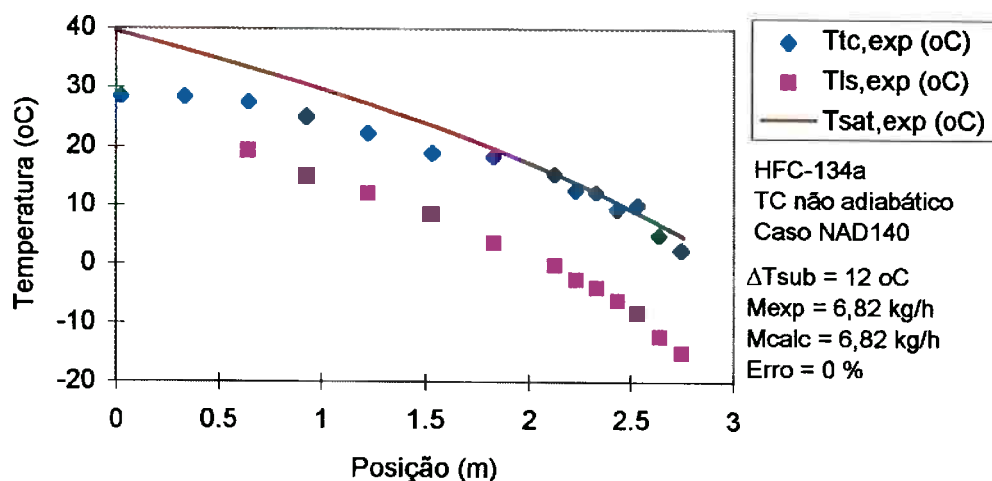
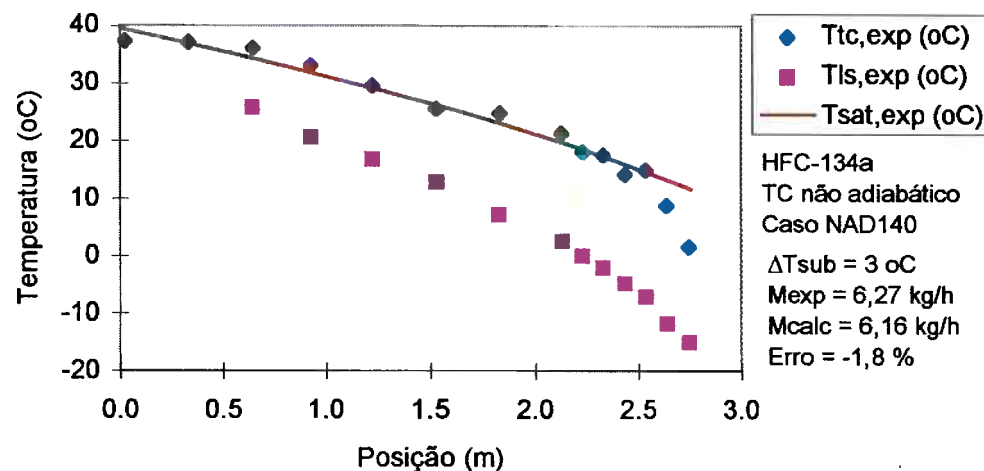
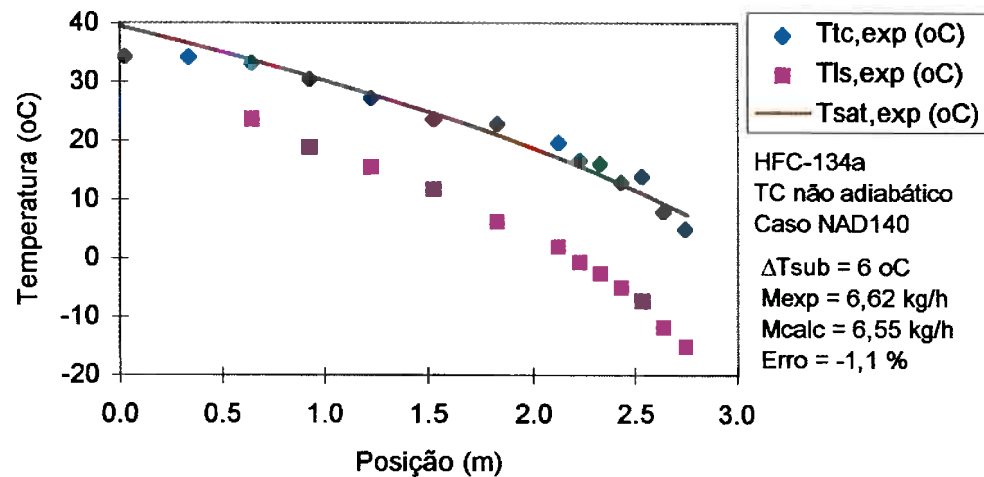


Figura 5.76. Perfis medidos de temperatura





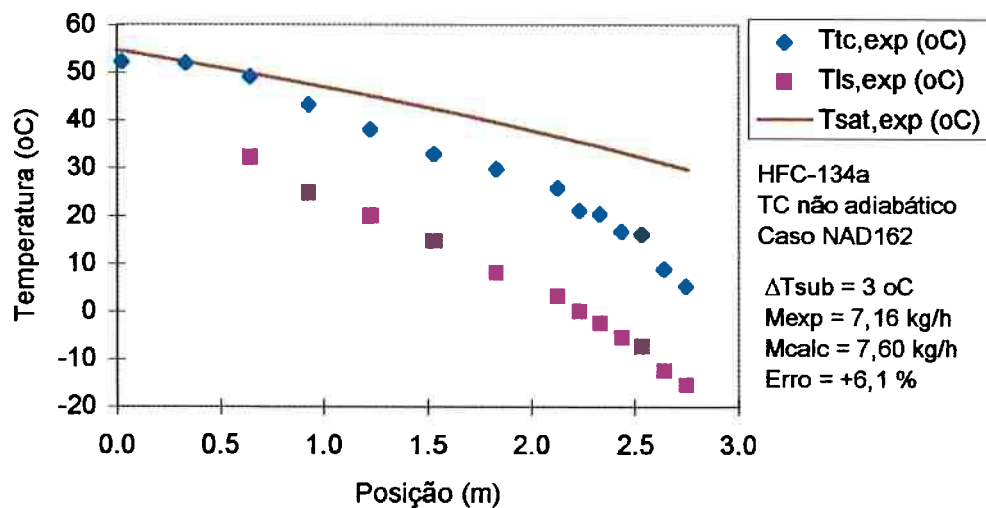
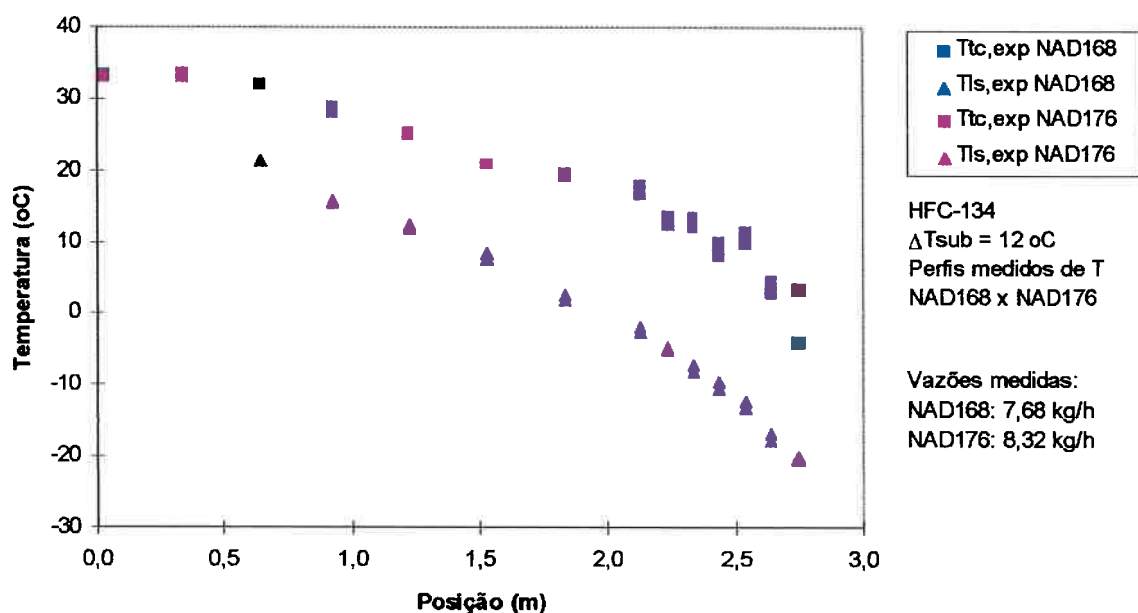


Figura 5.81. Perfis medidos de temperatura

Figura 5.82. Perfis medidos de temperatura dos ensaios NAD176 e NAD168 para $\Delta T_{sub} = 12 \text{ }^{\circ}\text{C}$.

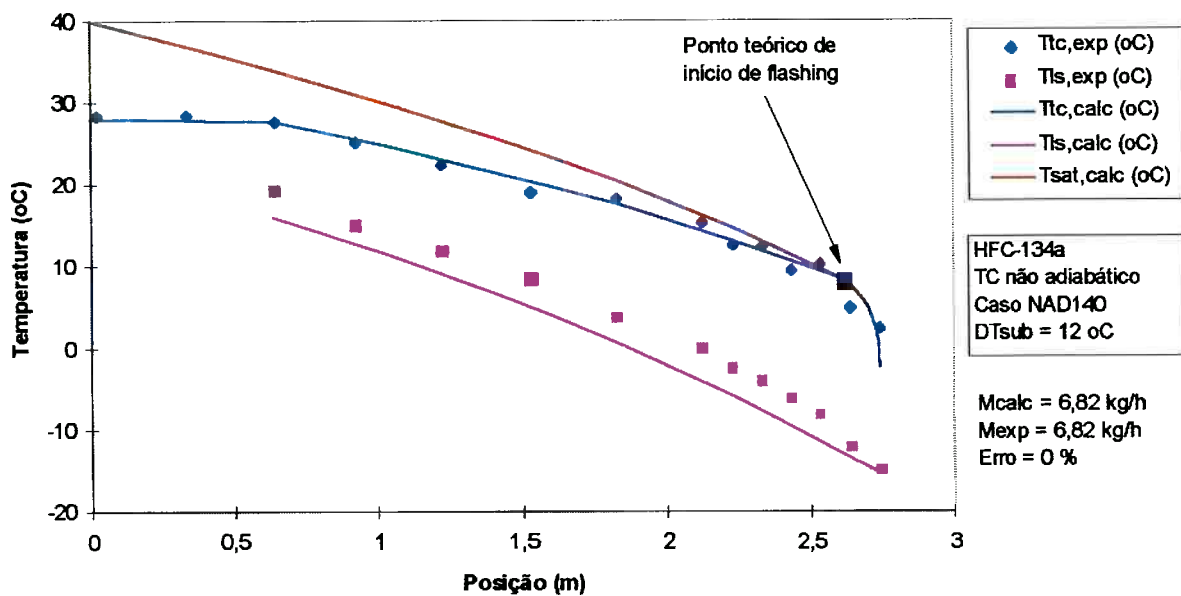


Figura 5.83. Perfis medidos e calculados de temperatura para o ensaio NAD140. Tubo capilar não adiabático, HFC-134a, $\Delta T_{sub} = 12 \text{ }^{\circ}\text{C}$.

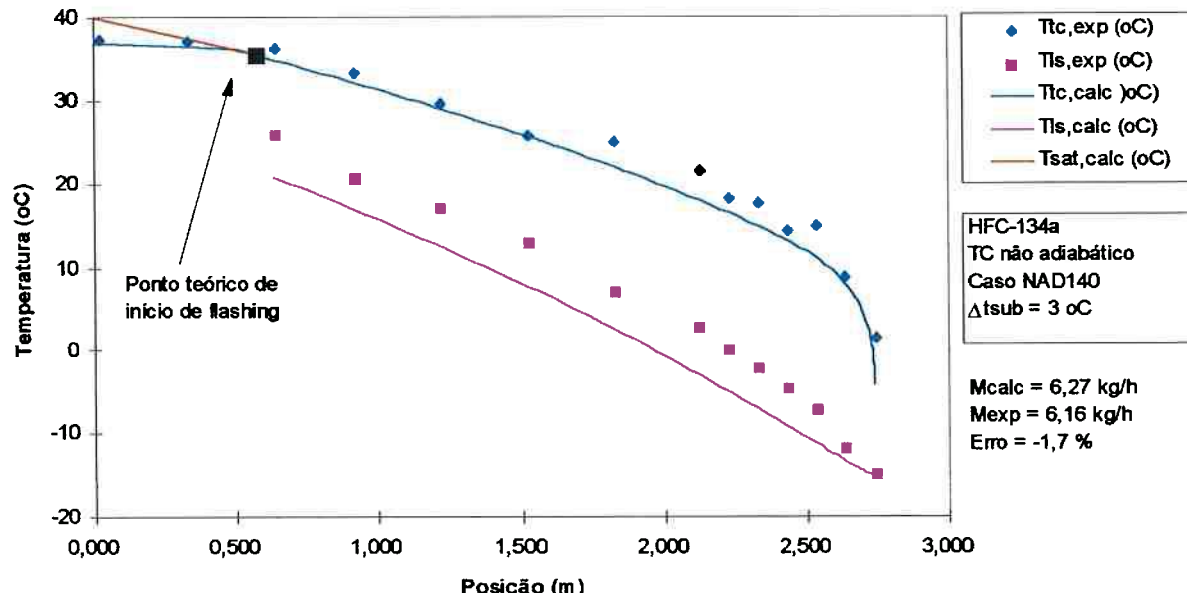


Figura 5.84. Perfis medidos e calculados de temperatura para o ensaio NAD140. Tubo capilar não adiabático, HFC-134a, $\Delta T_{sub} = 30\text{C}$.

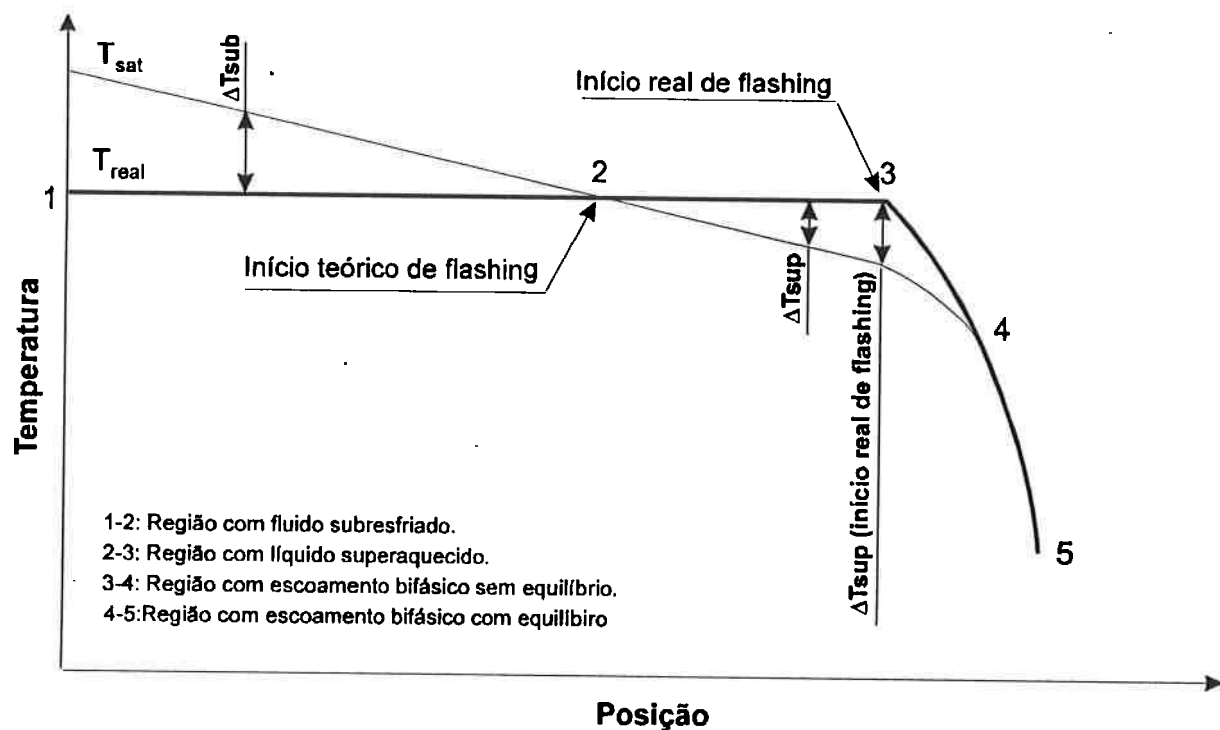


Figura 5.85. Perfis típicos de temperatura ao longo de tubo capilar adiabático.

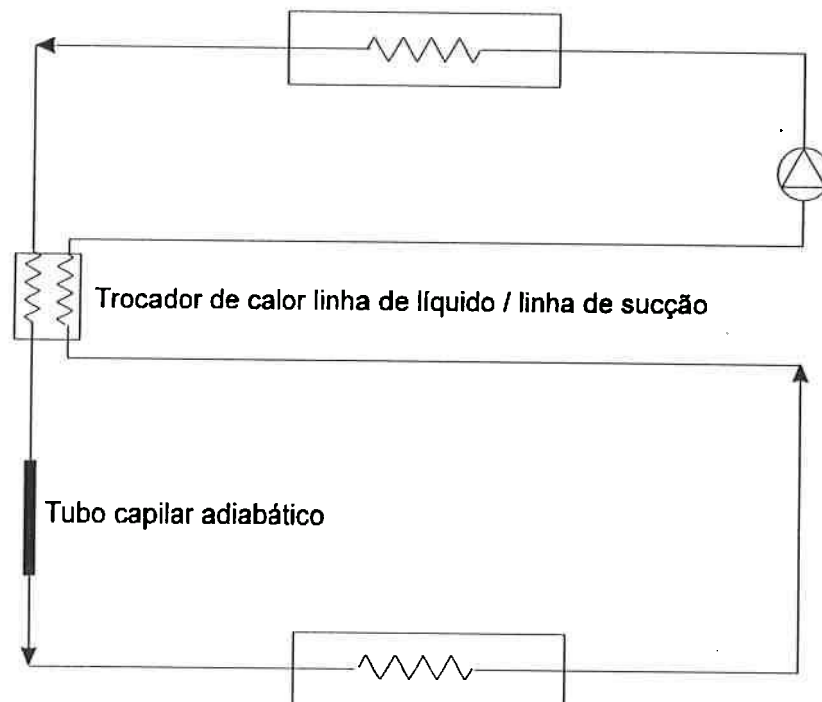


Figura 5.86. Circuito proposto com trocador de calor linha de líquido - linha de sucção e tubo capilar adiabático independente.

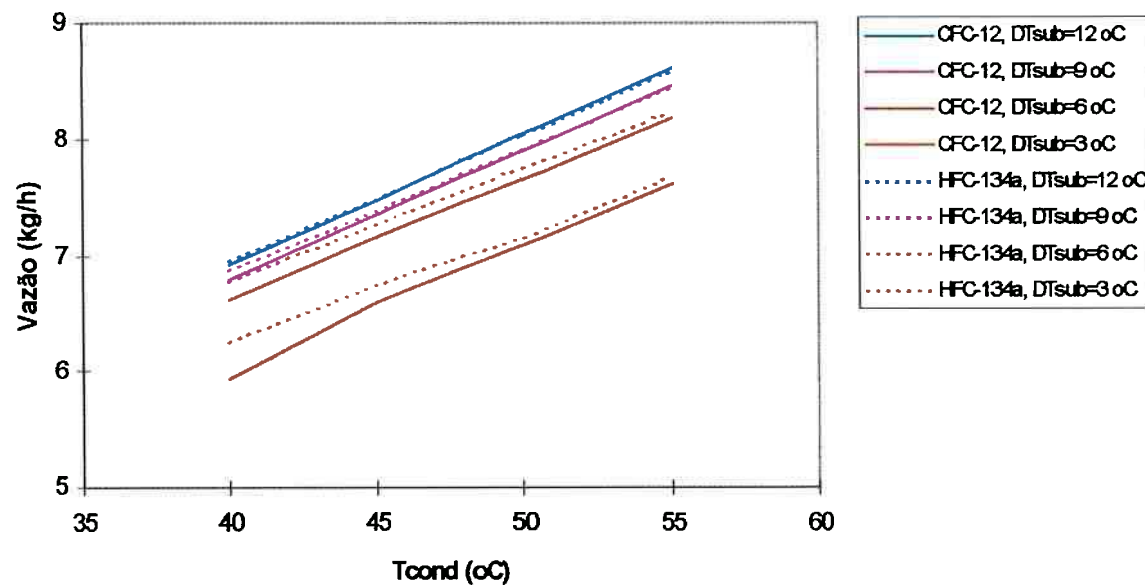


Figura 5.87. Efeito da temperatura de condensação sobre a vazão mássica no tubo capilar, condição não adiabática.

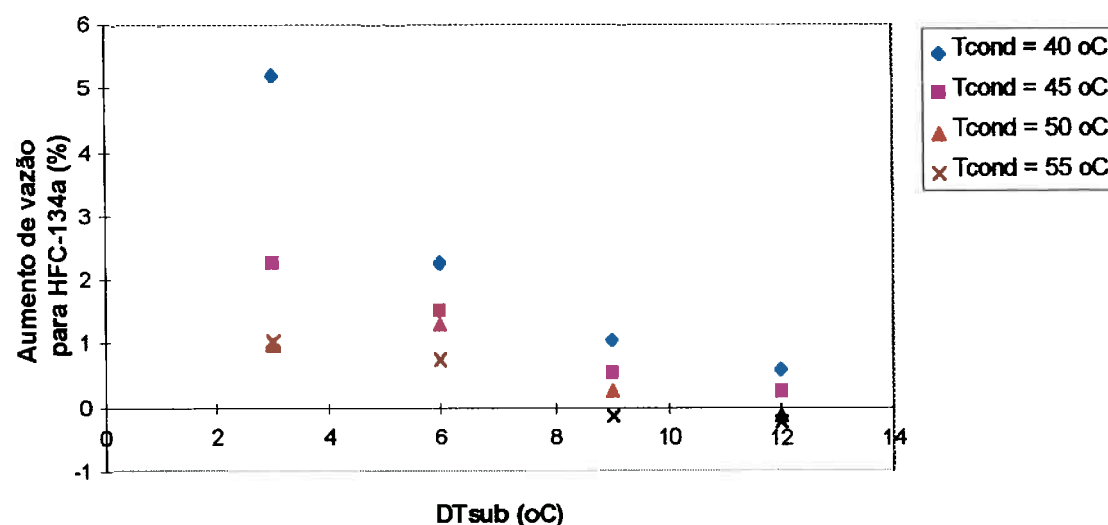


Figura 5.88. Aumento da vazão numérica do HFC-134a em relação ao CFC-12 para o tubo capilar da seção principal de testes, condição não adiabática.

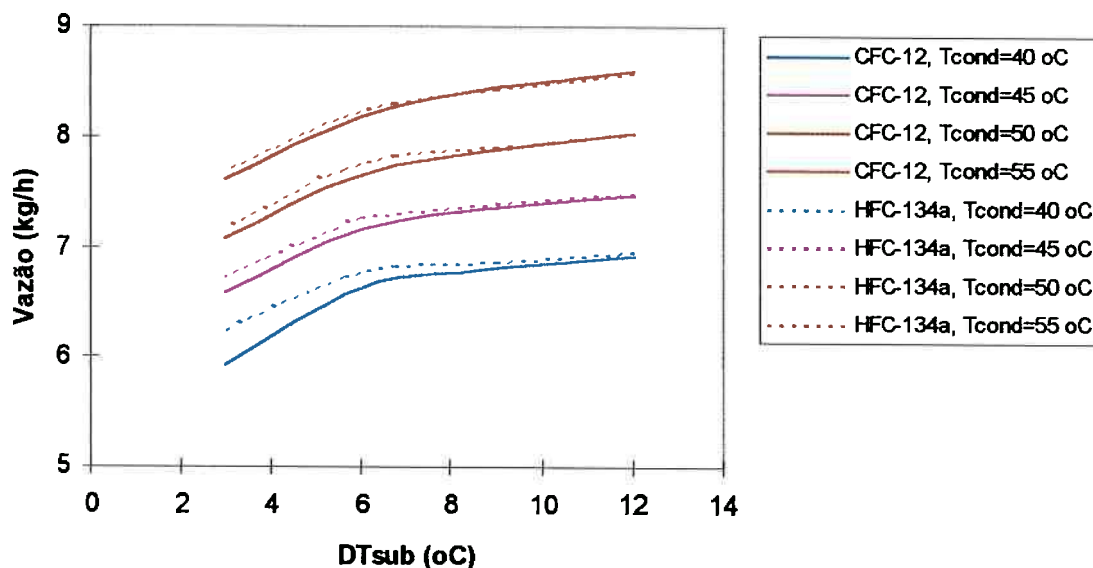


Figura 5.89. Efeito do subresfriamento sobre a vazão através do tubo capilar, condição não adiabática.

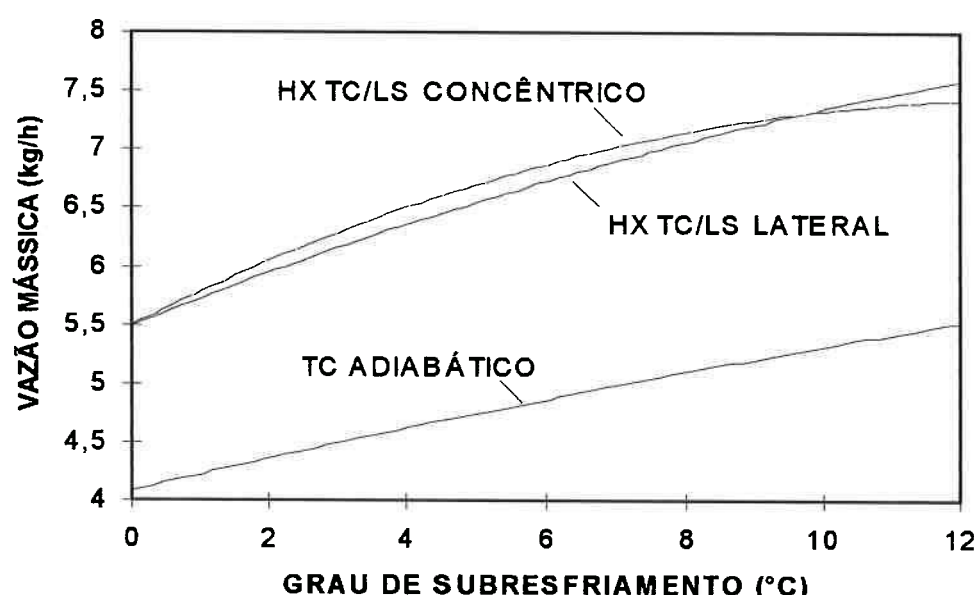


Figura 5.90. Influência de ΔT_{sub} sobre a vazão mássica para trocador de calor tubos laterais, trocador de calor de tubos concêntrico e TC adiabático (CFC-12).

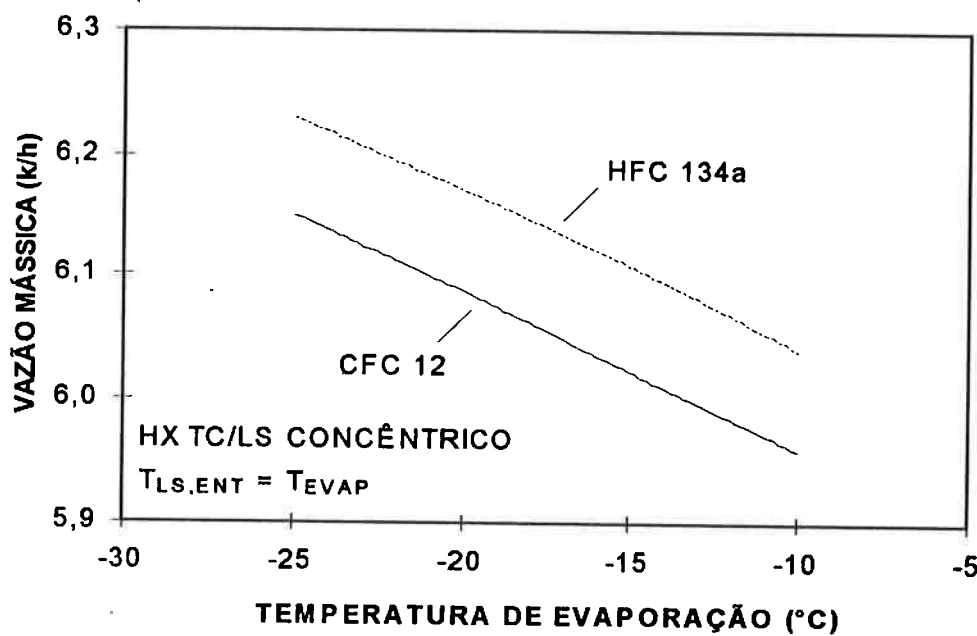


Figura 5.91. Influência da temperatura de evaporação na vazão mássica, condição não adiabática.

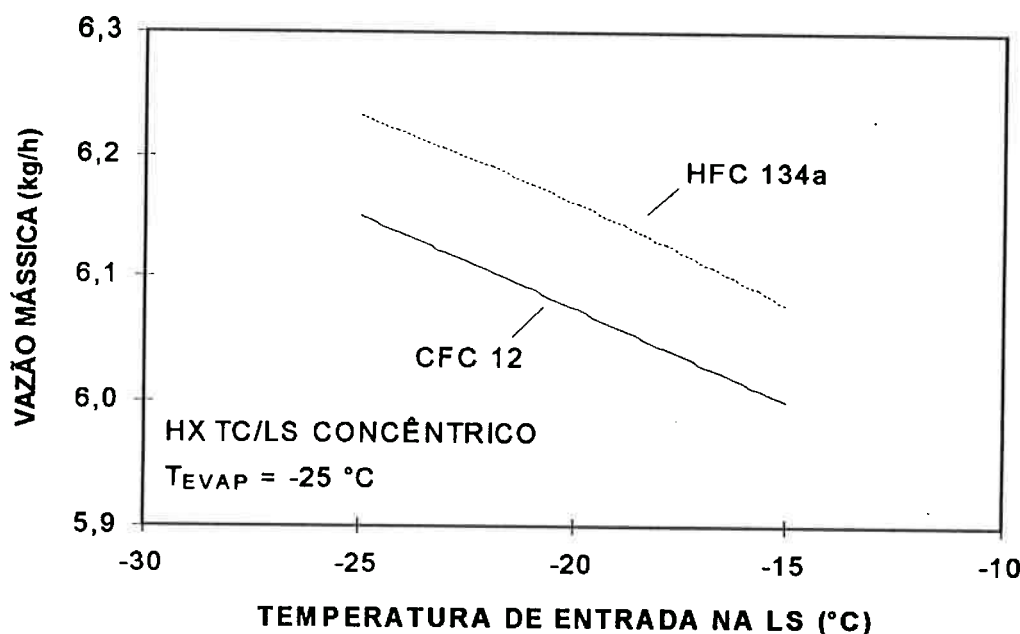


Figura 5.92. Efeito da temperatura de entrada na LS sobre a vazão, condição não adiabática.

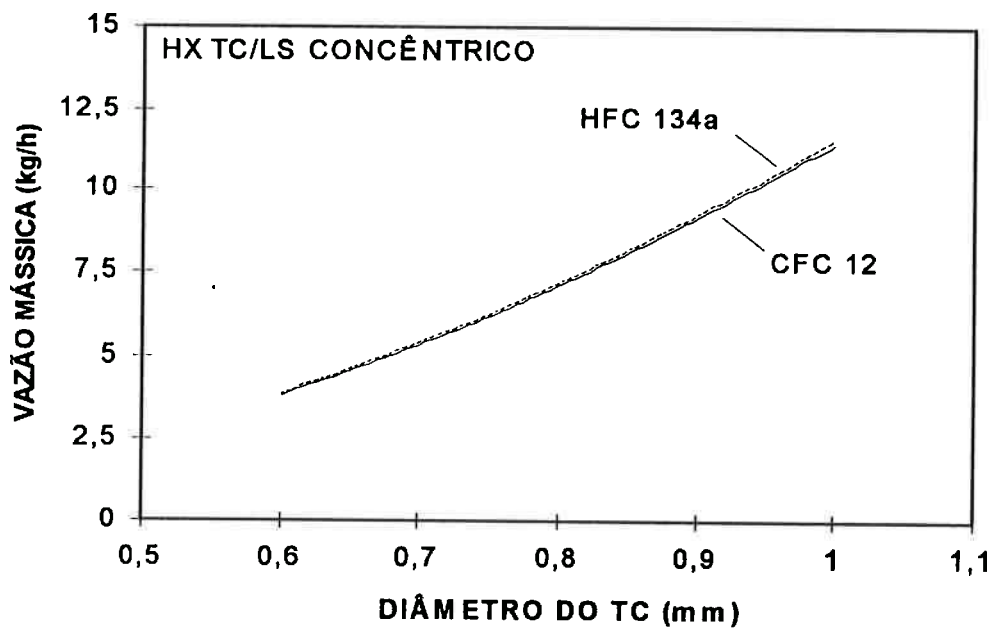


Figura 5.93. Efeito do diâmetro do TC na vazão mássica, condição não adiabática.

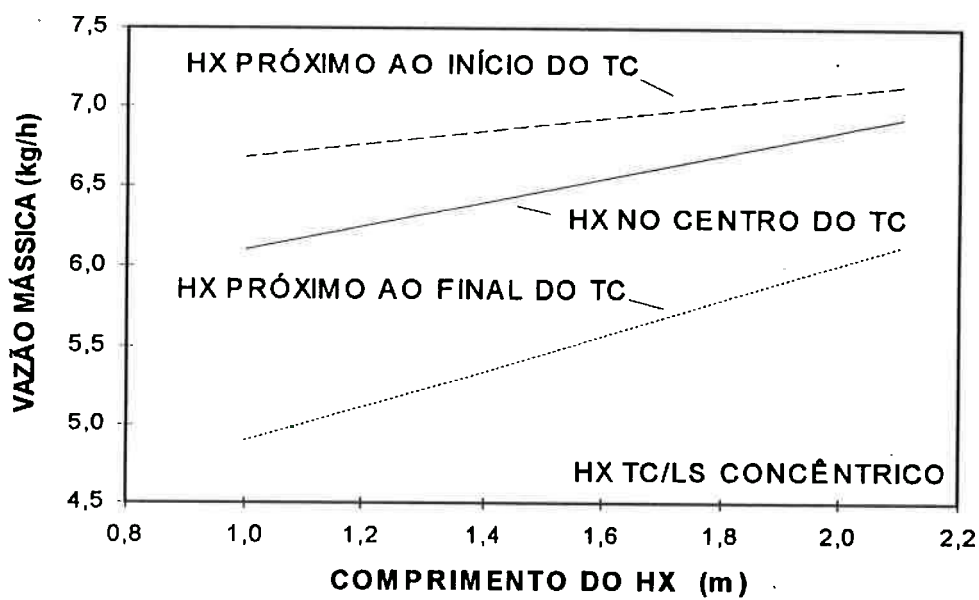


Figura 5.94. Efeito da posição e comprimento do trocador de calor na vazão mássica.

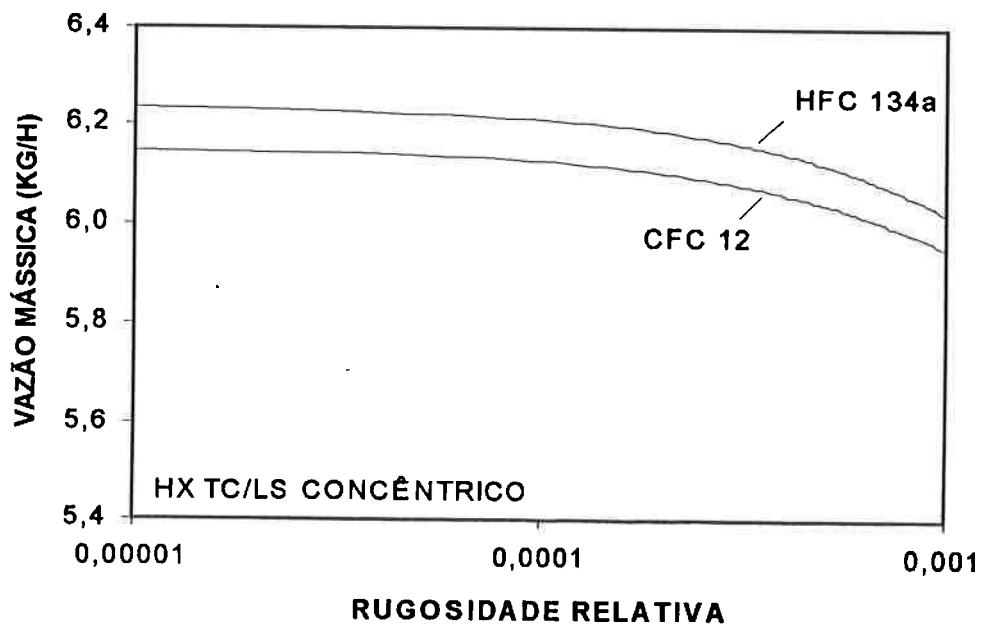


Figura 5.95. Influência da rugosidade na vazão mássica, condição não adiabática.

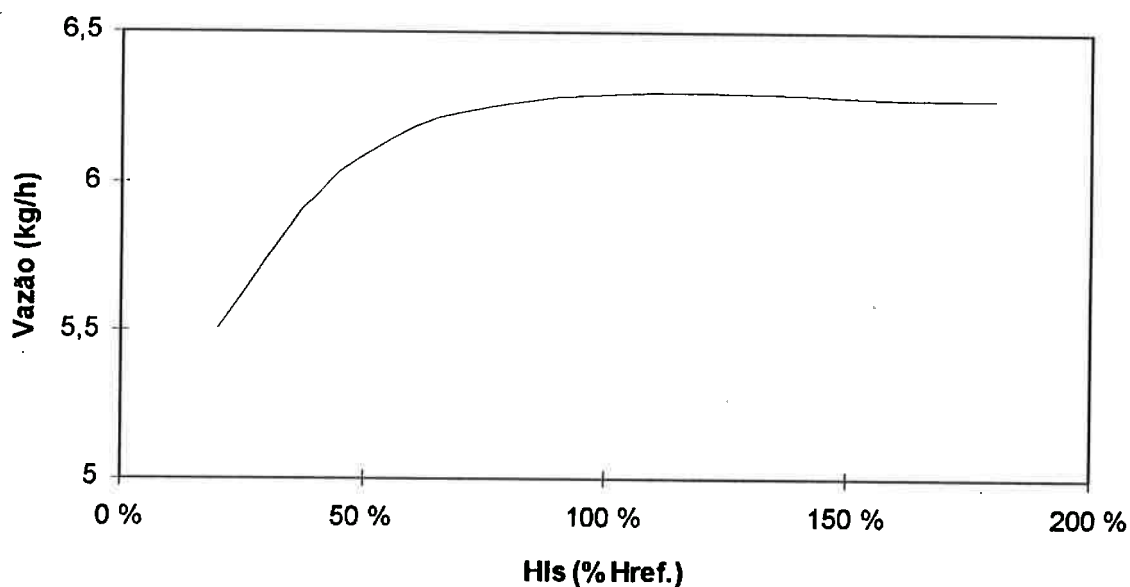


Figura 5.96. Influência do coeficiente de transferência de calor da linha de sucção do trocador de calor de tubos concêntricos sobre a vazão.

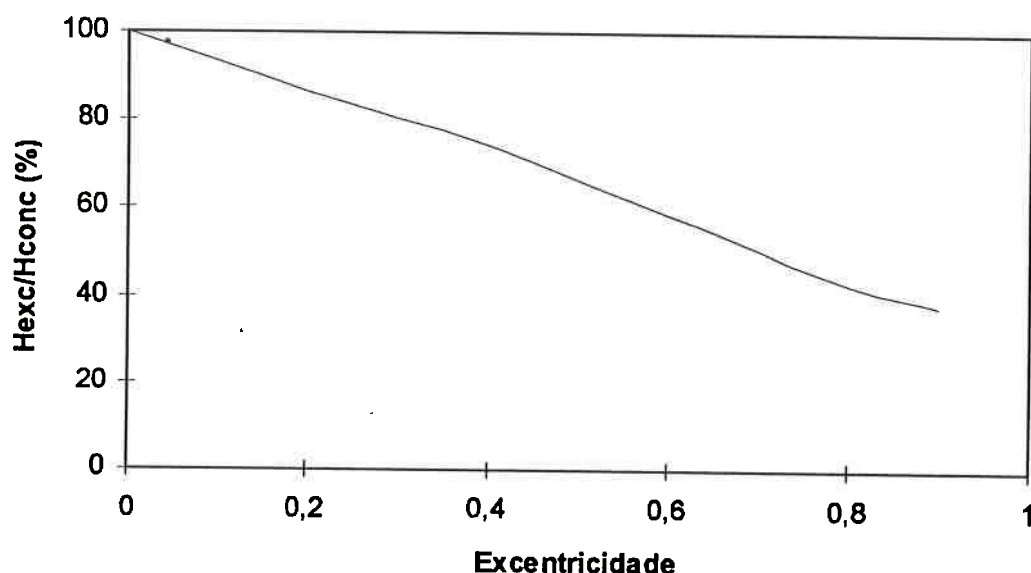


Figura 5.97. Influência da excentricidade do tubo capilar em relação à linha de sucção sobre o coeficiente de transferência de calor na linha de sucção na superfície interna, com superfície externa isolada, de acordo com os dados de Snyder (Apud Rohsenow e Hartnett, 1973).

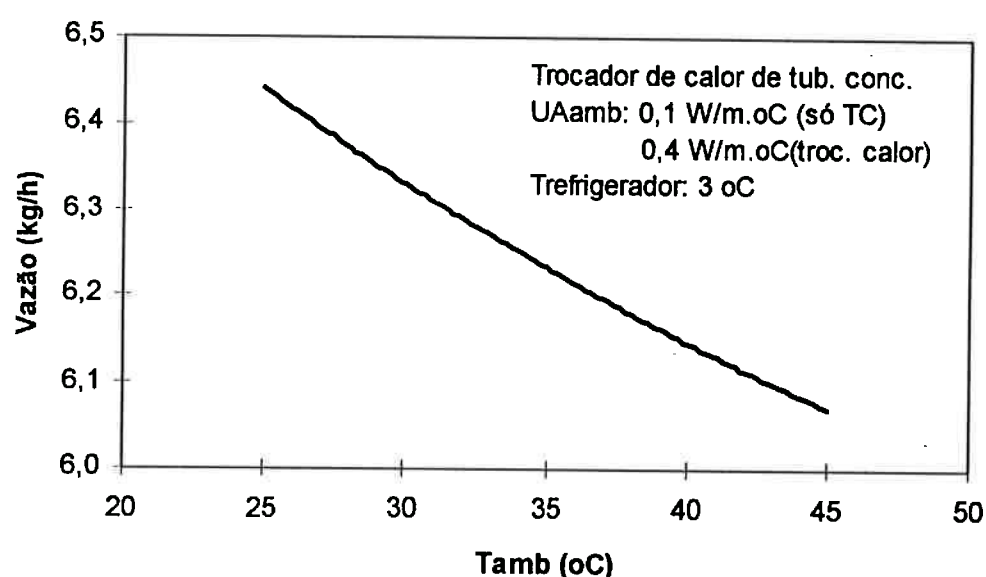


Figura 5.98. Influência da temperatura ambiente sobre a vazão através do tubo capilar, no caso de tubo sem isolamento, condição não adiabática. Caso com 60 % à temperatura ambiente e 40 % dentro do refrigerador.

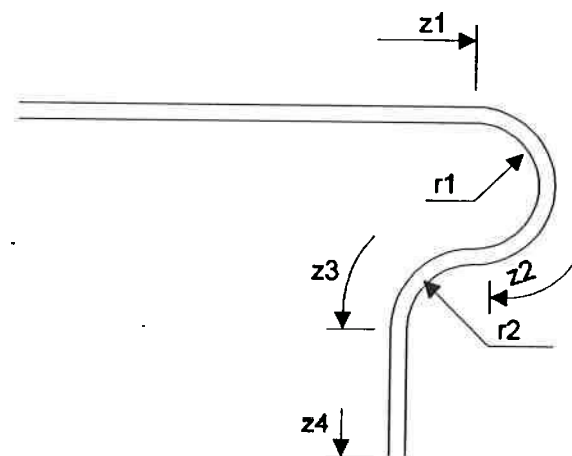


Figura 5.99. Desenho esquemático de um tubo capilar, com trechos retilíneos e trechos com curvatura.

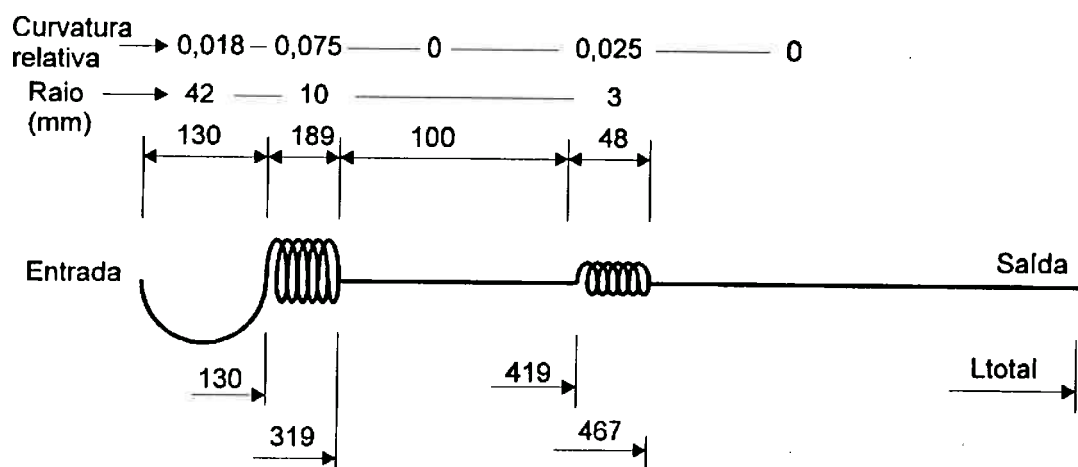


Figura 5.100. Desenho esquemático de um tubo capilar com configuração geométrica típica, utilizado no estudo da influência do encurramento sobre o comprimento requerido para produzir uma vazão fixada.

Tabela 5.1. Resumo dos resultados obtidos nos ensaios com tubo capilar adiabático usando HFC 134a.

Ensaio	Tcond (°C)	ΔTsub (°C)	ΔTsup (°C)	Vazão medida (kg/h)	Vazão calc. s/ atraso vap. (kg/h)	Erro (%)	Vazão calc. c/ atraso vap (kg/h)	Erro (%)
AD120	40	12	1,3	4,717	5,23	10,9	5,261	11,5
		9	2,8	4,512	4,898	8,6	5,209	15,4
		6	5	4,325	4,533	4,8	5,125	18,5
		3	5	4,132	4,123	-0,2	4,781	15,7
AD124	40	12	0,6	4,734	5,23	10,5	5,292	11,8
		9	1,7	4,469	4,898	9,6	5,093	14,0
		6	2,8	4,228	4,533	7,2	4,875	15,3
		3	3,9	4,013	4,123	2,7	4,645	15,7
AD138	40	12	1,4	5,088	5,23	2,8	5,374	5,6
		9	2,8	4,853	4,898	0,9	5,209	7,3
		6	4,9	4,681	4,533	-3,2	5,114	9,3
		3	4,9	4,398	4,123	-6,3	4,77	8,5
AD147	40	12	5,3	5,426	5,23	-3,6	5,747	5,9
		9		5,243	4,898	-6,6		
		6	7,1	5,05	4,533	-10,2	5,344	5,8
		3	8,3	4,753	4,123	-13,3	5,155	8,5
AD121	45	12	5	5,621	5,61	-0,2	6,117	8,8
		9	3,9	5,291	5,27	-0,4	5,709	7,9
		6	3,2	4,807	4,929	2,5	5,291	10,1
		3	2,6	4,286	4,514	5,3	4,877	13,8
AD125	45	12	1,9	5,394	5,61	4,0	5,813	7,8
		9	3,2	5,184	5,27	1,7	5,635	8,7
		6	5,2	5,158	4,929	-4,4	5,521	7,0
		3	3,2	4,371	4,514	3,3	4,951	13,3
AD148	45	12		5,487	5,61	2,2		
		9		5,251	5,27	0,4		
		6		5,032	4,929	-2,0		
		3		4,816	4,514	-6,3		
AD150	45	12	3,1	5,678	5,61	-1,2	5,933	4,5
		9	5,3	5,485	5,27	-3,9	5,854	6,7
		6	6,1	5,29	4,929	-6,8	5,624	6,3
		3	8,4	5,033	4,514	-10,3	5,544	10,2

Tabela 5.1. Resumo dos resultados obtidos nos ensaios com tubo capilar adiabático usando HFC 134a (continuação).

Ensaio	Tcond (°C)	ΔTsub (°C)	ΔTsup (°C)	Vazão medida (kg/h)	Vazão calc. s/ atraso vap. (kg/h)	Erro (%)	Vazão calc. c/ atraso vap (kg/h)	Erro (%)
AD122	50	12	1,5	5,958	6	0,7	6,169	3,5
		9	1,5	5,661	5,686	0,4	5,829	3,0
		6	2,2	5,11	5,301	3,7	5,59	9,4
		3	2,2	4,73	4,878	3,1	5,193	9,8
AD126	50	12	2,2	5,849	6	2,6	6,264	7,1
		9	5,2	5,829	5,686	-2,5	6,243	7,1
		6	3,7	5,283	5,301	0,3	5,766	9,1
		3	3	4,778	4,878	2,1	5,301	10,9
AD149	50	12	3,8	6,105	6	-1,7	6,408	5,0
		9	5,3	5,913	5,686	-3,8	6,254	5,8
		6	1,5	5,306	5,301	-0,1	5,497	3,6
		3	0,8	4,778	4,878	2,1	4,994	4,6
AD151	50	12	5,3	6,184	6	-3,0	6,561	6,1
		9	6,1	5,957	5,686	-4,5	6,337	6,4
		6	5,3	5,486	5,301	-3,4	5,921	7,9
		3	0	4,501	4,878	8,4	4,878	8,4
AD123	55	12	1,7	6,49	6,437	-0,8	6,6	1,7
		9	1,7	6,081	6,078	0,0	6,286	3,4
		6	1,7	5,554	5,686	2,4	5,909	6,4
		3			5,254			
AD127	55	12	1,7	6,459	6,437	-0,3	6,6	2,2
		9	1,7	5,997	6,078	1,4	6,286	4,8
		6	2,5	5,661	5,686	0,4	6,015	6,3
		3	3,3	5,314	5,254	-1,1	5,72	7,6
AD152	55	12	6,1	6,864	6,437	-6,2	7,063	2,9
		9	5,3	6,404	6,078	-5,1	6,667	4,1
		6	4,6	5,96	5,686	-4,6	6,274	5,3
		3	0	5,009	5,254	4,9	4,778	-4,6
AD153	55	12	1,1	6,34	6,437	1,5	6,568	3,6
		9	3,1	6,098	6,078	-0,3	6,449	5,8
		6	4,6	5,856	5,686	-2,9	6,274	7,1
		3	1,1	5,059	5,254	3,9	5,415	7,0

	S/ considerar atraso vap.	Considerando atraso vap.
- Número de casos: (sem considerar casos AD120 e AD124)	55	50
- Grau de superaquecimento médio		3,5 °C
- Grau de superaquecimento máximo		8,4 °C
- Erro médio (%):	-1,1 %	6,5 %
- Intervalo com 90 % dos erros (intervalo = erro médio +/- desvio 90 %)	-8,1 a 6 %	0,7 a 12,3 %

Tabela 5.2. Resumo dos resultados experimentais para tubo capilar adiabático com HFC 134a, agrupados por temperatura de condensação e subresfriamento, com destaque para a dispersão dos resultados experimentais.

Tcond (°C)	ΔT_{sub} (°C)	Vazão medida (kg/h)				Valor médio vazão medida (kg/h)	Dispersão vazão med. (% média)	Vazão calculada (kg/h)	Diferença calc.-med. (%)
		Ensaio 1	Ensaio 2	Ensaio 3	Ensaio 4				
40	12	5,088	5,426			5,257	3,2	5,23	-0,5
	9	4,853	5,243			5,048	3,9	4,898	-3,0
	6	4,681	5,05			4,8655	3,8	4,533	-6,8
	3	4,398	4,753			4,5755	3,9	4,123	-9,9
45	12	5,621	5,394	5,487	5,678	5,5825	2,5	5,61	0,5
	9	5,291	5,184	5,251	5,485	5,368	2,8	5,27	-1,8
	6	4,807	5,158	5,032	5,29	5,161	4,7	4,929	-4,5
	3	4,286	4,371	4,816	5,033	4,9245	7,6	4,514	-8,3
50	12	5,958	5,849	6,105	6,184	6,1445	2,7	6	-2,4
	9	5,661	5,829	5,913	5,957	5,935	2,5	5,686	-4,2
	6	5,11	5,283	5,306	5,486	5,396	3,5	5,301	-1,8
	3	4,73	4,778	4,776	4,501	4,6385	3,0	4,878	5,2
55	12	6,49	6,459	6,864	6,34	6,602	4,0	6,437	-2,5
	9	6,081	5,997	6,404	6,098	6,251	3,3	6,078	-2,8
	6	5,554	5,661	5,96	5,856	5,908	3,4	5,686	-3,8
	3		5,314	5,009	5,059	5,034	0,5	5,254	4,4

$$\text{Dispersão} = (\text{Valor max.} - \text{valor min})/2$$

Tabela 5.3. Resultados experimentais e numéricos para todos os ensaios com tubo capilar não adiabático, CFC 12.

Ensaio	T_{cond} (°C)	ΔT_{sub} (°C)	$T_{e,ls}$ (°C)	Vazão medida (kg/h)	Vazão calculada (kg/h)	Erro (%)
NAD067	40	12	-20	7,464	6,92	-7,3
		9		7,208	6,8	-5,7
		6		6,750	6,62	-1,9
		3		6,626	5,94	-10,4
NAD070	40	12	-20	7,632	6,92	-9,3
		9		7,597	6,8	-10,5
		6		7,540	6,62	-12,2
		3		7,410	5,94	-19,8
NAD090	40	12	-20	7,214	6,92	-4,1
		9		7,154	6,8	-4,9
		6		7,094	6,62	-6,7
		3		6,604	5,94	-10,1
NAD068	45	12	-20	7,440	7,47	0,4
		9		7,358	7,35	-0,1
		6		7,291	7,16	-1,8
		3		7,119	6,59	-7,4
NAD071	45	12	-20	7,904	7,47	-5,5
		9		7,803	7,35	-5,8
		6		7,688	7,16	-6,9
		3		7,260	6,59	-9,2
NAD078	45	12	-20	8,028	7,47	-7,0
		9		7,825	7,35	-6,1
		6		7,603	7,16	-5,8
		3		7,148	6,59	-7,8
NAD091	45	12	-20	8,163	7,47	-8,5
		9		7,884	7,35	-6,8
		6		7,454	7,16	-3,9
		3		7,325	6,59	-10,0
NAD069	50	12	-20	8,448	8,04	-4,8
		9		8,391	7,89	-6,0
		6		8,145	7,65	-6,1
		3		8,235	7,09	-13,9
NAD079	50	12	-20	7,995	8,04	0,6
		9		7,942	7,89	-0,7
		6		7,775	7,65	-1,6
		3		7,391	7,09	-4,1
NAD092	50	12	-20	8,402	8,04	-4,3
		9		8,335	7,89	-5,3
		6		8,058	7,65	-5,1
		3		7,891	7,09	-10,2
NAD072	55	12	-20	9,085	8,6	-5,3
		9		9,166	8,45	-7,8
		6		8,434	8,17	-3,1
		3		8,160	7,61	-6,7
NAD093	55	12	-20	8,999	8,6	-4,4
		9		8,898	8,45	-5,0
		6		8,513	8,17	-4,0
		3		7,027	7,61	8,3

Tabela 5.3. Resultados experimentais e numéricos para todos os ensaios com tubo capilar não adiabático, CFC 12 (continuação).

Ensaio	T_{cond} (°C)	ΔT_{sub} (°C)	$T_{e,s}$ (°C)	Vazão medida (kg/h)	Vazão calculada (kg/h)	Erro (%)
NAD073	40	12	-15	7,178	6,78	-5,5
		9		6,695	6,67	-0,4
		6		6,584	6,49	-1,4
		3		6,492	5,96	-8,2
NAD083	40	12	-15	6,909	6,78	-1,9
		9		6,858	6,67	-2,7
		6		6,613	6,49	-1,9
		3		6,545	5,96	-8,9
NAD074	45	12	-15	7,814	7,34	-6,1
		9		7,725	7,21	-6,7
		6		7,651	7,01	-8,4
		3		6,156	6,5	5,6
NAD080	45	12	-15	7,787	7,34	-5,7
		9		7,751	7,21	-7,0
		6		7,569	7,01	-7,4
		3		7,472	6,5	-13,0
NAD084	45	12	-15	7,410	7,34	-0,9
		9		7,334	7,21	-1,7
		6		7,248	7,01	-3,3
		3		7,152	6,5	-9,1
NAD088	45	12	-15	7,514	7,34	-2,3
		9		7,429	7,21	-2,9
		6		7,292	7,01	-3,9
		3		7,224	6,5	-10,0
NAD075	50	12	-15	8,241	7,9	-4,1
		9		7,814	7,76	-0,7
		6		7,744	7,52	-2,9
		3		7,412	7,02	-5,3
NAD085	50	12	-15	7,931	7,9	-0,4
		9		7,836	7,76	-1,0
		6		7,599	7,52	-1,0
		3		7,593	7,02	-7,5
NAD087	50	12	-15	8,330	7,9	-5,2
		9		8,259	7,76	-6,0
		6		7,801	7,52	-3,6
		3		7,648	7,02	-8,2
NAD081	55	12	-15	8,842	8,48	-4,1
		9		8,747	8,32	-4,9
		6		8,258	8,05	-2,5
		3		7,968	7,58	-4,9
NAD082	55	12	-15	8,812	8,48	-3,8
		9		8,730	8,32	-4,7
		6		8,206	8,05	-1,9
		3		8,263	7,58	-8,3
NAD086	55	12	-15	8,606	8,48	-1,5
		9		8,389	8,32	-0,8
		6		8,315	8,05	-3,2
		3		8,225	7,58	-7,8
NAD089	55	12	-15	8,793	8,48	-3,6
		9		8,402	8,32	-1,0
		6		8,319	8,05	-3,2
		3		7,988	7,58	-5,1

Tabela 5.4. Resultados experimentais e numéricos agrupados por condição operacional de ensaio. Tubo capilar não adiabático, CFC 12.

Tcond (°C)	ΔT_{sub} (°C)	Te,Is (°C)	Vazão medida (kg/h)				Valor médio vazão medida (kg/h)	Dispersão vazão medida (% media)	Vazão calculada (kg/h)	Diferença calc.-exp.média (% vaz. exp.média)	
			Ensaio 1	Ensaio 2	Ensaio 3	Ensaio 4					
40	12	-20	7,464	7,632	7,214	7,437	7,437	2,6	6,92	-6,9	
	9	7,208	7,597	7,154	7,320	7,320	7,320	3,0	6,8	-7,1	
	6	6,75	7,54	7,094	7,128	7,128	7,128	5,5	6,62	-7,1	
45	12	-20	7,44	7,904	8,028	8,163	7,884	4,6	7,47	-13,7	
	9	7,358	7,803	7,825	7,884	7,718	7,718	3,4	7,35	-5,2	
	6	7,291	7,688	7,603	7,454	7,509	7,509	2,6	7,16	-4,8	
50	12	-20	8,448	7,995	8,402	8,335	7,325	7,213	1,4	6,59	-4,6
	9	8,391	7,942	8,062	8,282	8,223	8,223	2,7	8,04	-3,6	
	6	8,145	7,775	7,87	7,994	7,832	7,832	4,3	7,85	-2,9	
55	12	-20	9,085	8,99	9,038	9,038	9,032	9,032	8,6	4,0	
	9	9,166	8,898	8,513	8,474	8,474	8,474	1,5	8,45	-4,3	
	6	8,434	8,16	7,027	7,594	7,594	7,594	0,5	8,17	-3,6	
40	12	-15	7,178	6,909	7,044	7,044	7,044	7,044	7,61	0,2	
	9	6,695	6,858	6,613	6,777	6,777	6,777	1,2	6,67	-3,7	
	6	6,584	6,492	6,545	6,519	6,519	6,519	0,4	6,49	-1,6	
45	12	-15	7,814	7,787	7,41	7,514	7,631	2,6	7,34	-3,8	
	9	7,725	7,751	7,334	7,429	7,560	7,560	2,8	7,21	-4,6	
	6	7,651	7,569	7,248	7,292	7,440	7,440	2,7	7,01	-5,8	
50	12	-15	8,241	7,931	8,33	8,167	8,167	9,4	6,5	-7,2	
	9	7,814	7,836	8,259	7,970	7,725	7,725	1,3	7,52	-2,6	
	6	7,774	7,599	7,801	7,548	7,001	7,001	1,6	7,02	-7,0	
55	12	-15	8,42	8,812	8,606	8,793	8,658	2,3	8,48	-2,1	
	9	8,747	8,73	8,389	8,402	8,567	8,567	2,1	8,32	-2,9	
	6	8,258	8,206	8,315	8,275	8,319	8,319	0,7	8,05	-2,7	
			3	7,968	8,263	8,225	7,988	8,111	1,8	7,58	-6,5

Dispersão vazão medida: (Vazão max. - Vazão min.)/2

Tabela 5.5. Resultados experimentais e numéricos para todos os ensaios com tubo capilar não adiabático, HFC 134a.

Ensaio	T_{cond} (°C)	ΔT_{sub} (°C)	$T_{e,ls}$ (°C)	Vazão medida (kg/h)	Vazão calculada (kg/h)	Erro (%)
NAD140	40	-15	12	6,817	6,82	0,0
			9	6,764	6,70	-0,9
			6	6,624	6,55	-1,1
			3	6,265	6,16	-1,7
NAD148	40	-15	12	7,322	6,82	-6,9
			9	7,170	6,70	-6,6
			6	6,885	6,55	-4,9
			3	6,600	6,16	-6,7
NAD154	40	-15	12	7,324	6,82	-6,9
			9	7,256	6,70	-7,7
			6	7,197	6,55	-9,0
			3	7,145	6,16	-13,8
NAD156	40	-15	12	7,233	6,82	-5,7
			9	7,255	6,70	-7,6
			6	7,220	6,55	-9,3
			3	7,121	6,16	-13,5
NAD141	45	-15	12	7,403	7,36	-0,6
			9	7,404	7,25	-2,1
			6	7,248	7,12	-1,8
			3	6,848	6,65	-2,9
NAD155	45	-15	12	7,926	7,36	-7,1
			9	7,891	7,25	-8,1
			6	7,825	7,12	-9,0
			3	7,759	6,65	-14,3
NAD157	45	-15	12	7,978	7,36	-7,7
			9	7,928	7,25	-8,6
			6	7,860	7,12	-9,4
			3	7,767	6,65	-14,4
NAD142	50	-15	12	8,346	7,91	-5,2
			9	8,294	7,77	-6,3
			6	8,205	7,61	-7,3
			3	8,362	7,13	-14,7
NAD158	50	-15	12	8,613	7,91	-8,2
			9	8,532	7,77	-8,9
			6	8,471	7,61	-10,2
			3	8,331	7,13	-14,4
NAD161	50	-15	12	8,572	7,91	-7,7
			9	8,502	7,77	-8,6
			6	8,400	7,61	-9,4
			3	8,314	7,13	-14,2
NAD143	55	-15	12	9,080	8,45	-6,9
			9	9,036	8,31	-8,0
			6	8,835	8,10	-8,3
			3	8,711	7,60	-12,8
NAD159	55	-15	12	9,207	8,45	-8,2
			9	9,036	8,31	-8,0
			6	8,917	8,10	-9,2
			3	8,566	7,60	-11,3
NAD162	55	-15	12	9,185	8,45	-8,0
			9	9,057	8,31	-8,2
			6	8,909	8,10	-9,1
			3	7,164	7,60	6,1

Tabela 5.5. Resultados experimentais e numéricos para todos os ensaios com tubo capilar não adiabático, HFC 134a (continuação).

Ensaio	T_{cond} (°C)	ΔT_{sub} (°C)	$T_{e,is}$ (°C)	Vazão medida (kg/h)	Vazão calculada (kg/h)	Erro (%)
NAD163	40	-20	12	7,781	6,96	-10,6
			9	7,535	6,87	-8,8
			6	7,409	6,77	-8,6
			3	7,272	6,25	-14,1
NAD167	40	-20	12	7,709	6,96	-9,7
			9	7,621	6,87	-9,9
			6	7,569	6,77	-10,6
			3	7,546	6,25	-17,2
NAD175	40	-20	12	7,985	6,96	-12,8
			9	8,015	6,87	-14,3
			6	8,012	6,77	-15,5
			3	7,895	6,25	-20,8
NAD164	45	-20	12	7,630	7,49	-1,8
			9	7,578	7,39	-2,5
			6	7,569	7,27	-4,0
			3	7,551	6,74	-10,7
NAD168	45	-20	12	7,675	7,49	-2,4
			9	7,498	7,39	-1,4
			6	7,376	7,27	-1,4
			3	7,221	6,74	-6,7
NAD176	45	-20	12	8,322	7,49	-10,0
			9	8,476	7,39	-12,8
			6	8,475	7,27	-14,2
			3	8,015	6,74	-15,9
NAD165	50	-20	12	8,397	8,03	-4,4
			9	8,355	7,91	-5,3
			6	8,315	7,75	-6,8
			3	8,251	7,16	-13,2
NAD169	50	-20	12	7,958	8,03	0,9
			9	7,897	7,91	0,2
			6	7,854	7,75	-1,3
			3	7,804	7,16	-8,3
NAD177	50	-20	12	9,285	8,03	-13,5
			9	9,259	7,91	-14,6
			6	8,833	7,75	-12,3
			3	8,766	7,16	-18,3
NAD166	55	-20	12	9,586	8,58	-10,5
			9	9,503	8,44	-11,2
			6	9,390	8,23	-12,4
			3	9,362	7,69	-17,9
NAD170	55	-20	12	8,643	8,58	-0,7
			9	8,314	8,44	1,5
			6	8,481	8,23	-3,0
			3	8,433	7,69	-8,8
NAD178	55	-20	12	9,964	8,58	-13,9
			9	10,032	8,44	-15,9
			6	9,860	8,23	-16,5
			3	7,156	7,69	7,5

Tabela 5.6. Resultados experimentais e numéricos agrupados por condição operacional de ensaio. Tubo capilar não adiabático, HFC 134a.

Tcond (oC)	ΔT_{sub} (oC)	Te, ls (oC)	Vazão medida (kg/h)				Valor médio vazão medida (kg/h)	Máx. vazão medida (kg/h)	Dispersão vazão medida (%)	Vazão calculada (kg/h)	Diferença calc.-exp. média (% vaz. exp.média)
			Ensaios 1	Ensaios 2	Ensaios 3	Ensaios 4					
40	12	-20	7,781	7,709	7,985	7,825	7,985	2,0	6,96	-11,1	
	9	7,535	7,621	8,015	7,724	8,015	8,012	3,6	6,87	-11,1	
	6	7,409	7,569	8,012	7,663	8,012	8,012	4,4	6,77	-11,7	
45	12	-20	7,63	7,675	8,322	7,876	8,322	5,4	7,49	-4,9	
	9	7,578	7,498	8,476	7,851	8,476	8,475	7,4	7,39	-5,9	
	6	7,569	7,376	8,475	7,807	8,475	8,475	7,9	7,27	6,9	
50	12	-20	7,551	7,221	8,015	7,596	8,015	5,2	6,74	-11,3	
	9	8,397	7,958	9,285	8,547	9,285	9,259	8,0	8,03	-6,0	
	6	8,355	7,897	9,259	8,504	9,259	8,833	8,2	7,91	-7,0	
55	12	-20	8,251	7,804	8,766	8,274	8,766	5,5	7,75	-7,0	
	9	9,586	8,643	9,964	9,398	9,964	10,032	7,5	7,16	-13,5	
	6	9,503	8,314	10,032	9,283	9,283	9,860	6,3	8,44	-9,1	
40	12	-15	9,362	8,433	7,156	8,317	9,362	11,2	7,69	-7,5	
	9	6,817	7,322	7,324	7,233	7,174	7,324	2,0	6,82	-4,9	
	6	6,764	7,17	7,256	7,255	7,111	7,256	2,0	6,70	-5,8	
45	12	-15	6,624	6,885	7,197	7,22	6,982	7,220	3,3	6,55	-6,2
	9	6,265	6,6	7,145	7,121	6,783	7,145	5,1	6,16	-9,2	
	6	7,403	7,926	7,978	7,769	7,978	7,860	2,6	7,36	-5,3	
50	12	-15	6,848	7,891	7,928	7,741	7,928	2,4	7,25	-6,3	
	9	8,346	8,613	8,572	7,644	7,644	7,767	2,7	7,12	-6,9	
	6	8,294	8,532	8,502	8,443	8,510	8,613	4,0	6,65	-10,8	
55	12	-15	8,362	8,331	8,314	8,4	8,359	8,532	1,2	7,91	-7,1
	9	9,036	9,036	9,057	9,157	9,207	9,057	0,2	7,77	-3,0	
	6	8,835	8,917	8,909	8,887	8,917	8,917	0,3	8,31	-9,0	
	3	8,711	8,566	7,164	8,147	8,711	8,362	0,3	7,13	-14,5	

Tabela 5.7. Parâmetros adotados para as condições de referência utilizadas nos estudos de sensibilidade.

Parâmetro	Condição de ensaio	Condição nominal
Temperatura de condensação (oC)	Várias	50
Temperatura de evaporação (oC)	-25	-25
$T_{ls,e}$ (oC)	-20	= T_{evap}
$D_{i,tc}$ (mm)	0,794	0,75
$D_{i,ls}$ (mm)	6	5
ΔT_{sub} (oC)	Vários	3
Comprimentos (m):		
- trecho adiabático inicial	0,642	0,624
- trecho com troca de calor	2,105	2,105
- trecho adiabático final	0,01	0,01
Rugosidade relativa do TC	0,0015	Tubo liso
Temperatura ambiente (oC)	25	25
Fluido na LS	Ar	Vapor ref.
Perda de calor no trecho inicial do tubo capilar (W/m.oC)	0,45	0

Tabela 5.8. Exemplo de tabela de dados sobre o perfil de curvatura do tubo capilar.

Trecho N	Curvatura	Zinicial	Zfinal
1	0	0	z_1
2	D_{tc}/r_1	z_1	z_2
3	D_{tc}/r_2	z_2	z_3
4	0	z_3	L

Tabela 5.9. Valores calculados de comprimento para tubo reto e com encurvamentos de vários tipos.

Caso	Comprimento			Diferença $L - L_{reto}$
	L_{ad} (m)	L_{hx} (m)	L_{total} (m)	
Tubo reto	0,2	5,24	5,44	--
Com raio = 10 mm	0,2	4,47	4,67	-14,2%
Com raio = 3 mm	0,2	3,78	3,98	-26,8%
Caso típico	0,2	5,11	5,31	-2,4%

Tabela 5.10. Influência de algumas variáveis sobre o desempenho ou o comprimento necessário de tubo capilar.

Variável	Variação	Efeito na vazão (para L fixado)	Efeito em L (para vazão fixada)
Tcond	+ 1 oC	+ 1,6 %	+ 3,2 %
Fluido (CFC-12 para HFC-134a)	—	max. 2 %	max. 4 %
DTsub	+ 1 oC	1) + 2,7 % (DTsub entre 3 e 6 oC) 2) + 0,93 % (DTsub entre 6 e 12 oC)	+ 5,4 % + 1,9 %
Tipo trocador de calor	1) Concent.→lateral: 2) Ad.→não ad.:	1) Pouca alteração 2) + 35 a + 40 %	1) Pouca alteração 2) + 82 a + 96 %
Tevap	—	Pequena	Pequena
Tls,e	—	Pequena	Pequena
D	+ 1 %	+ 2,2 %	+ 4,4 %
Posição trocador de calor	+ 10 cm (trocador colocado na região de saída do tubo capilar)	+ 2,2 %	+ 4,4 %
Rugosidade relativa	Tubo liso → Tubo rugoso (rug.rel. = 0,001)	- 3,3 %	- 6,5 %
Excentricidade tubo capilar	90 % de excentricidade	- 5,5 %	- 10,7 %
Troca de calor com ambiente	1) Isolado → não isolado (Tamb = 25 oC) 2) Não isolado (Tamb = 25 oC) → não isolado (Tamb = 35 oC)	1) + 5 % 2) - 3 %	1) + 10 % 2) - 5,9 %
Encurvamento tubo capilar	1) Tubo reto → raio curv. = 10 mm 2) Tubo reto → raio curv. = 3 mm	1) -7,4 % 2) -14,4 %	1) - 14,2 % 2) -26,8 %
Condução axial de calor através paredes	—	Pequeno	Pequeno
Atraso de vaporização (apenas para tubo capilar adiabático)	+ 1 oC	1) + 2,7 % (DTsub entre 3 e 6 oC) 2) + 0,93 % (DTsub entre 6 e 12 oC)	+ 5,4 % + 1,9 %
Título na entrada	+ 0,1	- 27 %	- 47 %

Obs: Os valores apresentados representam a sensibilidade aproximada para os casos de referência apresentados no texto. Extrapolação dos resultados para outras condições deve ser evitada.

Tabela 5.11. Comparação entre resultados da literatura com resultados obtidos através do programa desenvolvido

Descrição do caso	Código	Valores USP		Valores Referência 1		Valores Referência 2		Valores Referência 3		Diferença (%)	Observações (%)
		Lcalc (m)	Mcalc (kg/m)	Lcalc (m)	Mcalc (kg/m)	Lcalc (m)	Mcalc (kg/m)	Lcalc (m)	Mcalc (kg/m)		
Resultados de Escanes											
ESC1	9.87 kg/m	10.26				-3.8					
ESC2	6.83 kg/m	6.41	6.6								
ESC3	6.56 kg/m	6.7	-2.1								
ESC4	4.95 kg/m	4.36	4.4								
ESC5	11.28 kg/m	10.72	5.2								
ESC6	6.87 kg/m	7.59	-12.1								
ESC7	7.17 kg/m	7.13	0.6								
ESC8	4.62 kg/m	5.06	-8.7								
ESC9	20.983 kg/m	20.274	1.9			17.42	18.6				
ESC10	17.685 kg/m	17.484	1.1			13.608	30.0				
ESC11	49.164 kg/m	48.114	2.2			47.628	3.2				
ESC12	27.899 kg/m	27.427	1.7			29.348	-4.9				
Resultados de Li											
L1AR	1.52 m	1.5	1.3								
L1AR	1.75 m	1.5	16.7								
L2R	1.57 m	1.83	-14.2								
L2AR	1.72 m	1.83	6.0								
Resultados de Wijaya											
WUJ1	4.89 kg/m	5.02	-2.6			4.36	12.2	4.77	2.5		
WUJ2	5.57 kg/m	5.45	2.2			5.16	7.9	5.45	2.2		
WUJ3	6.15 kg/m	5.97	3.0			5.8	6.0	5.99	2.7		
WUJ4	6.27 kg/m	6.66	-5.9			5.64	11.2	6.23	0.6		
WUJ5	7.03 kg/m	7.21	-2.5			6.49	8.3	6.94	1.3		
WUJ6	7.65 kg/m	7.74	-1.2			7.18	6.5	7.52	1.7		
WUJ7	4.89 kg/m	5.23	-6.5			4.49	8.9	4.82	1.5		
WUJ8	5.6 kg/m	5.79	-3.3			5.32	5.3	5.53	1.3		
WUJ9	6.15 kg/m	6.21	-1.0			5.91	4.1	6.04	1.8		
WUJ10	6.37 kg/m	6.63	-3.9			5.67	12.3	6.37	0.0		
WUJ11	7.15 kg/m	7.38	-3.1			6.6	8.3	7.1	0.7		
WUJ12	7.79 kg/m	8.23	-5.3			7.34	6.1	7.68	1.4		

Tabela 5.11. continuação.

Descrição do caso	Código	Valores USP		Referência 1	Diferença	Valores Referência 2		Referência 3	Diferença	Observações
		Lcalc (m)	Mcalc (kg/m)			Lcalc (m)	Mcalc (kg/m)			
Resultados de Dink										
	ARC11A	2,06 kg/m	2,07		-0,5	2,07			-0,5	Ref. 1: Dados Experimentais Dink.
	ARC12A	2,24 kg/m	2,24		0,0	2,25			-0,4	Ref. 2: Dados Numéricos Dink
	ARC13A	2,3 kg/m	2,38		-3,4	2,34			-1,7	
	ARC14A	2,42 kg/m	2,43		-0,4	2,46			-1,6	
	ARC1A	2,52 kg/m	2,53		-0,4	2,59			-2,7	
	ARC15A	2,87 kg/m	3,07		-6,5	2,95			-2,7	
	ARC21A	3,51 kg/m	3,38		3,8	3,49			0,6	
	ARC22A	3,82 kg/m	3,95		-3,3	3,85			-0,8	
	ARC2A	3,79 kg/m	3,71		2,2	3,8			-0,3	
	ARC23A	4,12 kg/m	4,15		-0,7	4,18			-1,4	
	ARC24A	4,33 kg/m	4,22		2,6	4,4			-1,6	
	ARC25A	4,51 kg/m	4,44		1,6	4,44			1,6	
	ARC11	2,12 kg/m	2,29		-7,4	2,1			1,0	
	ARC12	2,18 kg/m	2,34		-6,8	2,16			0,9	
	ARC13	2,42 kg/m	2,49		-2,8	2,46			-1,6	
	ARC14	2,51 kg/m	2,66		-5,6	2,56			-2,0	
	ARC1	2,61 kg/m	2,75		-5,1	2,7			-3,3	
	ARC15	2,84 kg/m	3,12		-9,0	2,97			-4,4	
	ARC21	4,13 kg/m	4,37		-5,5	4,19			-1,4	
	ARC22	4,21 kg/m	4,47		-5,8	4,3			-2,1	
	ARC2	4,3 kg/m	4,28		0,5	4,41			-2,5	
	ARC23	4,53 kg/m	4,84		-6,4	4,68			-3,2	
	ARC24	4,67 kg/m	4,63		0,9	4,86			-3,9	
	ARC25	4,95 kg/m	5,21		-5,0	5,19			-4,6	

Tabela 5.12. Condições operacionais e parâmetros utilizados nos casos analisados na tabela 5.11.

Descrição do caso	Código	Calc. L/M	Ad./N. Ad.	Lat./Cone.	Lic1 fix. (m)	Lix fix. (m)	Ltc2 fix. (m)	M fix. (kg/m)	Tcond (oC) PCond/bar)	Tevap (oC) Pevap (bar)	Di, tc (mm)	Dis (mm)	Fluido	DTsub (oC)	Tel. (oC)	Rug. rel.	UA'amb (W/m.oC)	Tamb (oC)	Curvatura (D,tc,Rc)	Leitic (m)	Mclic (kg/h)
Resultados de Escane	ESC1	M	Ad.	-	3.658	-	-	8.273 bar	-25. oC	1.067	-	-	12	14. oC	-	0.0003	0.	25.	0.	9.87 kg/h	
Escane	ESC2	M	Ad.	-	3.658	-	-	8.273 bar	-25. oC	1.067	-	-	12	0. oC	-	0.0003	0.	25.	0.	6.83 kg/h	
Escane	ESC3	M	Ad.	-	3.658	-	-	8.273 bar	-25. oC	0.914	-	-	12	14. oC	-	0.0003	0.	25.	0.	6.56 kg/h	
ESC4	ESC4	M	Ad.	-	3.658	-	-	8.273 bar	-25. oC	0.914	-	-	12	0. oC	-	0.0003	0.	25.	0.	4.55 kg/h	
ESC5	ESC5	M	Ad.	-	3.658	-	-	9.652 bar	-25. oC	1.067	-	-	12	14. oC	-	0.0003	0.	25.	0.	11.28 kg/h	
ESC6	ESC6	M	Ad.	-	3.658	-	-	9.652 bar	-25. oC	1.067	-	-	12	0. oC	-	0.0003	0.	25.	0.	8.67 kg/h	
ESC7	ESC7	M	Ad.	-	3.658	-	-	9.652 bar	-25. oC	0.914	-	-	12	14. oC	-	0.0003	0.	25.	0.	7.17 kg/h	
ESC8	ESC8	M	Ad.	-	3.658	-	-	9.652 bar	-25. oC	0.914	-	-	12	0. oC	-	0.0003	0.	25.	0.	4.62 kg/h	
ESC9	ESC9	M	Ad.	-	1.524	-	-	8.969 bar	1.151 bar	1.778	-	-	12	0.339	-	0.0004	0.	25.	0.	20.663 kg/h	
ESC10	ESC10	M	Ad.	-	1.524	-	-	8.921 bar	6.825 bar	1.778	-	-	12	0.215	-	0.0004	0.	25.	0.	17.685 kg/h	
ESC11	ESC11	M	Ad.	-	1.524	-	-	12.533 bar	1.627 bar	1.778	-	-	12	0	-	0.0004	0.	25.	0.	48.114 kg/h	
ESC12	ESC12	M	Ad.	-	1.524	-	-	13.078 bar	1.427 bar	1.778	-	-	12	0.407	-	0.0004	0.	25.	0.	27.427 kg/h	
Resultados de L1R	L1R	L	Ad.	-	-	-	-	12.24	8.4 bar	-25. oC	1.17	-	12	0.9 oC	-	0.0003	0.	25.	0.	1.52 m	
L1R	L1AR	L	Ad.	-	-	-	-	12.24	8.4 bar	-25. oC	1.17	-	12	2.4 oC	-	0.0003	0.	25.	0.	1.75 m	
L2R	L2R	L	Ad.	-	-	-	-	21.23	8.58 bar	-25. oC	1.41	-	12	3.0C	-	0.0003	0.	25.	0.	1.37 m	
L2R	L2AR	L	Ad.	-	-	-	-	21.23	8.58 bar	-25. oC	1.41	-	12	4.2 oC	-	0.0003	0.	25.	0.	1.72 m	
Resultados de WIJaya	WIJ1	M	Ad.	-	2.438	-	-	9.25 bar	-25. oC	0.787	-	-	12	5.3 oC	-	0.0004	0.	25.	0.	4.89 kg/h	
WIJaya	WIJ2	M	Ad.	-	2.438	-	-	9.32 bar	-25. oC	0.787	-	-	12	11.1 oC	-	0	25.	0.	5.57 kg/h		
WIJaya	WIJ3	M	Ad.	-	2.438	-	-	9.34 bar	-25. oC	0.787	-	-	12	16.7 oC	-	0	25.	0.	6.15 kg/h		
WIJaya	WIJ4	M	Ad.	-	2.438	-	-	13.8 bar	-25. oC	0.787	-	-	12	5.8 oC	-	0	25.	0.	6.27 kg/h		
WIJaya	WIJ5	M	Ad.	-	2.438	-	-	13.9 bar	-25. oC	0.787	-	-	12	11.3 oC	-	0	25.	0.	7.03 kg/h		
WIJaya	WIJ6	M	Ad.	-	2.438	-	-	13.9 bar	-25. oC	0.787	-	-	12	16.8 oC	-	0	25.	0.	7.85 kg/h		
WIJaya	WIJ7	M	Ad.	-	2.438	-	-	9.85 bar	-25. oC	0.787	-	-	12	13.4 oC	-	0	25.	0.	4.89 kg/h		
WIJaya	WIJ8	M	Ad.	-	2.438	-	-	9.87 bar	-25. oC	0.787	-	-	12	11.4 oC	-	0	25.	0.	5.6 kg/h		
WIJaya	WIJ9	M	Ad.	-	2.438	-	-	9.84 bar	-25. oC	0.787	-	-	12	16.1 oC	-	0	25.	0.	6.15 kg/h		
WIJaya	WIJ10	M	Ad.	-	2.438	-	-	15.1 bar	-25. oC	0.787	-	-	12	5.6 oC	-	0	25.	0.	6.37 kg/h		
WIJaya	WIJ11	M	Ad.	-	2.438	-	-	15.1 bar	-25. oC	0.787	-	-	12	11.3 oC	-	0	25.	0.	7.15 kg/h		
WIJaya	WIJ12	M	Ad.	-	2.438	-	-	15.1 bar	-25. oC	0.787	-	-	12	13.4 oC	-	0	25.	0.	7.79 kg/h		

Tabela 5.12. continuação

Descrição do caso	Código	Calc.	Ad./N.Ad.	Lat./Conc.	Lic1 fix. (m)	Lhx fix. (m)	Lic2 fix. (m)	M fix (kg/h)	Tcond (oC) Pcond(bar)	Tevap (bar)	Di,lc (mm)	Dis (mm)	Fluido	DTsub (oC)	x _e (oC)	Tamb (N/m.oC)	UA'amb (W/m.oC)	Rug. ret. (oC)	Curvatura (Di,te/Rc)	Lealc (m)	Mcalc (kg/m)
Resultados de Dink	ARC11A	M	Ad.	-	5,5	-	-	-	-29,9 oC	0,56	-	-	134a	52,0C	-	0,0007	0	25	0	2,06 kg/m	
	ARC12A	M	Ad.	-	5,5	-	-	-	43,3 oC	0,66	-	-	134a	87,0C	-	0,0007	0	25	0	2,24 kg/m	
	ARC13A	M	Ad.	-	5,5	-	-	-	48,9 oC	0,66	-	-	134a	68,0C	-	0,0007	0	25	0	2,3 kg/m	
	ARC14A	M	Ad.	-	5,5	-	-	-	48,9 oC	-21,2 oC	0,66	-	134a	88,0C	-	0,0007	0	25	0	2,42 kg/m	
	ARC15A	M	Ad.	-	5,5	-	-	-	54,4 oC	-26,0C	0,66	-	134a	74,0C	-	0,0007	0	25	0	2,52 kg/m	
	ARC21A	M	Ad.	-	5,5	-	-	-	54,4 oC	-23,5 oC	0,56	-	134a	14,7 oC	-	0,0007	0	25	0	2,87 kg/m	
	ARC22A	M	Ad.	-	5,5	-	-	-	43,3 oC	-18,7 oC	0,8	-	134a	5,7 oC	-	0,0006	0	25	0	3,51 kg/m	
	ARC23A	M	Ad.	-	5,5	-	-	-	43,3 oC	-17,2 oC	0,8	-	134a	8,8 oC	-	0,0006	0	25	0	3,82 kg/m	
	ARC23A	M	Ad.	-	5,5	-	-	-	48,9 oC	-17,7 oC	0,8	-	134a	57,0C	-	0,0006	0	25	0	3,79 kg/m	
	ARC24A	M	Ad.	-	5,5	-	-	-	48,9 oC	-15,9 oC	0,8	-	134a	9,8 oC	-	0,0006	0	25	0	4,12 kg/m	
	ARC25A	M	Ad.	-	5,5	-	-	-	54,4 oC	-15,0 oC	0,8	-	134a	84,0C	-	0,0006	0	25	0	4,33 kg/m	
	ARC11	M	N.Ad.	Conc	3,4	1,7	0,4	-	54,4 oC	-14,2 oC	0,8	-	134a	10,8 oC	-	0,0006	0	25	0	4,51 kg/m	
	ARC12	M	N.Ad.	Conc	3,4	1,7	0,4	-	43,3 oC	-28,4 oC	0,66	2	5,6	134a	3,7 oC	-5,4	0,0007	0	25	0	2,12 kg/m
	ARC13	M	N.Ad.	Conc	3,4	1,7	0,4	-	43,3 oC	-28,2 oC	0,66	2	5,6	134a	4,7 oC	-6	0,0007	0	25	0	2,18 kg/m
	ARC14	M	N.Ad.	Conc	3,4	1,7	0,4	-	48,9 oC	-28,5 oC	0,66	2	5,6	134a	57,0C	-5,1	0,0007	0	25	0	2,42 kg/m
	ARC1	M	N.Ad.	Conc	3,4	1,7	0,4	-	48,9 oC	-25,9 oC	0,66	2	5,6	134a	6,9 oC	-10,1	0,0007	0	25	0	2,51 kg/m
	ARC15	M	N.Ad.	Conc	3,4	1,7	0,4	-	54,4 oC	-21,0C	0,66	2	5,6	134a	57,0C	-8,9	0,0007	0	25	0	2,61 kg/m
	ARC21	M	N.Ad.	Conc	3,4	1,7	0,4	-	54,4 oC	-22,7 oC	0,66	2	5,6	134a	9,2 oC	-18	0,0007	0	25	0	2,84 kg/m
	ARC22	M	N.Ad.	Conc	3,4	1,7	0,4	-	43,3 oC	-18,4 oC	0,8	2	5,6	134a	82,0C	-13,4	0,0006	0	25	0	4,13 kg/m
	ARC2	M	N.Ad.	Conc	3,4	1,7	0,4	-	43,3 oC	-18,1 oC	0,8	2	5,6	134a	9,1 oC	-13,1	0,0006	0	25	0	4,21 kg/m
	ARC23	M	N.Ad.	Conc	3,4	1,7	0,4	-	48,9 oC	-16,7 oC	0,8	2	5,6	134a	6,7 oC	-15,7	0,0006	0	25	0	4,3 kg/m
	ARC24	M	N.Ad.	Conc	3,4	1,7	0,4	-	48,9 oC	-14,5 oC	0,8	2	5,6	134a	9,1 oC	-14	0,0006	0	25	0	4,53 kg/m
	ARC25	M	N.Ad.	Conc	3,4	1,7	0,4	-	54,4 oC	-11,0C	0,8	2	5,6	134a	7,3 oC	-18,6	0,0006	0	25	0	4,67 kg/m
									54,4 oC	-14,7 oC	0,8	2	5,6	134a	10,2 oC	-14	0,0006	0	25	0	4,95 kg/m